

**JAERI-M**  
**4 5 8 8**

**1群拡散理論に基く高速炉の燃焼解析の検討**

**1971年 9月**

**吉田 弘幸, 田坂 完二**

**日本原子力研究所  
Japan Atomic Energy Research Institute**

1群拡散理論に基づく高速炉の燃焼解析の検討

日本原子力研究所動力炉開発管理室

吉田弘幸，田坂完二

( 1 9 7 1 年 9 月受理 )

要 旨 本論文は1群拡散理論を用いて、高速炉の燃焼特性である実効増倍率、出力分布、原子数密度を解析し、その妥当性を検討したものである。その結果次の結論を得た。

- (1) 1群拡散方程式の定数となる1群炉定数は燃焼状態によってかなり変動する。
- (2) しかし、高速炉の燃焼特性（出力分布、原子数密度）は処女状態の1群炉定数で充分推定可能であるが、輸送1群炉定数 $\langle\sigma_{tr}\rangle$ の平均化に考慮をはらう必要がある。
- (3) 実効増倍率は処女状態で定義された反応率一定による1群炉定数のみでは不充分で、摂動論的物質価値を表わす1群炉定数を新めて定義すれば、充分な精度で推定可能となる。

したがって、処女状態で定義した1群炉定数を用いた1群拡散理論に基づく高速炉の燃焼解析は可能である。

また、1群炉定数の燃焼による変化を近似的に、原子数密度変化と処女状態で定義した1群炉定数とあらわす方法についても検討した。

Applicability of One-group Diffusion Theory for Analysis  
of Burn-up Characteristics of the Fast Reactor

Hiroyuki YOSHIDA, Kanji TASAKA

Office of Power Reactor Projects, JAERI

(Received Sept. 1971)

Burnup characteristics of a fast reactor, i.e. variations of the effective multiplication factor, power distribution and atomic number densities, were analysed using one-group diffusion theory. The applicability of one-group diffusion theory for burnup analysis of the fast reactor was studied by comparing with the multigroup diffusion theory. The following were concluded.

- (1) One-group reactor constants, used in the one-group diffusion equation, vary considerably with the burnup. (2) The variations of power distribution and atomic number densities can be estimated with high accuracy, with one-group reactor constants in virgin state.
- (3) The variation of effective multiplication factor cannot be estimated by one-group reactor constants based on the ordinary definition, but can be estimated accurately with one-group reactor constants based on the perturbation theory.

It was found that various burnup characteristics of the fast reactor can be known by the burnup analysis based on one-group diffusion theory with one-group reactor constants in virgin state.

In addition, the approximate method was developed of representing the burnup-dependent one-group reactor constants; and the calculational results were examined.

## 目 次

1. 序 論 .....	1
2. 燃焼方程式と 1 群炉定数 .....	1
3. 1 群炉定数の燃焼に伴なう変化 .....	5
3.1 計算体系と計算方法 .....	5
3.2 1 群炉定数の変化 .....	6
4. 処女状態の 1 群炉定数による燃焼特性 .....	20
4.1 実効増倍率 ( $K_{eff}$ ) .....	20
4.2 原子数密度と燃焼度, 増殖利益 .....	20
4.3 出力および中性子束分布 .....	23
5. 処女状態 1 群炉定数の定義と燃焼特性 .....	29
5.1 処女状態の炉特性 .....	29
5.2 燃焼状態の炉特性 .....	31
5.3 反応度変化への一次擾動論の適用 .....	33
6. 1 群炉定数の時間依存性の近似的考慮 .....	36
6.1 近似法 - 1 .....	36
6.2 近似法 - 2 .....	40
7. 結 論 .....	47
参考文献 .....	47

## 1. 序論

大型高速系の経済性および安全性を問題とする時、炉の処女状態のみでなく、燃焼状態をも含めた核的、熱的、構造的検討が必要である。熱および構造に関する検討は核的燃焼解析から得られる出力分布、中性子照射量をバック・データとすることを考えると、核的な燃焼解析が原子炉系の解析において重要な位置をしめることになる。

高速炉の燃焼に関する領域として炉心、軸および径方向プランケットがあり、加えて燃焼に伴なう各領域の中性子スペクトル変化が系の種々核的特性に大きな影響を与えると仮定すると、高速炉の燃焼解析は少なくとも2次元体系、しかもエネルギー的には多群近似を用いたものとなる。この結果、平衡状態を含めた燃焼時の炉特性を追跡するためには多大の計算機使用時間を要することになる。このことは、各燃焼時点において多群2次元拡散計算を施しているところに原因があり、燃焼特性を望む精度内で得、しかも計算機使用時間を大幅に短縮するためには、(1)拡散計算による中性子場の計算方法(中性子束合成法を含む)を考えること、(2)多群を少数群にする方法を考えること、(3)(1)と(2)を結合すること、等が考えられる。

この論文は、手始めとして(2)の少数群化することによる問題点を抽出することを目的とするが、多群炉定数(多群断面積セット)を少数群炉定数に縮約する場合に、少数群の群構造に任意性があり、一義的に最適な少数群々構造を決定できない。したがって、我々は多群炉定数を1群炉定数に縮約することを考え、この縮約が高速炉の燃焼特性の実効増倍率( $K_{eff}$ )、出力分布および原子数密度(燃焼度)にどの程度の影響を与えるかを検討し、1群拡散理論を用いた燃焼解析が可能であるかどうかを検討した。

## 2. 燃焼方程式と1群炉定数

原子炉の燃焼解析は、中性子場を記述する拡散方程式と燃焼核種の場を記述する劣化方程式からなる、所謂燃焼方程式を用いて行なわれるのが普通である。一般に、燃焼方程式が線形化されていることを考慮すると、多群表示の拡散方程式は、時間依存の実効増倍率 $K_{eff}(t)$ を用いることで、

$$\nu \cdot D_i(\underline{x}, t) \nabla \varphi_i(\underline{x}, t) - \sum_{j=1}^{i-1} \Sigma_{j \rightarrow i}(\underline{x}, t) \varphi_j(\underline{x}, t) + \frac{\chi_i}{K_{eff}(t)} \cdot \sum_{j=1}^n \nu \Sigma_{f,j}(\underline{x}, t) \varphi_j(\underline{x}, t) = 0 \quad (1)$$

および

$$\lim_{\delta \rightarrow 0} D_i(\underline{x} - \underline{\delta}, t) \nabla \varphi_i(\underline{x} - \underline{\delta}, t) = \lim_{\delta \rightarrow 0} D_i(\underline{x} + \underline{\delta}, t) \nabla \varphi_i(\underline{x} + \underline{\delta}, t) \quad (2)$$

$$\lim_{\delta \rightarrow 0} \varphi_i(\underline{x} - \underline{\delta}, t) = \lim_{\delta \rightarrow 0} \varphi_i(\underline{x} + \underline{\delta}, t) \quad (i = 1, 2, \dots, n) \quad (3)$$

と記述される。

## 1. 序論

大型高速系の経済性および安全性を問題とする時、炉の処女状態のみでなく、燃焼状態をも含めた核的、熱的、構造的検討が必要である。熱および構造に関する検討は核的燃焼解析から得られる出力分布、中性子照射量をバック・データとすることを考えると、核的な燃焼解析が原子炉系の解析において重要な位置をしめることになる。

高速炉の燃焼に関与する領域として炉心、軸および径方向プランケットがあり、加えて燃焼に伴なう各領域の中性子スペクトル変化が系の種々核的特性に大きな影響を与えると仮定すると、高速炉の燃焼解析は少なくとも2次元体系、しかもエネルギー的には多群近似を用いたものとなる。この結果、平衡状態を含めた燃焼時の炉特性を追跡するためには多大の計算機使用時間を要することになる。このことは、各燃焼時点において多群2次元拡散計算を施しているところに原因があり、燃焼特性を望む精度内で得、しかも計算機使用時間を大幅に短縮するためには、(1)拡散計算に変る中性子場の計算方法(中性子束合成法を含む)を考えること、(2)多群を少数群にする方法を考えること、(3)(1)と(2)を結合すること、等が考えられる。

この論文は、手始めとして(2)の少数群化することによる問題点を抽出することを目的とするが、多群炉定数(多群断面積セット)を少数群炉定数に縮約する場合に、少数群の群構造に任意性があり、一義的に最適な少数群々構造を決定できない。したがって、我々は多群炉定数を1群炉定数に縮約することを考え、この縮約が高速炉の燃焼特性の実効増倍率( $K_{eff}$ )、出力分布および原子数密度(燃焼度)にどの程度の影響を与えるかを検討し、1群拡散理論を用いた燃焼解析が可能であるかどうかを検討した。

## 2. 燃焼方程式と1群炉定数

原子炉の燃焼解析は、中性子場を記述する拡散方程式と燃焼核種の場を記述する劣化方程式からなる、所謂燃焼方程式を用いて行なわれるのが普通である。一般に、燃焼方程式が線形化されていることを考慮すると、多群表示の拡散方程式は、時間依存の実効増倍率 $K_{eff}(t)$ を用いることで、

$$\nu \cdot D_i(\underline{x}, t) \nabla \varphi_i(\underline{x}, t) - \sum_{j=1}^{i-1} \Sigma_{j \rightarrow i}(\underline{x}, t) \varphi_j(\underline{x}, t) + \frac{\chi_i}{K_{eff}(t)} \cdot \sum_{j=1}^n \nu \Sigma_{f,j}(\underline{x}, t) \varphi_j(\underline{x}, t) = 0 \quad (1)$$

および

$$\lim_{\delta \rightarrow 0} D_i(\underline{x} - \underline{\delta}, t) \nabla \varphi_i(\underline{x} - \underline{\delta}, t) = \lim_{\delta \rightarrow 0} D_i(\underline{x} + \underline{\delta}, t) \nabla \varphi_i(\underline{x} + \underline{\delta}, t) \quad (2)$$

$$\lim_{\delta \rightarrow 0} \varphi_i(\underline{x} - \underline{\delta}, t) = \lim_{\delta \rightarrow 0} \varphi_i(\underline{x} + \underline{\delta}, t) \quad (i = 1, 2, \dots, n) \quad (3)$$

と記述される。

一方、劣化方程式は、燃焼核種の時間変化は高速炉系において適当な領域平均量で充分であることを考慮すれば、 $^{238}\text{U}-\text{Pu}$ , F.P. burnup chain に対して、 $t_\ell \leq t \leq t_{\ell+1}$  ( $\ell=0, 1, \dots$ )において

$$\frac{dN_p^m(t)}{dt} + Z_{a,p}^m(t_\ell) \cdot N_p^m(t) = Z_{c,p}^{m-1}(t_\ell) N_p^{m-1}(t) \quad (4)$$

$$\frac{dN_p^m(t)}{dt} = \sum_{m=0}^4 N_p^m(t) \cdot Z_{f,p}^m(t_\ell) \quad (5)$$

である。ここで

$$Z_{x,p}^m(t_\ell) = \frac{1}{V_p} \sum_{i=1}^n \int_{V_p} d\underline{x} \sigma_{x,i}^{m,p}(t_\ell) \varphi_i(\underline{x}, t_\ell) \quad (6)$$

$x = a$  ; 吸収,  $x = c$  ; 中性子捕獲,  $x = f$  ; 核分裂を表わす。また、中性子束の規格化は原子炉出力が時間に関して不変であるとすることがもっとも現実的であるので、

$$\sum_{i=1}^n \int_{\text{Reactor}} \Sigma_{f,i}(\underline{x}, t) \varphi_i(\underline{x}, t) d\underline{x} = \text{const.} \quad (7)$$

を満足する。

$V_p$  ; p-領域の体積

$m=0$  ;  $^{238}\text{U}$ ,  $=1$  ;  $^{239}\text{Pu}$ ,  $=2$  ;  $^{240}\text{Pu}$

$=3$  ;  $^{241}\text{Pu}$ ,  $=4$  ;  $^{242}\text{Pu}$ ,  $=5$  ; F.P.

$N_p^m$  ; p-領域の m 核種の平均原子数

$\sigma_{x,i}^{m,p}$  ; p-領域, m 核種, i 群の x-反応炉定数

劣化方程式中の燃焼核の微視的群炉定数と中性子束は、 $t_\ell \leq t \leq t_{\ell+1}$  において不変というモデル化が施されているので、(1)～(3)の拡散方程式は  $t_\ell$  ( $\ell=0, 1, \dots$ ) の離散的時点で解かれることになる。

(1), (2), (6)の巨視的群炉定数  $\Sigma_{x,i}$  は(4), (5)を考慮すれば領域平均量となり、 $\underline{x} \in V_p$  において

$$\Sigma_{x,i}(\underline{x}, t) \simeq \sum_{m=0}^5 N_p^m(t) \sigma_{x,i}^{m,p}(t) + \sum_m N_p^{m'}(t_0) \cdot \sigma_{x,i}^{m',p}(t_0) \quad (8)$$

となる。 $m'$  は構造材、冷却材等の非燃焼核を表示する。微視的群炉定数  $\sigma_{x,i}^{m,p}$  が時間依存量であることは自己遮蔽因子の燃焼依存性を考慮している結果である。

1 群炉定数が単位核種の反応率を保存する平均量であるとすると(4), (5)の  $Z_{x,p}^m(t_\ell)$  は、

$$Z_{x,p}^m(t_\ell) = \langle \sigma_x^m \rangle_{t_\ell}^p \cdot \psi_p(t_\ell). \quad (9)$$

$$\psi_p(t_\ell) = \frac{1}{V_p} \sum_{i=1}^n \int_{V_p} \varphi_i(\underline{x}, t_\ell) d\underline{x} \quad (10)$$

$$\langle \sigma_x^m \rangle_{t_\ell}^p = \sum_{i=1}^n \int_{V_p} \sigma_{x,i}^{m,p}(\underline{x}, t_\ell) \varphi_i(\underline{x}, t_\ell) d\underline{x} / V_p \cdot \psi_p(t_\ell) \quad (11)$$

となる。

原子数の時間依存性を精度よくみるために、1群炉定数と平均中性子束をそれぞれ精度よく計算できればもっとも良いわけであるが、1群炉定数と平均中性子束の積である反応率が精度よく計算できれば充分であることに注意されたい。

次に出力分布と1群炉定数の関係を調べてみよう。

出力分布  $p(\underline{x}, t)$  は

$$p(\underline{x}, t) = \sum_{m=0}^4 N_p^m(t) \cdot \sum_{i=1}^n \sigma_{f,i}^{m,p}(t_\ell) \varphi_i(\underline{x}, t_\ell) \\ \underline{x} \in V_p : p = 1, 2, \dots$$

で定義されている。上式において、反射体として  $B_e$  その他の反射効率のよい物質と炉心が隣接していない状態を考え、1つの領域の中で中性子スペクトルが空間的に大きく変わらないよう領域分割を施すと仮定し、加えて高速炉系の核分裂断面積が中性子スペクトルに対してなだらかであることを考慮すれば、

$$p(\underline{x}, t) \approx \sum_{m=0}^4 N_p^m(t) \langle \sigma_f^m \rangle_{t_\ell}^p \cdot \phi(\underline{x}, t_\ell) \quad (12)$$

$$\phi(\underline{x}, t_\ell) = \sum_{i=1}^n \varphi_i(\underline{x}, t) \quad (13)$$

で近似することが可能である。

このように、原子数密度、出力分布は各燃焼時点での領域平均の1群炉定数と1群中性子束であらわされることがわかった。しかし、これらの1群量は拡散方程式を解くことで得られるものである。

次に、多群と1群拡散方程式の関係を調べてみよう。多群拡散方程式を領域平均の巨視的群定数を用いて書くと、

$$D_i^p(t_\ell) \nabla^2 \varphi_i(\underline{x}, t_\ell) - \Sigma_i^p(t_\ell) \varphi_i(\underline{x}, t_\ell) \\ + \sum_{j=1}^{i-1} \Sigma_{j \rightarrow i}^p(t_\ell) \varphi_j(\underline{x}, t_\ell) + \frac{\chi_i}{K_{\text{eff}}(t_\ell)} \sum_{j=1}^n \nu \Sigma_{f,j}^p(t_\ell) \varphi_j(\underline{x}, t_\ell) = 0 \quad (1)'$$

$$D_i^p(t_\ell) \nabla \varphi_i(\underline{x}_p, t_\ell) = D_i^{p'}(t_\ell) \nabla \varphi_i(\underline{x}_p, t_\ell) \quad (2)'$$

となる。 $(2)'$  の  $p'$  は  $p$  に隣接する領域、 $\underline{x}_p$  は  $p$  領域の境界を示すものとする。

$(1)', (2)', (3)$  に對応する1群拡散方程式は

$$\langle D \rangle_{t_\ell}^p \nabla^2 \phi(\underline{x}, t_\ell) - \langle \Sigma_a \rangle_{t_\ell}^p \phi(\underline{x}, t_\ell) + \frac{1}{K_{\text{eff}}(t_\ell)} \langle \nu \Sigma_f \rangle_{t_\ell}^p \phi(\underline{x}, t_\ell) = 0 \quad (4)$$

$$\langle D \rangle_{t_\ell}^p \nabla \phi(\underline{x}_p, t_\ell) = \langle D \rangle_{t_\ell}^{p'} \nabla \phi(\underline{x}_p, t_\ell) \quad (5)$$

$$\phi(\underline{x}, t_\ell) = \text{continuous} \quad (6)$$

である。ただし、 $(1)', (4)$  式において  $(n, 2n)$  反応は無視した。

多群炉定数と1群炉定数の間の関係は(1)'を $p$ -領域で積分し、エネルギー一群について全部加え合わせ(14)の各項と対応させることによって

$$\langle \Sigma_a \rangle_{t_\ell}^p = \sum_{i=1}^n \Sigma_{a,i}^p(t_\ell) \int_{V_p} \varphi_i(\underline{x}, t_\ell) d\underline{x} / \int_{V_p} \phi(\underline{x}, t_\ell) d\underline{x} \quad (17)$$

$$\langle \nu \Sigma_f \rangle_{t_\ell}^p = \sum_{i=1}^n \nu \Sigma_{f,i}^p(t_\ell) \int_{V_p} \phi_i(\underline{x}, t_\ell) d\underline{x} / \int_{V_p} \phi(\underline{x}, t_\ell) d\underline{x} \quad (18)$$

および

$$\langle D \rangle_{t_\ell}^p = \sum_{i=1}^n D_i^p(t_\ell) \int_{V_p} \nabla^2 \varphi_i(\underline{x}, t_\ell) d\underline{x} / \int_{V_p} \nabla^2 \phi(\underline{x}, t_\ell) d\underline{x} \quad (19)$$

が得られる。 $\phi(\underline{x}, t)$  は(13)によって  $\varphi_i(\underline{x}, t)$  と関係づけられている。(17), (18)は物理的考察から(11)の形と関係づけることは容易である。一方(19)の拡散係数は各核種の輸送群炉定数と関係していること、及び重み関数が  $\nabla^2 \varphi_i(\underline{x}, t)$  であることで(11)の形と関係づけることが困難である。

今、(11)の形で輸送群定数 ( $\sigma_{tr,i}^{m,p}$ ,  $\langle \sigma_{tr}^m \rangle^p$ ) を定義すると、

$$D_i^p = \frac{1}{3} \left( \sum_{m=0}^4 N_p^m \cdot \sigma_{tr,i}^{m,p} + \sum_{m'} N_p^{m'} \sigma_{tr,i}^{m',p} \right)^{-1} \quad (20)$$

$$\langle D \rangle^p = \frac{1}{3} \left( \sum_{m=0}^4 N_p^m \langle \sigma_{tr}^m \rangle^p + \sum_{m'} N_p^{m'} \langle \sigma_{tr}^{m'} \rangle^p \right)^{-1} \quad (21)$$

となる。内題は  $\sigma_{tr,i}^{m,p}$  と  $\langle \sigma_{tr}^m \rangle^p$  を関係づけることである。しかし、現段階においては(19)と(21)式を同時に満足する  $\langle \sigma_{tr}^m \rangle^p$  の求め方は一義的でない。したがって、現在種々の  $\langle \sigma_{tr}^m \rangle^p$  の求め方の提案は、領域内において中性子束がエネルギーと空間に関して変数分離形とみてさしつかえないような領域の大きさを指定し、その中で、拡散係数と輸送群定数の対応づけを考える方法が支配的である。その方法をあげると

$$\langle \sigma_{tr}^m \rangle^p = \sum_{i=1}^n \int_{V_p} \sigma_{tr,i}^{m,p} \varphi_i(\underline{x}) d\underline{x} / \sum_{i=1}^n \int_{V_p} \varphi_i(\underline{x}) d\underline{x} \quad (22)$$

$$\langle \sigma_{tr}^m \rangle^p = \sum_{i=1}^n \int_{V_p} \varphi_i(\underline{x}) d\underline{x} / \sum_{i=1}^n \int_{V_p} \frac{1}{\sigma_{tr,i}^{m,p}} \varphi_i(\underline{x}) d\underline{x} \quad (23)$$

$$\langle \sigma_{tr}^m \rangle^p = \sum_{i=1}^n \int_{V_p} \frac{\sigma_{tr,i}^{m,p}}{\Sigma_{tr,i}^p} \varphi_i(\underline{x}) d\underline{x} / \sum_{i=1}^n \int_{V_p} \frac{1}{\Sigma_{tr,i}^p} \varphi_i(\underline{x}) d\underline{x} \quad (24)$$

等であり、それについて種々の検討が加えられている。

このようにして拡散方程式の縮約をみてみると、拡散項を除く各項はある領域での全反応率が一定となるような平均でも、その領域内の中性子束分布は多群計算の場合と大きな差は生じないと予想される。一方、拡散項の縮約は、境界条件に影響を与えることから、特に、組成の大巾に異なる領域間の中性子束分布に大きな影響を及ぼすことが予想され、固有値 ( $K_{eff}$ )、固有関数 ( $\varphi_i(\underline{x})$  又は  $\phi(\underline{x})$ ) が特に中性子流れの境界条件に支配されることを考慮すると、領域の選定に注意をする必要がある。

したがって、1群拡散理論に基く燃焼特性解析を実施するため以下の問題点がある。

(1) 燃焼方程式中の劣化方程式に含まれる 1 群炉定数は領域平均の反応率が一定となる平均化をとる必要があり、この平均は拡散方程式と対応してとる必要がある。したがって、多群と 1 群計算ができるかぎり一致する結果をうるためには、特に拡散項の縮約を検討する必要がある。

(2) 1 群炉定数は時間依存量であるが、この時間依存性をあくまでも処女状態において定義し、適当なスペクトル・インデックス的なものを因子としなければ、1 群拡散理論を用いて燃焼解析をする意義がなくなる。

### 3. 1 群炉定数の燃焼に伴なう変化

前章で述べたように、1 群拡散理論にしたがって高速炉系の燃焼特性解析が可能であるかどうかは、主に 1 群炉定数の時間的変化を適切に評価できるかどうかにかかっている。この章では、この 1 群炉定数の変化がどの程度あり、どのような傾向をもっているかを多群拡散理論に基く燃焼解析より(1)の形で求め検討する。

#### 3.1 計算体系と計算方法

燃焼解析の計算体系は炉心とブランケットからなる球形 2 領域炉とする。燃焼特性の空間分布をみるために炉心を 5、ブランケットを 3 分割し、Fig.1 に計算体系を、Table 1 に炉心、ブランケットの原子密度をそれぞれ示した。この系の出力を 1500 MWt とする。これは炉心平均出力が約 0.5 MWt / &lt;math>\ell^3</math> 相当する。

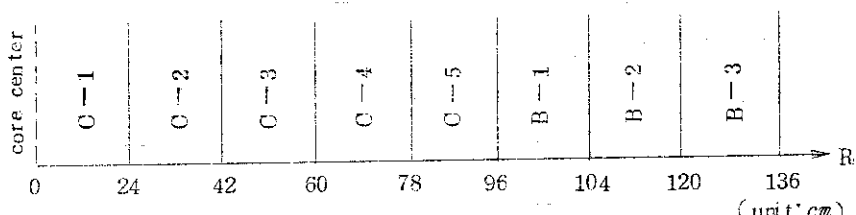


Fig.1 One dimensional spherical model

Table 1 Number densities in each region at the virgin state

Region Nuclide	Core (C)	Blanket (B)
$^{239}\text{Pu}$	9.356	$10^{20}$
$^{240}\text{Pu}$	2.088	$10^{20}$
$^{241}\text{Pu}$	0	0
$^{243}\text{Pu}$	0	0
F.P.	0	0
$^{263}\text{U}$	8.859	$10^{21}$
O	2.001	$10^{22}$
Na	8.740	$10^{21}$
Cr	2.486	$10^{21}$
Fe	9.003	$10^{21}$
Ni	1.346	$10^{21}$

(unit: n/cm<sup>3</sup>)

(1) 燃焼方程式中の劣化方程式に含まれる 1 群炉定数は領域平均の反応率が一定となる平均化をとる必要があり、この平均は拡散方程式と対応してとる必要がある。したがって、多群と 1 群計算ができるかぎり一致する結果をうるために、特に拡散項の縮約を検討する必要がある。

(2) 1 群炉定数は時間依存量であるが、この時間依存性をあくまでも処女状態において定義し、適当なスペクトル・インデックス的なものを因子としなければ、1 群拡散理論を用いて燃焼解析をする意義がなくなる。

### 3. 1 群炉定数の燃焼に伴なう変化

前章で述べたように、1 群拡散理論にしたがって高速炉系の燃焼特性解析が可能であるかどうかは、主に 1 群炉定数の時間的変化を適切に評価できるかどうかにかかっている。この章では、この 1 群炉定数の変化がどの程度あり、どのような傾向をもっているかを多群拡散理論に基く燃焼解析より(1)の形で求め検討する。

#### 3.1 計算体系と計算方法

燃焼解析の計算体系は炉心とブランケットからなる球形 2 領域炉とする。燃焼特性の空間分布をみるために炉心を 5、ブランケットを 3 分割し、Fig.1 に計算体系を、Table 1 に炉心、ブランケットの原子数密度をそれぞれ示した。この系の出力を 1500 MWt とする。これは炉心平均出力が約 0.5 MWt / &lt;math>\ell</math> 相当する。

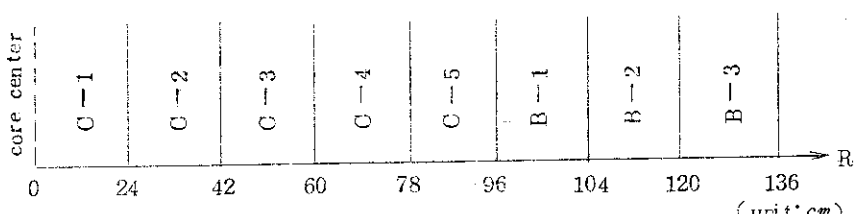


Fig.1 One dimensional spherical model

Table 1 Number densities in each region at the virgin state

Region Nuclide	Core (C)	Blanket (B)
$^{239}\text{Pu}$	9.356	$10^{20}$
$^{240}\text{Pu}$	2.088	$10^{20}$
$^{241}\text{Pu}$	0	0
$^{243}\text{Pu}$	0	0
F.B.	0	0
$^{233}\text{U}$	8.859	$10^{21}$
O	2.001	$10^{22}$
Na	8.740	$10^{21}$
Cr	2.486	$10^{21}$
Fe	9.003	$10^{21}$
Ni	1.346	$10^{21}$

(unit: n/cm<sup>3</sup>)

多群拡散理論に基づく燃焼解析は燃焼解析コード(TORCH)<sup>(1)</sup>と25群定数セット(ABN-セット)<sup>(2)</sup>を用いて行なった。

### 3.2 1群炉定数の変化

1群炉定数は、燃焼と共に各領域の燃焼核種(こゝでは<sup>238</sup>U, <sup>239</sup>Pu, <sup>240</sup>Pu, <sup>241</sup>Pu, <sup>242</sup>Pu, F.P.)の存在比が変ることによって、(1)中性子スペクトルの変化、(2)各核種の自己遮蔽効果の変化に伴なう多群炉定数そのものの変化によって影響をうける。この1群炉定数の変化を1次までで記述すると、

$$\frac{\delta \langle \sigma \rangle}{\langle \sigma \rangle_0} \approx \frac{\delta \langle \sigma \rangle_{sp}}{\langle \sigma \rangle_0} + \frac{\delta \langle \sigma \rangle_{sh}}{\langle \sigma \rangle_0} \quad (25)$$

$$\delta \langle \sigma \rangle_{sp} = \frac{\sum_{i=1}^n \sigma_i' \varphi_i'}{\sum_{i=1}^n \varphi_i'} - \langle \sigma \rangle_0 \quad (26)$$

$$\delta \langle \sigma \rangle_{sh} = \frac{\sum_{i=1}^n \sigma_i' \varphi_i}{\sum_{i=1}^n \varphi_i} - \langle \sigma \rangle_0 \quad (27)$$

となり、 $\langle \sigma \rangle_0$ は処女状態における(1)の形の1群炉定数であり

$$\langle \sigma \rangle_0 = \frac{\sum_{i=1}^n \sigma_i \varphi_i}{\sum_{i=1}^n \varphi_i} \quad (28)$$

であらわされる。

Table 2 に、処女状態の各領域の1群炉定数を示した。 $\langle \sigma_{tr} \rangle$ は(22)の形で示す。この計算体系では、炉心の1~4領域における1群炉定数は0.5%以下で一致しているがC~5領域では(1)~4と比べかなり大きくなり、特に $\langle \sigma_c \rangle$ は10%程度大きくなっている。一方ブランケット部ではすべての領域(B1~B3)でかなりの変化があり、ブランケット部の領域選定に注意を払う必要がある。また、種々の反応のうち、中性子捕獲反応率の中性子スペクトル依存性がもっとも強いことは予想通りである。

Table 3 には、 $\delta \langle \sigma \rangle / \langle \sigma \rangle_0$ ,  $\delta \langle \sigma \rangle_{sp} / \langle \sigma \rangle_0$ ,  $\delta \langle \sigma \rangle_{sh} / \langle \sigma \rangle_0$ を各燃焼時点で、各核種について示した。

この計算体系は炉心(内部)増殖比が約1.3で<sup>239</sup>Pu, <sup>240</sup>Pu, <sup>241</sup>Pu, <sup>242</sup>Pu, F.P.の増加によるスペクトル硬化で、普通の高速炉系では内部増殖比が1以下であり、<sup>239</sup>Pu減少がスペクトル軟化の効果があるのに比べ、かなりスペクトル変化が激しいものになっている。このことを考慮に入れてTable 3の結果を眺めてみる。

#### (A) 炉心

$\langle \sigma_f \rangle$  ; Fissile 核種で約3%の低下、Fertile 核で約3%の増加である。

$\langle \sigma_c \rangle$  ; 高速炉系の中性子スペクトル・ピークと $\sigma_c$ の $1/v$ 特性の関連でもっとも中性子ス

スペクトルに敏感であるが、 $^{238}\text{U}$ , Fe が約 3%,  $^{239}\text{Pu}$ ,  $^{240}\text{Pu}$ , F.P. が約 10% 低下する。

$\langle\sigma_{tr}\rangle$  ; もっともその変化が小さく、全核種で 2% 以下の低下である。

また、炉心の  $^{238}\text{U}$  を除く核種の自己遮蔽効果変化の影響は非常に小さいが、 $^{238}\text{U}$  の  $\langle\sigma_c\rangle$  に与えるこの効果は無視できない大きさである。特に  $^{238}\text{U}$  は燃焼によって減少する核種であり、スペクトル効果と自己遮蔽効果が逆符号となり、 $\langle\sigma_c\rangle$  の変化を小さくしている。しかし、スペクトル効果のみで  $^{238}\text{U}$  の  $\langle\sigma_c\rangle$  変化をみても高々 4% 程度の低下ではある。

#### (B) ブランケット

ブランケットにおける 1 群炉定数の変化が著しい 1 つの理由は計算体系の処女状態における核分裂核種（中性子スペクトルの面から云えば吸収物質）が  $^{238}\text{U}$  のみであるため、 $^{239}\text{Pu}$  の急激な増加によって、スペクトル硬化が非常に大きかったことである。

燃焼核として主に、 $^{238}\text{U}$ ,  $^{239}\text{Pu}$  が重要であるから、この 2 核種についてみてみる。

$\langle\sigma_f\rangle$  ;  $^{238}\text{U}$  は B-1 で 20%, B-2 で 50%, B-3 で 80% の増加、 $^{239}\text{Pu}$  では B-1 で 10%, B-2 で 20%, B-3 で 25% 程度の減少である。

$\langle\sigma_c\rangle$  ;  $^{238}\text{U}$  は高々 10% の減少、 $^{239}\text{Pu}$  は B-1 で 30%, B-2, 3 で 35% 程度減少している。

$^{239}\text{Pu}$  の  $\langle\sigma_f\rangle$ ,  $\langle\sigma_c\rangle$  に対する自己遮蔽効果が特に燃焼初期において大きく、ほど中性子スペクトル効果と同程度である。

軸ブランケットが炉中心から近いこと（出力が大きいこと）および径方向ブランケットの炉内滞在日数が長い可能性があることを考慮すると、この論文で用いた計算体系以外の実際の大型高速炉系を模擬した計算体系についても、ブランケット部の 1 群炉定数変動を調べる必要があるかも知れない。

代表的な核種の反応の  $\langle\sigma_x\rangle$  の変化を Fig. 2~5 に示した。

Table 2 One group reactor constants at the virgin state

REGION NUMBER 1							
NUCLIDE	SIGMA TRANS	SIGMA CAPTURE	SIGMA FISSION	SIGMA ABSORP.	SIGMA SCAT	SIGMA TOTAL	NU+SIGF
PU239	1.01533852+001	5.02767634+001	2.04826291+000	2.55097054+000	8.90711720+000	1.14580877+001	5.99030519+000
PU240	9.90293700+000	7.65608476+001	3.52681572+001	1.11729005+000	1.06970054+001	1.12142955+001	1.05825866+000
PU241	1.08885819+001	4.72099019+001	2.99618113+000	3.4682805+000	8.67327851+000	1.21415587+001	8.96124057+000
PU242	1.00018695+001	4.70952309+001	2.56909759+001	7.33826058+001	1.05883655+001	1.13224276+001	7.88528690+001
U 238	9.44574463+000	3.07777622+001	4.66360138+002	3.54408235+001	1.0454507+001	1.08089149+001	1.30717202+001
PU239F	1.29605201+001	5.49225618+001	1.00000000+000	5.49225618+001	1.44558511+001	1.50728568+001	0.00000000+000
NA	4.30578103+000	1.66348061+003	0.00000000+000	1.66345661+003	4.80195959+000	4.80361941+000	0.00000000+000
CR	4.18513144+000	8.48702876+003	0.00000000+000	8.48702876+003	4.56012659+000	4.56861377+000	0.00000000+000
FE	3.63228561+000	6.78038345+003	0.00000000+000	6.78038345+003	4.24071690+000	4.24749728+000	0.00000000+000
Ni	6.16263792+000	2.32878716+002	0.00000000+000	2.32878716+002	7.22104576+000	7.24643363+000	0.00000000+000
O	3.33087943+000	1.11847047+003	0.00000000+000	1.11847047+003	3.08214958+000	3.08326803+000	0.00000000+000
NP239	9.99431591+000	6.68289334+001	3.37569200+001	1.00555853+000	1.02484670+001	1.12543055+001	8.64179388+001

REGION NUMBER 2							
NUCLIDE	SIGMA TRANS	SIGMA CAPTURE	SIGMA FISSION	SIGMA ABSORP.	SIGMA SCAT	SIGMA TOTAL	NU+SIGF
PU239	1.01533022+001	5.02726482+001	2.14829601+000	2.55102449+000	8.90702923+000	1.14580537+001	5.9941321+000
PU240	9.9028194+000	7.65635501+001	3.52742792+001	1.11736128+000	1.09480976+001	1.12142388+001	1.05843228+000
PU241	1.08885487+001	4.72099797+001	2.99622328+000	3.46833625+000	8.6732160+000	1.21415579+001	8.96137068+000
PU242	1.00017985+001	4.70983491+001	2.56909759+001	7.33411702+001	1.05883652+001	1.13223838+001	7.88528586+001
U 238	9.44561465+000	3.07776487+001	4.66346649+002	3.54411106+001	1.04543890+001	1.08088001+001	1.30728569+001
PU239F	1.29400434+001	5.49326848+001	0.00000000+000	5.49326848+001	1.44558552+001	1.50728937+001	0.00000000+000
NA	4.30575519+000	1.66347181+003	0.00000000+000	1.66347181+003	4.80194004+000	4.80361351+000	0.00000000+000
CR	4.18507770+000	8.48719388+003	0.00000000+000	8.48719388+003	4.56012651+000	4.56861377+000	0.00000000+000
FE	3.63228561+000	6.78049429+003	0.00000000+000	6.78049429+003	4.24070339+000	4.24748389+000	0.00000000+000
Ni	6.16263538+000	2.3288716+002	0.00000000+000	2.3288716+002	7.22059121+000	7.24643363+000	0.00000000+000
O	3.33086778+000	1.11856889+003	0.00000000+000	1.11856889+003	3.08215134+000	3.68326991+000	0.00000000+000
NP239	9.9942919+000	6.682891113+001	3.37591896+001	1.00591381+000	1.02483714+001	1.12542844+001	8.6413844+001

REGION NUMBER 3							
NUCLIDE	SIGMA TRANS	SIGMA CAPTURE	SIGMA FISSION	SIGMA ABSORP.	SIGMA SCAT	SIGMA TOTAL	NU+SIGF
PU239	1.01544541+001	5.03132533+001	2.14880302+000	2.55193555+000	8.90737222+000	1.14593078+001	5.99187526+000
PU240	9.90281668+000	7.65618015+001	3.52742792+001	1.11736128+000	1.09480976+001	1.12142388+001	1.05843228+000
PU241	1.08885079+001	4.72099797+001	2.99622328+000	3.46833625+000	8.6732160+000	1.21415579+001	8.96137068+000
PU242	1.00030047+001	4.70983491+001	2.56909759+001	7.33411702+001	1.05883652+001	1.13223838+001	7.88528586+001
U 238	9.44594091+000	3.07780484+001	4.66475392+002	3.54528386+001	1.04545578+001	1.0808801+001	1.30728569+001
PU239F	1.29417285+001	5.49326848+001	0.00000000+000	5.49326848+001	1.44558552+001	1.50728937+001	0.00000000+000
NA	4.30631910+000	1.66438703+003	0.00000000+000	1.66438703+003	4.80264236+000	4.80361375+000	0.00000000+000
CR	4.1850027+000	8.48719388+003	0.00000000+000	8.48719388+003	4.56012651+000	4.56861377+000	0.00000000+000
FE	3.63228561+000	6.78049429+003	0.00000000+000	6.78049429+003	4.24070339+000	4.24748389+000	0.00000000+000
Ni	6.16263538+000	2.3288716+002	0.00000000+000	2.3288716+002	7.22059121+000	7.24643363+000	0.00000000+000
O	3.33086778+000	1.11892273+003	0.00000000+000	1.11892273+003	3.08211977+000	3.68326991+000	0.00000000+000
NP239	9.99576525+000	6.68844359+001	3.37626943+001	1.00647130+000	1.02492012+001	1.12556725+001	8.64235876+001

REGION NUMBER 4							
NUCLIDE	SIGMA TRANS	SIGMA CAPTURE	SIGMA FISSION	SIGMA ABSORP.	SIGMA SCAT	SIGMA TOTAL	NU+SIGF
PU239	1.01731676+001	5.07454744+001	2.15565005+000	2.5511479+000	8.91597970+000	1.14770845+001	6.00555442+000
PU240	9.92081676+000	7.70293875+001	3.51902650+001	1.12233453+000	1.01273221+001	1.12325857+001	1.05644639+000
PU241	1.09193438+001	4.70314692+001	3.01257655+000	3.48808524+000	8.6027883+000	1.21691741+001	9.0058629+000
PU242	1.00222534+001	4.82222273+001	2.5642101+001	7.38643279+001	1.06010650+001	1.13310703+001	7.87259787+001
U 238	9.47726499+000	3.09228263+001	4.65816438+002	3.5580907+001	1.04623513+001	1.08191612+001	1.30583304+001
PU239F	1.29795583+001	5.55209883+001	0.00000000+000	5.55209883+001	1.44658668+001	1.50216747+001	0.00000000+000
NA	4.31406816+000	1.67442427+003	0.00000000+000	1.67442427+003	4.81145888+000	4.81313330+000	0.00000000+000
CR	4.19307471+000	8.53192776+003	0.00000000+000	H.53192776+003	4.5673877+000	4.5759767+000	0.00000000+000
FE	3.64046478+000	6.80892734+003	0.00000000+000	6.80892734+003	4.24844198+000	4.25525091+000	0.00000000+000
Ni	6.18291482+000	2.331515693+002	0.00000000+000	2.331515693+002	7.24619468+000	7.26750205+000	0.00000000+000
O	3.33108560+000	1.11781694+003	0.00000000+000	1.11781694+003	3.68172027+000	3.6823809+000	0.00000000+000
NP239	1.00177074+001	6.74194077+001	3.34844359+001	1.01104396+000	1.02637308+001	1.12747748+001	8.62283673+001

REGION NUMBER= 5							
NUCLIDE	SIGMA TRANS	SIGMA CAPTURE	SIGMA FISSION	SIGMA ABSORP.	SIGMA SCAT	SIGMA TOTAL	Nu+SIGF
PU239	1.04180536*001	5.60192401*001	2.11179883*000	2.67199124*000	9.03522977*000	1.17072210*001	6.16671839*000
PU240	1.01453033*001	8.41532402*001	3.33242988*001	1.17477539*000	1.02573117*001	1.14320771*001	9.09712255*001
PU241	1.12752720*001	5.22280958*001	3.19066913*000	3.71235008*000	8.77249030*000	1.24848404*001	9.53036687*000
PU242	1.02856715*001	5.45874970*001	2.42370591*001	7.88245561*001	1.07750585*001	1.15633040*001	7.43556900*001
U 238	9.63718065*000	3.24741834*001	4.36139332*002	3.68355768*001	1.05777814*001	1.09461372*001	1.22256863*001
PU239F	1.32150628*001	6.21253402*001	0.00000000*000	6.21253402*001	1.45617003*001	1.51820537*001	0.00000000*000
NA	4.39635290*000	1.77554267*003	0.00000000*000	1.77554267*003	4.89885121*000	4.90062675*000	0.00000000*000
CR	4.28167630*000	8.98321651*003	0.00000000*000	8.98321651*003	4.64632171*000	4.65530493*000	0.00000000*000
FE	3.72909434*000	7.09056310*003	0.00000000*000	7.09056310*003	4.33118504*000	4.33841785*000	0.00000000*000
NI	6.40134188*000	2.30769983*002	0.00000000*000	2.30769983*002	7.48878019*000	7.51185718*000	0.00000000*000
O	3.34184243*000	1.04550155*003	0.00000000*000	1.04550153*003	3.68215156*000	3.68319706*000	0.00000000*000
NP239	1.03031579*001	7.44727564*001	3.19190314*001	1.06391788*000	1.04604947*001	1.1524126*001	8.16542295*001

REGION NUMBER= 6							
NUCLIDE	SIGMA TRANS	SIGMA CAPTURE	SIGMA FISSION	SIGMA ABSORP.	SIGMA SCAT	SIGMA TOTAL	Nu+SIGF
PU239	1.21766780*001	9.91300897*001	2.59229616*000	3.56359706*000	9.60094493*000	1.31845420*001	7.52005410*000
PU240	1.19902474*001	1.71949221*000	2.43258084*001	1.96275629*000	1.11042285*001	1.30669788*001	7.25053804*001
PU241	1.29394458*001	7.51230380*001	4.15669575*000	4.08001883*000	9.16518473*000	1.39723038*001	1.2073091*001
PU242	1.15363503*001	8.90459446*001	1.73584080*001	1.06424353*000	1.15627645*001	1.2446900*001	5.29249728*001
U 238	1.02330046*001	3.75398714*001	2.74372292*002	4.02835943*001	1.10052015*001	1.14080373*001	7.67301004*002
PU239F	1.43465876*001	9.73534560*001	0.00000000*000	9.73534560*001	1.52525215*001	1.50987480*001	0.00000000*000
NA	4.71055989*000	2.19243574*003	0.00000000*000	2.19243574*003	5.22224915*000	5.22444158*000	0.00000000*000
CR	4.62155643*000	1.09735863*002	0.00000000*000	1.09735863*002	4.94171501*000	4.95246861*000	0.00000000*000
FE	4.10823276*000	8.42474980*003	0.00000000*000	8.42474980*003	4.68005789*000	4.68851264*000	0.00000000*000
NI	7.28658502*000	2.15124431*002	0.00000000*000	2.15124431*002	8.45489940*000	8.47641184*000	0.00000000*000
O	3.40202470*000	6.29347189*004	0.00000000*000	6.29347189*004	3.70027484*000	3.70090419*000	0.00000000*000
NP239	1.16496898*001	1.14118347*000	2.35405559*001	1.37659903*000	1.13317309*001	1.27083209*001	5.97571A19*001

REGION NUMBER= 7							
NUCLIDE	SIGMA TRANS	SIGMA CAPTURE	SIGMA FISSION	SIGMA ABSORP.	SIGMA SCAT	SIGMA TOTAL	Nu+SIGF
PU239	1.40464384*001	1.52408156*000	3.21476910*000	4.73885065*000	1.01504135*001	1.48894642*001	9.28840006*000
PU240	1.43523462*001	3.11177014*000	1.65893440*001	3.27766358*000	1.19897243*001	1.52673879*001	4.30433468*001
PU241	1.48720257*001	1.04040240*000	5.15931647*000	6.17971887*000	9.55447523*000	1.57341941*001	1.52584990*001
PU242	1.29275077*001	1.35822822*000	1.15387819*001	1.47356160*000	1.24631374*001	1.39147534*001	3.48771466*001
U 238	1.08469804*001	4.41439079*001	1.50625180*002	6.56501597*001	1.14436559*001	1.19001575*001	4.19874868*002
PU239F	1.56261602*001	1.42701773*000	0.00000000*000	1.42701773*000	1.35595110*001	1.69845287*001	0.00000000*000
NA	5.01383991*000	2.67603281*003	0.00000000*000	2.67603281*003	5.54011241*000	5.54278844*000	0.00000000*000
CR	4.9590895*000	1.33120220*002	0.00000000*000	1.33120220*002	5.23714382*000	5.25054555*000	0.00000000*000
FE	4.52653734*000	1.00267555*002	0.00000000*000	1.00267555*002	5.04852755*000	5.07855431*000	0.00000000*000
NI	8.2282616*000	2.11260060*002	0.00000000*000	2.11260060*002	9.47932702*000	9.5004533*000	0.00000000*000
O	3.44830780*000	3.24419924*004	0.00000000*000	3.24419924*004	3.70485584*000	3.70518026*000	0.00000000*000
NP239	1.31718481*001	1.67170462*000	1.62552080*001	1.83425670*000	1.2389715*001	1.40732282*001	4.08720066*001

REGION NUMBER= 8							
NUCLIDE	SIGMA TRANS	SIGMA CAPTURE	SIGMA FISSION	SIGMA ABSORP.	SIGMA SCAT	SIGMA TOTAL	Nu+SIGF
PU239	1.57874733*001	2.05514666*000	3.84664995*000	5.90179661*000	1.05987070*001	1.65005036*001	1.10932425*001
PU240	1.67991888*001	7.70258077*000	1.14811766*001	4.82239254*000	1.27610703*001	1.75834629*001	3.36821254*001
PU241	1.66354458*001	1.31900842*000	6.17588371*000	7.49489213*000	9.86652739*000	1.73614195*001	1.83142317*001
PU242	1.42706011*001	1.83610024*000	7.78612771*002	9.11326152*000	1.31683006*001	1.58082621*001	2.33592138*001
U 238	1.13209985*001	4.99537064*001	8.17029272*003	5.08007357*001	1.17753326*001	1.22933400*001	2.27057512*002
PU239F	1.67946601*001	1.80585457*000	0.00000000*000	1.80585457*000	1.60442357*001	1.79100912*001	0.00000000*000
NA	5.26398402*000	3.12873973*003	0.00000000*000	3.12873973*003	5.81006671*000	5.81319545*000	0.00000000*000
CR	5.23543075*000	1.56877825*002	0.00000000*000	1.56877825*002	5.48155546*000	5.49764324*000	0.00000000*000
FE	4.89666281*000	1.15335879*002	0.00000000*000	1.15335879*002	5.91456100*000	5.42609459*000	0.00000000*000
NI	9.0431207*000	2.17580939*002	0.00000000*000	2.17580939*002	1.03659231*001	1.03874812*001	0.00000000*000
O	3.47455649*000	1.65289674*004	0.00000000*000	1.65289674*004	3.69881569*000	3.69898098*000	0.00000000*000
NP239	1.46313895*001	2.19438566*000	1.3685387*001	2.30807104*000	1.29972507*001	1.53053218*001	2.83350820*001

Table 3 Burnup variations of one group reactor constants relative to the initial state.

REGION NUMBER = 1

NUCLIDE	BU DAYS	DELTA SIGMA TRANS		DELTA SIGMA CAPTURE		DELTA SIGMA FISSION		DELTA SIGMA ABSORP.		DELTA NU-SIGF	
		SHIELD SPECTR	TOTAL	SHIELD SPECTR	TOTAL	SHIELD SPECTR	TOTAL	SHIELD SPECTR	TOTAL	SHIELD SPECTR	TOTAL
PU239	0	0.0000 0.0000	0.0000 0.0000	0.0000 0.0000	0.0000 0.0000	0.0000 0.0000	0.0000 0.0000	0.0000 0.0000	0.0000 0.0000	0.0000 0.0000	0.0000 0.0000
	80	-0.0000 0.0050	-0.0050 0.0050	-0.0002 0.0271	-0.0273 0.0000	-0.0000 0.0079	-0.0079 0.0000	-0.0001 0.0117	-0.0117 0.0000	-0.0000 0.0076	-0.0076 0.0000
	160	-0.0000 0.0084	-0.0084 0.0084	-0.0002 0.0469	-0.0471 0.0000	-0.0000 0.0138	-0.0138 0.0000	-0.0001 0.0248	-0.0248 0.0000	-0.0000 0.0133	-0.0133 0.0000
	240	-0.0000 0.0117	-0.0117 0.0117	0.0001 0.0616	0.0617 0.0000	0.0000 0.0185	0.0185 0.0000	0.0000 0.0268	0.0268 0.0000	0.0000 0.0177	0.0177 0.0000
	320	-0.0000 0.0121	-0.0121 0.0121	0.0004 0.0727	0.0727 0.0000	0.0000 0.0217	0.0217 0.0000	0.0002 0.0318	0.0318 0.0000	0.0001 0.0211	0.0211 0.0000
	400	0.0000 0.0130	0.0130 0.0130	0.0009 0.0810	0.0810 0.0000	0.0003 0.0244	0.0243 0.0000	0.0004 0.0354	0.0354 0.0000	0.0003 0.0237	0.0237 0.0000
	480	0.0001 0.0134	0.0134 0.0134	0.0015 0.0873	0.0873 0.0000	0.0004 0.0266	0.0266 0.0000	0.0006 0.0385	0.0385 0.0000	0.0005 0.0259	0.0259 0.0000
	560	0.0001 0.0134	0.0134 0.0134	0.0021 0.3926	0.3926 0.0000	0.0005 0.0283	0.0281 0.0000	0.0008 0.0400	0.0405 0.0000	0.0005 0.0277	0.0275 0.0000
	640	0.0001 0.0132	0.0132 0.0132	0.0027 0.0556	0.0556 0.0000	0.0007 0.0297	0.0297 0.0000	0.0011 0.0427	0.0428 0.0000	0.0007 0.0291	0.0286 0.0000
PU240	0	0.0000 0.0000	0.0000 0.0000	0.0000 0.0000	0.0000 0.0000	0.0000 0.0000	0.0000 0.0000	0.0000 0.0000	0.0000 0.0000	0.0000 0.0000	0.0000 0.0000
	80	-0.0002 0.0045	-0.0047 0.0045	-0.0113 0.0239	-0.0250 0.0000	0.0000 0.0076	-0.0076 0.0000	-0.0009 0.0140	-0.0147 0.0000	0.0000 0.0077	0.0077 0.0000
	160	-0.0005 0.0075	-0.0079 0.0075	-0.0223 0.0431	-0.0431 0.0000	0.0000 0.0117	-0.0117 0.0000	-0.0016 0.0248	-0.0248 0.0000	0.0000 0.0118	0.0118 0.0000
	240	-0.0006 0.0095	-0.0100 0.0095	-0.0332 0.0544	-0.0566 0.0000	0.0000 0.0133	-0.0133 0.0000	-0.0022 0.0350	-0.0350 0.0000	0.0000 0.0134	0.0134 0.0000
	320	-0.0008 0.0118	-0.0113 0.0118	-0.0439 0.0642	-0.0667 0.0000	0.0001 0.0131	-0.0131 0.0000	-0.0026 0.0398	-0.0398 0.0000	0.0000 0.0132	0.0132 0.0000
	400	-0.0009 0.0114	-0.0120 0.0114	-0.0444 0.0717	-0.0743 0.0000	0.0000 0.0114	-0.0114 0.0000	-0.0036 0.0454	-0.0454 0.0000	0.0000 0.0115	0.0115 0.0000
	480	-0.0010 0.0117	-0.0123 0.0117	-0.0444 0.0717	-0.0743 0.0000	0.0000 0.0088	-0.0088 0.0000	-0.0034 0.0421	-0.0421 0.0000	0.0000 0.0088	0.0088 0.0000
	560	-0.0010 0.0116	-0.0122 0.0116	-0.0453 0.0817	-0.0845 0.0000	0.0000 0.0055	-0.0055 0.0000	-0.0036 0.0541	-0.0541 0.0000	0.0000 0.0054	0.0054 0.0000
	640	-0.0011 0.0113	-0.0119 0.0113	-0.0454 0.0849	-0.0878 0.0000	0.0000 0.0117	-0.0117 0.0000	-0.0038 0.0576	-0.0576 0.0000	0.0000 0.0054	0.0054 0.0000
PU241	0	0.0000 0.0000	0.0000 0.0000	0.0000 0.0000	0.0000 0.0000	0.0000 0.0000	0.0000 0.0000	0.0000 0.0000	0.0000 0.0000	0.0000 0.0000	0.0000 0.0000
	80	0.0000 0.0073	0.0073 0.0000	0.0000 0.0245	0.0245 0.0000	0.0000 0.0145	0.0145 0.0000	0.0000 0.0159	0.0159 0.0000	0.0000 0.0143	0.0143 0.0000
	160	0.0000 0.0124	0.0124 0.0000	0.0000 0.0423	0.0423 0.0000	0.0000 0.0251	0.0251 0.0000	0.0000 0.0279	0.0279 0.0000	0.0000 0.0247	0.0247 0.0000
	240	0.0000 0.0160	0.0160 0.0000	0.0000 0.0555	0.0555 0.0000	0.0000 0.0328	0.0328 0.0000	0.0000 0.0359	0.0359 0.0000	0.0000 0.0324	0.0324 0.0000
	320	0.0000 0.0185	0.0185 0.0000	0.0000 0.0654	0.0654 0.0000	0.0000 0.0386	0.0386 0.0000	0.0000 0.0422	0.0422 0.0000	0.0000 0.0380	0.0380 0.0000
	400	0.0000 0.0212	0.0212 0.0000	0.0000 0.0727	0.0727 0.0000	0.0000 0.0428	0.0428 0.0000	0.0000 0.0469	0.0469 0.0000	0.0000 0.0422	0.0422 0.0000
	480	0.0000 0.0212	0.0212 0.0000	0.0000 0.0782	0.0782 0.0000	0.0000 0.0459	0.0459 0.0000	0.0000 0.0503	0.0503 0.0000	0.0000 0.0453	0.0453 0.0000
	560	0.0000 0.0220	0.0220 0.0000	0.0000 0.0823	0.0823 0.0000	0.0000 0.0481	0.0481 0.0000	0.0000 0.0528	0.0528 0.0000	0.0000 0.0476	0.0476 0.0000
	640	0.0000 0.0220	0.0220 0.0000	0.0000 0.0852	0.0852 0.0000	0.0000 0.0497	0.0497 0.0000	0.0000 0.1545	0.1545 0.0000	0.0000 0.0491	0.0491 0.0000
PU242	0	0.0000 0.0000	0.0000 0.0000	0.0000 0.0000	0.0000 0.0000	0.0000 0.0000	0.0000 0.0000	0.0000 0.0000	0.0000 0.0000	0.0000 0.0000	0.0000 0.0000
	80	-0.0002 0.0055	-0.0055 0.0000	-0.0005 0.0338	-0.0341 0.0000	0.0000 0.0278	-0.0278 0.0000	-0.0003 0.0192	-0.0194 0.0000	0.0000 0.0079	0.0079 0.0000
	160	-0.0003 0.0092	-0.0092 0.0000	-0.0006 0.0583	-0.0587 0.0000	0.0000 0.0312	-0.0312 0.0000	-0.0004 0.0204	-0.0237 0.0000	0.0000 0.0121	0.0121 0.0000
	240	-0.0003 0.0117	-0.0117 0.0117	-0.0007 0.0767	-0.0770 0.0000	0.0000 0.0136	-0.0136 0.0000	-0.0005 0.0451	-0.0453 0.0000	0.0000 0.0137	0.0137 0.0000
	320	-0.0004 0.0133	-0.0133 0.0133	-0.0008 0.0927	-0.0931 0.0000	0.0000 0.0133	-0.0133 0.0000	-0.0005 0.0543	-0.0545 0.0000	0.0000 0.0134	0.0134 0.0000
	400	-0.0004 0.0145	-0.0145 0.0145	-0.0009 0.0916	-0.0919 0.0000	0.0000 0.0115	-0.0115 0.0000	-0.0006 0.0620	-0.0622 0.0000	0.0000 0.0116	0.0116 0.0000
	480	-0.0004 0.0148	-0.0148 0.0148	-0.0011 0.1100	-0.1103 0.0000	0.0000 0.0087	-0.0087 0.0000	-0.0007 0.0685	-0.0686 0.0000	0.0000 0.0087	0.0087 0.0000
	560	-0.0004 0.0151	-0.0151 0.0151	-0.0016 0.1167	-0.1176 0.0000	0.0000 0.0052	-0.0052 0.0000	-0.0009 0.0740	-0.0742 0.0000	0.0000 0.0051	0.0051 0.0000
	640	-0.0005 0.0148	-0.0148 0.0148	-0.0017 0.1220	-0.1223 0.0000	0.0000 0.0011	-0.0011 0.0000	-0.0007 0.0789	-0.0791 0.0000	0.0000 0.0010	0.0010 0.0000
U 238	0	0.0000 0.0000	0.0000 0.0000	0.0000 0.0000	0.0000 0.0000	0.0000 0.0000	0.0000 0.0000	0.0000 0.0000	0.0000 0.0000	0.0000 0.0000	0.0000 0.0000
	80	0.0000 0.0047	0.0047 0.0000	0.0019 0.0113	0.0105 0.0000	0.0000 0.0099	0.0099 0.0000	0.0017 0.0085	0.0085 0.0000	0.0000 0.0099	0.0099 0.0000
	160	0.0000 0.0131	0.0131 0.0000	0.0038 0.0193	0.0159 0.0000	0.0000 0.0152	0.0152 0.0000	0.0033 0.0148	0.0148 0.0000	0.0000 0.0152	0.0152 0.0000
	240	0.0000 0.0160	0.0160 0.0000	0.0057 0.0250	0.0201 0.0000	0.0000 0.0172	0.0172 0.0000	0.0050 0.0195	0.0195 0.0000	0.0000 0.0172	0.0172 0.0000
	320	0.0000 0.0182	0.0182 0.0000	0.0076 0.0290	0.0228 0.0000	0.0000 0.0169	0.0169 0.0000	0.0066 0.0230	0.0230 0.0000	0.0000 0.0168	0.0168 0.0000
	400	0.0000 0.0196	0.0196 0.0000	0.0094 0.0317	0.0242 0.0000	0.0000 0.0146	0.0146 0.0000	0.0082 0.0256	0.0256 0.0000	0.0000 0.0145	0.0145 0.0000
	480	0.0000 0.0219	0.0219 0.0000	0.0122 0.0335	0.0267 0.0000	0.0000 0.0111	0.0111 0.0000	0.0098 0.0268	0.0268 0.0000	0.0000 0.0109	0.0109 0.0000
	560	0.0000 0.0222	0.0222 0.0000	0.0138 0.0345	0.0285 0.0000	0.0000 0.0067	0.0067 0.0000	0.0113 0.0291	0.0291 0.0000	0.0000 0.0109	0.0109 0.0000
	640	0.0000 0.0226	0.0226 0.0000	0.0148 0.0349	0.0293 0.0000	0.0000 0.0015	0.0015 0.0000	0.0129 0.0301	0.0301 0.0000	0.0000 0.0108	0.0108 0.0000
NA	0	0.0000 0.0000	0.0000 0.0000	0.0000 0.0000	0.0000 0.0000	0.0000 0.0000	0.0000 0.0000	0.0000 0.0000	0.0000 0.0000	0.0000 0.0000	0.0000 0.0000
	80	0.0001 0.0037	0.0037 0.0000	0.0024 0.0146	0.0142 0.0000	0.0000 0.0200	0.0200 0.0000	0.0003 0.0146	0.0143 0.0000	0.0000 0.0000	0.0000 0.0000
	160	0.0002 0.0062	0.0062 0.0000	0.0026 0.0254	0.0248 0.0000	0.0000 0.0200	0.0200 0.0000	0.0004 0.0254	0.0248 0.0000	0.0000 0.0000	0.0000 0.0000
	240	0.0004 0.0079	0.0079 0.0000	0.0028 0.0314	0.0328 0.0000	0.0000 0.0200	0.0200 0.0000	0.0004 0.0340	0.0340 0.0000	0.0000 0.0000	0.0000 0.0000
	320	0.0005 0.0094	0.0094 0.0000	0.0030 0.0324	0.0383 0.0000	0.0000 0.0200	0.0200 0.0000	0.0001 0.0342	0.0342 0.0000	0.0000 0.0000	0.0000 0.0000
	400	0.0006 0.0097	0.0097 0.0000	0.0034 0.0349	0.0423 0.0000	0.0000 0.0200	0.0200 0.0000	0.0001 0.0349	0.0349 0.0000	0.0000 0.0000	0.0000 0.0000
	480	0.0007 0.0099	0.0099 0.0000	0.0034 0.0371	0.0454 0.0000	0.0000 0.0200	0.0200 0.0000	0.0001 0.0371	0.0371 0.0000	0.0000 0.0000	0.0000 0.0000
	560	0.0008 0.0098	0.0098 0.0000	0.0035 0.0349	0.0475 0.0000	0.0000 0.0200	0				

REGION NUMBER = 2

NUCLEUS	BY DAYS	DELTA SIGMA TRANS.		DELTA SIGMA CAPTURE		DELTA SIGMA FISSION		DELTA SIGMA ABSOR.		DELTA NU-SIGF	
		SUPER	SPECTR	TOTAL	SUPER	SPECTR	TOTAL	SUPER	SPECTR	TOTAL	SUPER
PU239	0	0.0000	0.0000	0.0000	0.0000	0.0000	0.0000	0.0000	0.0000	0.0000	0.0000
	80	-0.0000	-0.0043	-0.0044	-0.0052	-0.0241	-0.0243	-0.0000	-0.0071	-0.0021	-0.0104
	160	-0.0000	-0.0050	-0.0052	-0.0050	-0.0250	-0.0250	-0.0000	-0.0125	-0.0021	-0.0121
	240	-0.0000	-0.0097	-0.0097	-0.0053	-0.0566	-0.0000	-0.0157	-0.0167	-0.0000	-0.0162
	320	-0.0000	-0.0113	-0.0113	-0.0002	-0.0736	-0.0732	-0.0001	-0.0201	-0.0001	-0.0195
	400	0.0000	0.0123	0.0123	0.0005	-0.0759	-0.0756	0.0002	-0.0228	0.0003	-0.0221
	480	0.0000	0.0130	0.0130	0.0011	-0.0824	-0.0822	0.0003	-0.0250	0.0004	-0.0244
	560	0.0000	0.0134	0.0134	0.0015	-0.0881	-0.0874	0.0004	-0.0269	0.0007	-0.0261
	640	0.0000	0.0135	0.0134	0.0021	-0.0923	-0.0914	0.0005	-0.0284	0.0008	-0.0276
PU240	0	0.0000	0.0000	0.0000	0.0000	0.0000	0.0000	0.0000	0.0000	0.0000	0.0000
	80	-0.0002	-0.0039	-0.0041	-0.0011	-0.0212	-0.0222	0.0000	-0.0063	0.0003	-0.0132
	160	-0.0004	-0.0067	-0.0070	-0.0021	-0.0373	-0.0389	0.0002	-0.0101	-0.0014	-0.0232
	240	-0.0006	-0.0074	-0.0091	-0.0024	-0.0497	-0.0518	0.0003	-0.0120	-0.0022	-0.0312
	320	-0.0007	-0.0102	-0.0105	-0.0035	-0.0554	-0.0518	0.0002	-0.0125	-0.0024	-0.0367
	400	-0.0008	-0.0119	-0.0134	-0.0041	-0.0671	-0.0597	0.0002	-0.0118	-0.0025	-0.0422
	480	-0.0009	-0.0142	-0.0120	-0.0046	-0.0732	-0.0753	0.0001	-0.0103	-0.0031	-0.0468
	560	-0.0010	-0.0117	-0.0122	-0.0050	-0.0780	-0.0809	0.0000	-0.0156	-0.0054	-0.0458
	640	-0.0010	-0.0117	-0.0123	-0.0053	-0.0789	-0.0804	0.0000	-0.0156	-0.0054	-0.0455
PU241	0	0.0000	0.0000	0.0000	0.0000	0.0000	0.0000	0.0000	0.0000	0.0000	0.0000
	80	0.0000	-0.0044	-0.0044	-0.0000	-0.0177	-0.0217	0.0000	-0.0129	0.0129	0.0000
	160	0.0000	-0.0111	-0.0111	0.0000	-0.0381	-0.0381	0.0000	-0.0225	0.0225	0.0000
	240	0.0000	-0.0146	-0.0146	0.0000	-0.0507	-0.0507	0.0000	-0.0300	0.0300	0.0000
	320	0.0000	-0.0172	-0.0172	0.0000	-0.0605	-0.0605	0.0000	-0.0357	0.0357	0.0000
	400	0.0000	-0.0190	-0.0196	0.0000	-0.0681	-0.0681	0.0000	-0.0401	0.0401	0.0000
	480	0.0000	-0.0200	-0.0203	0.0000	-0.0741	-0.0741	0.0000	-0.0436	0.0436	0.0000
	560	0.0000	-0.0212	-0.0212	0.0000	-0.0788	-0.0788	0.0000	-0.0462	0.0462	0.0000
	640	0.0000	-0.0218	-0.0218	0.0000	-0.0825	-0.0825	0.0000	-0.0483	0.0483	0.0000
PU242	0	0.0000	0.0000	0.0000	0.0000	0.0000	0.0000	0.0000	0.0000	0.0000	0.0000
	80	-0.0002	-0.0048	-0.0050	-0.0105	-0.0301	-0.0309	0.0000	-0.0045	0.0045	-0.0173
	160	-0.0003	-0.0082	-0.0084	-0.0140	-0.0452	-0.0531	0.0000	-0.0104	0.0104	-0.0205
	240	-0.0003	-0.0107	-0.0108	-0.0167	-0.0513	-0.0600	0.0000	-0.0123	0.0123	-0.0222
	320	-0.0003	-0.0146	-0.0146	-0.0200	-0.0557	-0.0605	0.0000	-0.0177	0.0177	-0.0295
	400	-0.0003	-0.0164	-0.0164	-0.0240	-0.0597	-0.0630	0.0000	-0.0200	0.0200	-0.0356
	480	-0.0003	-0.0184	-0.0185	-0.0279	-0.0639	-0.0670	0.0000	-0.0230	0.0230	-0.0400
	560	-0.0003	-0.0200	-0.0203	-0.0317	-0.0700	-0.0741	0.0000	-0.0267	0.0267	-0.0430
	640	-0.0003	-0.0218	-0.0218	-0.0350	-0.0782	-0.0822	0.0000	-0.0297	0.0297	-0.0477
U-238	0	0.0000	0.0000	0.0000	0.0000	0.0000	0.0000	0.0000	0.0000	0.0000	0.0000
	80	0.0003	-0.0023	-0.0020	0.0017	-0.0399	-0.0883	0.0000	-0.0093	0.0093	-0.0195
	160	0.0004	-0.0038	-0.0032	0.0034	-0.0372	-0.0842	0.0000	-0.0132	0.0132	-0.0232
	240	0.0004	-0.0047	-0.0039	0.0050	-0.0327	-0.0814	0.0000	-0.0157	0.0157	-0.0256
	320	0.0004	-0.0062	-0.0052	0.0064	-0.0267	-0.0764	0.0000	-0.0177	0.0177	-0.0274
	400	0.0004	-0.0076	-0.0066	0.0074	-0.0219	-0.0720	0.0000	-0.0190	0.0190	-0.0281
	480	0.0004	-0.0084	-0.0075	0.0082	-0.0199	-0.0692	0.0000	-0.0194	0.0194	-0.0289
	560	0.0004	-0.0092	-0.0083	0.0091	-0.0171	-0.0655	0.0000	-0.0198	0.0198	-0.0291
	640	0.0004	-0.0098	-0.0086	0.0095	-0.0151	-0.0616	0.0000	-0.0202	0.0202	-0.0292
PU239f	0	0.0000	0.0000	0.0000	0.0000	0.0000	0.0000	0.0000	0.0000	0.0000	0.0000
	80	-0.0001	-0.0035	-0.0036	-0.0003	-0.0289	-0.0291	0.0000	-0.0000	-0.0289	-0.0291
	160	-0.0001	-0.0041	-0.0041	-0.0005	-0.0261	-0.0268	0.0000	-0.0005	-0.0260	-0.0261
	240	-0.0001	-0.0079	-0.0080	-0.0007	-0.0679	-0.0682	0.0000	-0.0000	-0.0679	-0.0682
	320	-0.0002	-0.0093	-0.0093	-0.0009	-0.0813	-0.0817	0.0000	-0.0000	-0.0813	-0.0817
	400	-0.0002	-0.0102	-0.0103	-0.0010	-0.0921	-0.0924	0.0000	-0.0000	-0.0921	-0.0924
	480	-0.0002	-0.0129	-0.0110	-0.0012	-0.1007	-0.1011	0.0000	-0.0002	-0.1007	-0.1011
	560	-0.0002	-0.0144	-0.0114	-0.0013	-0.1078	-0.1081	0.0000	-0.0002	-0.1078	-0.1081
	640	-0.0002	-0.0115	-0.0116	-0.0013	-0.1135	-0.1138	0.0000	-0.0000	-0.1135	-0.1138
NA	0	0.0000	0.0000	0.0000	0.0000	0.0000	0.0000	0.0000	0.0000	0.0000	0.0000
	80	0.0001	-0.0032	-0.0031	0.0003	-0.0129	-0.0126	0.0000	0.0000	-0.0093	-0.0093
	160	0.0002	-0.0055	-0.0053	0.0005	-0.0227	-0.0222	0.0000	0.0000	-0.0227	-0.0222
	240	0.0003	-0.0072	-0.0069	0.0007	-0.0303	-0.0296	0.0000	0.0007	-0.0303	-0.0296
	320	0.0004	-0.0083	-0.0079	0.0010	-0.0363	-0.0353	0.0000	0.0000	-0.0363	-0.0353
	400	0.0005	-0.0091	-0.0086	0.0012	-0.0409	-0.0398	0.0000	0.0012	-0.0409	-0.0398
	480	0.0006	-0.0099	-0.0090	0.0017	-0.0446	-0.0420	0.0000	0.0017	-0.0446	-0.0430
	560	0.0007	-0.0098	-0.0092	0.0019	-0.0474	-0.0455	0.0000	0.0019	-0.0474	-0.0455
	640	0.0008	-0.0099	-0.0091	0.0021	-0.0496	-0.0476	0.0000	0.0021	-0.0496	-0.0476
CR	0	0.0000	0.0000	0.0000	0.0000	0.0000	0.0000	0.0000	0.0000	0.0000	0.0000
	80	0.0000	-0.0030	-0.0030	0.0001	-0.0117	-0.0115	0.0000	0.0000	-0.0017	-0.0015
	160	0.0000	-0.0051	-0.0051	0.0003	-0.0225	-0.0223	0.0000	0.0000	-0.0205	-0.0203
	240	0.0000	-0.0065	-0.0065	0.0004	-0.0274	-0.0271	0.0000	0.0004	-0.0274	-0.0271
	320	0.0000	-0.0074	-0.0073	0.0005	-0.0328	-0.0324	0.0000	0.0005	-0.0328	-0.0324
	400	0.0001	-0.0078	-0.0078	0.0004	-0.0370	-0.0365	0.0000	0.0004	-0.0370	-0.0365
	480	0.0001	-0.0079	-0.0079	0.0007	-0.0403	-0.0397	0.0000	0.0007	-0.0403	-0.0397
	560	0.0001	-0.0080	-0.0077	0.0008	-0.0428	-0.0422	0.0000	0.0008	-0.0428	-0.0422
	640	0.0001	-0.0075	-0.0074	0.0009	-0.0448	-0.0441	0.0000	0.0009	-0.0448	-0.0441
FE	0	0.0000	0.0000	0.0000	0.0000	0.0000	0.0000	0.0000	0.0000	0.0000	0.0000
	80	-0.0001	-0.0048	-0.0047	0.0004	-0.0100	-0.0096	0.0000	0.0004	-0.0100	-0.0096
	160	-0.0002	-0.0084	-0.0082	0.0007	-0.0177	-0.0172	0.0000	0.0007	-0.0177	-0.0172
	240	-0.0003	-0.0110	-0.0107	0.0011	-0.0237	-0.0227	0.0000	0.0011	-0.0237	-0.0227
	320	-0.0004	-0.0140	-0.0126	0.0014	-0.0285	-0.0272	0.0000	0.0014	-0.0285	-0.0272
	400	-0.0005	-0.0149	-0.0142	0.0017	-0.0324	-0.0308	0.0000	0.0017	-0.0324	-0.0308
	480	-0.0006	-0.0152	-0.0149	0.0020	-0.0354	-0.0336	0.0000	0.0020	-0.0354	-0.0336
	560	-0.0007	-0.0163	-0.0156	0.0023	-0.0379	-0.0358	0.0000	0.0023	-0.0379	-0.0358
	640	-0.0007	-0.0167	-0.0160	0.0026	-0.0376	-0.0360	0.0000	0.0026	-0.0376	-0.0360
NI	0	0.0000	0.0000	0.0000	0.0000	0.0000	0.0000	0.0000	0.0000	0.0000	0.0000
	80	0.0001	-0.0042	-0.0041	0.0000	-0.0042	-0.0043	0.0000	0.0000	-0.0042	-0.0043
	160	0.0001	-0.0046	-0.0045	0.0002	-0.0046	-0.0045	0.0000	0.0002	-0.0046	-0.0045
	240	0.0002	-0.0049	-0.0047	0.0003	-0.0049	-0.0046	0.0000	0.0003	-0.0049	-0.0046
	320	0.0002	-0.0051	-0.0049	0.0004	-0.0051	-0.0048	0.0000	0.0004	-0.0051	-0.0048
	400	0.0003	-0.0053	-0.0050	0.0005	-0.0053	-0.0049	0.0000	0.0005	-0.0053	-0.0049
	480	0.0003	-0.0054	-0.0049	0.0006	-0.0054	-0.0049	0.0000	0.0006	-0.0054	-0.0049
	560	0.0003	-0.0055	-0.0050	0.0007	-0.0055	-0.0050	0.0000	0.0007	-0.0055	-0.0050
	640	0.0003	-0.0056	-0.0050	0.0008	-0.0056	-0.0050	0.0000	0.0008	-0.0056	-0.0050
D	0	0.0000	0.0000	0.0000	0.0000	0.0000	0.0000	0.0000	0.0000	0.0000	0.0000
	80	0.0001	-0.0005	-0.0004	0.0001	-0.0079	-0.0080	0.0000	0.0001	-0.0079	-0.0080
	160	0.0001	-0.0008	-0.0007	0.0002	-0.0122	-0.0124	0.0000	0.0002	-0.0122	

REGION NUMBER = 3

NUCLIDE	BU	DAYS	DELTA SIGMA TRANS.			DELTA SIGMA CAPTURE			DELTA SIGMA FISSION			DELTA SIGMA ABSORP.			DELTA NU+SIGF		
			SHIELD SPECTR	TOTAL	NU	SIGF											
PU259	0	0	0.0000	0.0000	0.0000	0.0000	0.0000	0.0000	0.0000	0.0000	0.0000	0.0000	0.0000	0.0000	0.0000	0.0000	
	80	-0.0000-0.0033-0.0033	-0.0002-0.0193-0.0194	-0.0000-0.0057-0.0058	-0.0001-0.0084-0.0085	-0.0000-0.0152-0.0152	-0.0000-0.0100-0.0100	-0.0000-0.0137-0.0137	-0.0000-0.0137-0.0137	-0.0000-0.0137-0.0137	-0.0000-0.0137-0.0137	-0.0000-0.0137-0.0137	-0.0000-0.0137-0.0137	-0.0000-0.0137-0.0137	-0.0000-0.0137-0.0137	-0.0056	0.0056
160	-0.0000-0.0059-0.0059	-0.0002-0.0347-0.0348	-0.0000-0.0103-0.0104	-0.0001-0.0131-0.0131	-0.0000-0.0152-0.0152	-0.0000-0.0100-0.0100	-0.0000-0.0137-0.0137	-0.0000-0.0137-0.0137	-0.0000-0.0137-0.0137	-0.0000-0.0137-0.0137	-0.0000-0.0137-0.0137	-0.0000-0.0137-0.0137	-0.0000-0.0137-0.0137	-0.0000-0.0137-0.0137	-0.0100	0.0100	
240	-0.0000-0.0080-0.0080	-0.0002-0.0473-0.0475	-0.0000-0.0141-0.0142	-0.0001-0.0201-0.0202	-0.0000-0.0227-0.0228	-0.0000-0.0137-0.0138	-0.0000-0.0233-0.0233	-0.0000-0.0233-0.0233	-0.0000-0.0233-0.0233	-0.0000-0.0233-0.0233	-0.0000-0.0233-0.0233	-0.0000-0.0233-0.0233	-0.0000-0.0233-0.0233	-0.0000-0.0233-0.0233	-0.0148	0.0148	
320	-0.0000-0.0096-0.0097	-0.0002-0.0577-0.0578	0.0000-0.0173-0.0173	0.0000-0.0253-0.0253	0.0000-0.0222-0.0222	0.0000-0.0173-0.0173	0.0000-0.0253-0.0253	0.0000-0.0253-0.0253	0.0000-0.0253-0.0253	0.0000-0.0253-0.0253	0.0000-0.0253-0.0253	0.0000-0.0253-0.0253	0.0000-0.0253-0.0253	0.0000-0.0253-0.0253	-0.0193	0.0193	
400	-0.0000-0.0119-0.0119	0.0002-0.0664-0.0664	0.0001-0.0220-0.0219	0.0001-0.0291-0.0291	0.0001-0.0222-0.0222	0.0001-0.0222-0.0222	0.0001-0.0291-0.0291	0.0001-0.0291-0.0291	0.0001-0.0291-0.0291	0.0001-0.0291-0.0291	0.0001-0.0291-0.0291	0.0001-0.0291-0.0291	0.0001-0.0291-0.0291	0.0001-0.0291-0.0291	-0.0215	0.0215	
560	0.0000-0.0127-0.0127	0.0008-0.0799-0.0796	0.0002-0.0242-0.0241	0.0004-0.0352-0.0355	0.0002-0.0242-0.0241	0.0004-0.0352-0.0355	0.0002-0.0352-0.0355	0.0002-0.0352-0.0355	0.0002-0.0352-0.0355	0.0002-0.0352-0.0355	0.0002-0.0352-0.0355	0.0002-0.0352-0.0355	0.0002-0.0352-0.0355	0.0002-0.0352-0.0355	-0.0234	0.0234	
640	0.0000-0.0133-0.0133	0.0012-0.0852-0.0847	0.0003-0.0259-0.0258	0.0005-0.0357-0.0374	0.0003-0.0259-0.0258	0.0005-0.0357-0.0374	0.0003-0.0357-0.0374	0.0003-0.0357-0.0374	0.0003-0.0357-0.0374	0.0003-0.0357-0.0374	0.0003-0.0357-0.0374	0.0003-0.0357-0.0374	0.0003-0.0357-0.0374	0.0003-0.0357-0.0374	-0.0251	0.0251	
PU260	0	0.0000	0.0000	0.0000	0.0000	0.0000	0.0000	0.0000	0.0000	0.0000	0.0000	0.0000	0.0000	0.0000	0.0000	0.0000	
	80	-0.0002-0.0030-0.0031	-0.0009-0.0169-0.0178	0.0000-0.0043-0.0043	-0.0006-0.0102-0.0100	0.0000-0.0044-0.0044	0.0000-0.0102-0.0100	0.0000-0.0044-0.0044	0.0000-0.0044-0.0044	0.0000-0.0044-0.0044	0.0000-0.0044-0.0044	0.0000-0.0044-0.0044	0.0000-0.0044-0.0044	0.0000-0.0044-0.0044	0.0000-0.0044-0.0044	-0.0044	0.0044
160	-0.0003-0.0053-0.0056	-0.0117-0.0336-0.0320	0.0000-0.0074-0.0074	-0.0012-0.0186-0.0196	0.0000-0.0075-0.0075	-0.0012-0.0186-0.0196	0.0000-0.0075-0.0075	0.0000-0.0075-0.0075	0.0000-0.0075-0.0075	0.0000-0.0075-0.0075	0.0000-0.0075-0.0075	0.0000-0.0075-0.0075	0.0000-0.0075-0.0075	0.0000-0.0075-0.0075	-0.0175	0.0175	
240	-0.0005-0.0071-0.0075	-0.0024-0.0417-0.0436	0.0000-0.0095-0.0095	-0.0016-0.0256-0.0260	0.0000-0.0095-0.0095	-0.0016-0.0256-0.0260	0.0000-0.0095-0.0095	0.0000-0.0095-0.0095	0.0000-0.0095-0.0095	0.0000-0.0095-0.0095	0.0000-0.0095-0.0095	0.0000-0.0095-0.0095	0.0000-0.0095-0.0095	0.0000-0.0095-0.0095	-0.0095	0.0095	
320	-0.0006-0.0085-0.0090	-0.0020-0.0510-0.0531	0.0000-0.0095-0.0097	-0.0017-0.0261-0.0260	0.0000-0.0095-0.0097	-0.0017-0.0261-0.0260	0.0000-0.0095-0.0097	0.0000-0.0095-0.0097	0.0000-0.0095-0.0097	0.0000-0.0095-0.0097	0.0000-0.0095-0.0097	0.0000-0.0095-0.0097	0.0000-0.0095-0.0097	0.0000-0.0095-0.0097	-0.0184	0.0184	
400	-0.0007-0.0097-0.0102	-0.0035-0.0587-0.0591	0.0000-0.0113-0.0113	-0.0024-0.0366-0.0362	0.0000-0.0113-0.0113	-0.0024-0.0366-0.0362	0.0000-0.0113-0.0113	0.0000-0.0113-0.0113	0.0000-0.0113-0.0113	0.0000-0.0113-0.0113	0.0000-0.0113-0.0113	0.0000-0.0113-0.0113	0.0000-0.0113-0.0113	0.0000-0.0113-0.0113	-0.0114	0.0114	
560	-0.0008-0.0105-0.0110	-0.0030-0.0652-0.0678	0.0000-0.0113-0.0113	-0.0027-0.0411-0.0428	0.0000-0.0113-0.0113	-0.0027-0.0411-0.0428	0.0000-0.0113-0.0113	0.0000-0.0113-0.0113	0.0000-0.0113-0.0113	0.0000-0.0113-0.0113	0.0000-0.0113-0.0113	0.0000-0.0113-0.0113	0.0000-0.0113-0.0113	0.0000-0.0113-0.0113	-0.0149	0.0149	
640	-0.0009-0.0116-0.0122	-0.0037-0.0755-0.0782	0.0000-0.0108-0.0108	-0.0030-0.0450-0.0458	0.0000-0.0108-0.0108	-0.0030-0.0450-0.0458	0.0000-0.0108-0.0108	0.0000-0.0108-0.0108	0.0000-0.0108-0.0108	0.0000-0.0108-0.0108	0.0000-0.0108-0.0108	0.0000-0.0108-0.0108	0.0000-0.0108-0.0108	0.0000-0.0108-0.0108	-0.0109	0.0109	
PU241	0	0.0020	0.0000	0.0000	0.0000	0.0000	0.0000	0.0000	0.0000	0.0000	0.0000	0.0000	0.0000	0.0000	0.0000	0.0000	
	80	-0.0000-0.0059-0.0059	-0.0007-0.0169-0.0172	0.0000-0.0102-0.0102	-0.0000-0.0112-0.0112	0.0000-0.0100-0.0100	-0.0000-0.0100-0.0100	0.0000-0.0100-0.0100	0.0000-0.0100-0.0100	0.0000-0.0100-0.0100	0.0000-0.0100-0.0100	0.0000-0.0100-0.0100	0.0000-0.0100-0.0100	0.0000-0.0100-0.0100	-0.0100	0.0100	
160	-0.0000-0.0053-0.0053	-0.0007-0.0167-0.0170	0.0000-0.0104-0.0104	-0.0000-0.0112-0.0112	0.0000-0.0102-0.0102	-0.0000-0.0100-0.0100	0.0000-0.0100-0.0100	0.0000-0.0100-0.0100	0.0000-0.0100-0.0100	0.0000-0.0100-0.0100	0.0000-0.0100-0.0100	0.0000-0.0100-0.0100	0.0000-0.0100-0.0100	-0.0101	0.0101		
240	-0.0000-0.0121-0.0121	-0.0000-0.0424-0.0424	0.0000-0.0251-0.0251	-0.0000-0.0274-0.0274	0.0000-0.0241-0.0241	-0.0000-0.0247-0.0247	0.0000-0.0247-0.0247	0.0000-0.0247-0.0247	0.0000-0.0247-0.0247	0.0000-0.0247-0.0247	0.0000-0.0247-0.0247	0.0000-0.0247-0.0247	0.0000-0.0247-0.0247	-0.0247	0.0247		
320	-0.0000-0.0147-0.0147	-0.0000-0.0518-0.0518	0.0000-0.0365-0.0365	0.0000-0.0335-0.0335	0.0000-0.0365-0.0365	0.0000-0.0335-0.0335	0.0000-0.0335-0.0335	0.0000-0.0335-0.0335	0.0000-0.0335-0.0335	0.0000-0.0335-0.0335	0.0000-0.0335-0.0335	0.0000-0.0335-0.0335	0.0000-0.0335-0.0335	-0.0331	0.0331		
400	-0.0003-0.0167-0.0167	-0.0000-0.0594-0.0596	0.0000-0.0351-0.0351	0.0000-0.0385-0.0385	0.0000-0.0351-0.0351	0.0000-0.0385-0.0385	0.0000-0.0385-0.0385	0.0000-0.0385-0.0385	0.0000-0.0385-0.0385	0.0000-0.0385-0.0385	0.0000-0.0385-0.0385	0.0000-0.0385-0.0385	0.0000-0.0385-0.0385	-0.0346	0.0346		
560	-0.0000-0.0198-0.0198	0.0000-0.0571-0.0571	0.0000-0.0374-0.0374	0.0000-0.0422-0.0422	0.0000-0.0422-0.0422	0.0000-0.0462-0.0462	0.0000-0.0462-0.0462	0.0000-0.0462-0.0462	0.0000-0.0462-0.0462	0.0000-0.0462-0.0462	0.0000-0.0462-0.0462	0.0000-0.0462-0.0462	0.0000-0.0462-0.0462	-0.0416	0.0416		
640	-0.0000-0.0268-0.0268	-0.0000-0.0764-0.0764	0.0000-0.0448-0.0448	0.0000-0.0491-0.0491	0.0000-0.0448-0.0448	0.0000-0.0491-0.0491	0.0000-0.0491-0.0491	0.0000-0.0491-0.0491	0.0000-0.0491-0.0491	0.0000-0.0491-0.0491	0.0000-0.0491-0.0491	0.0000-0.0491-0.0491	0.0000-0.0491-0.0491	-0.0443	0.0443		
PU242	0	0.0020	0.0000	0.0000	0.0000	0.0000	0.0000	0.0000	0.0000	0.0000	0.0000	0.0000	0.0000	0.0000	0.0000	0.0000	
	80	-0.0002-0.0037-0.0039	-0.0004-0.0169-0.0170	0.0000-0.0044-0.0044	-0.0003-0.0143-0.0145	0.0000-0.0045-0.0045	-0.0003-0.0143-0.0145	0.0000-0.0045-0.0045	0.0000-0.0045-0.0045	0.0000-0.0045-0.0045	0.0000-0.0045-0.0045	0.0000-0.0045-0.0045	0.0000-0.0045-0.0045	0.0000-0.0045-0.0045	-0.0045	0.0045	
160	-0.0003-0.0066-0.0068	-0.0006-0.0169-0.0172	0.0000-0.0051-0.0051	-0.0000-0.0188-0.0192	0.0000-0.0056-0.0056	-0.0000-0.0147-0.0150	0.0000-0.0056-0.0056	0.0000-0.0147-0.0150	0.0000-0.0147-0.0150	0.0000-0.0147-0.0150	0.0000-0.0147-0.0150	0.0000-0.0147-0.0150	0.0000-0.0147-0.0150	-0.0150	0.0150		
240	-0.0003-0.0088-0.0090	-0.0004-0.0169-0.0172	0.0000-0.0051-0.0051	-0.0000-0.0188-0.0192	0.0000-0.0055-0.0055	-0.0000-0.0147-0.0150	0.0000-0.0055-0.0055	0.0000-0.0147-0.0150	0.0000-0.0147-0.0150	0.0000-0.0147-0.0150	0.0000-0.0147-0.0150	0.0000-0.0147-0.0150	0.0000-0.0147-0.0150	-0.0150	0.0150		
320	-0.0003-0.0106-0.0108	-0.0005-0.0225-0.0225	0.0000-0.0052-0.0052	-0.0000-0.0225-0.0225	0.0000-0.0139-0.0139	-0.0000-0.0225-0.0225	0.0000-0.0139-0.0139	0.0000-0.0225-0.0225	0.0000-0.0225-0.0225	0.0000-0.0225-0.0225	0.0000-0.0225-0.0225	0.0000-0.0225-0.0225	0.0000-0.0225-0.0225	-0.0150	0.0150		
400	-0.0003-0.0121-0.0122	-0.0008-0.0284-0.0285	0.0000-0.0101-0.0101	-0.0000-0.0284-0.0285	0.0000-0.0101-0.0101	-0.0000-0.0284-0.0285	0.0000										

J A E R I - M 4588

REGION NUMBER = 4

REGION NUMBER = 5

NUCLIDE	BU	DAYS	DELTA SIGMA TRANS			DELTA SIGMA CAPTURE			DELTA SIGMA FISSION			DELTA SIGMA ABSORP.			DELTA NU+SIGF		
			SHIELD SPECTR	TOTAL													
PU239	0	0	0.0000	0.0000	0.0000	0.0000	0.0000	0.0000	0.0000	0.0000	0.0000	0.0000	0.0000	0.0000	0.0000	0.0000	
	80	-0.0000-0.0020-0.0020	-0.0001-0.0128-0.0129	-0.0000-0.0043-0.0043	-0.0000-0.0061-0.0061	-0.0000-0.0081-0.0081	-0.0000-0.0117-0.0117	-0.0000-0.0148-0.0148	-0.0000-0.0180-0.0181	-0.0000-0.0215-0.0215	-0.0000-0.0216-0.0216	-0.0000-0.0246-0.0246	-0.0000-0.0247-0.0247	-0.0000-0.0248-0.0248	-0.0000-0.0249-0.0249		
160	-0.0000-0.0040-0.0040	-0.0002-0.0264-0.0268	-0.0000-0.0082-0.0082	-0.0000-0.0151-0.0151	-0.0000-0.0210-0.0210	-0.0000-0.0215-0.0215	-0.0000-0.0216-0.0216	-0.0000-0.0217-0.0217	-0.0000-0.0218-0.0218	-0.0000-0.0219-0.0219	-0.0000-0.0220-0.0220	-0.0000-0.0221-0.0221	-0.0000-0.0222-0.0222	-0.0000-0.0223-0.0223			
240	-0.0000-0.0059-0.0060	-0.0003-0.0356-0.0358	-0.0000-0.0118-0.0118	-0.0001-0.0168-0.0168	-0.0001-0.0218-0.0218	-0.0001-0.0220-0.0220	-0.0001-0.0221-0.0221	-0.0001-0.0222-0.0222	-0.0001-0.0223-0.0223	-0.0001-0.0224-0.0224	-0.0001-0.0225-0.0225	-0.0001-0.0226-0.0226	-0.0001-0.0227-0.0227	-0.0001-0.0228-0.0228			
320	-0.0000-0.0079-0.0079	-0.0003-0.0458-0.0461	-0.0000-0.0151-0.0151	-0.0001-0.0215-0.0215	-0.0001-0.0216-0.0216	-0.0001-0.0217-0.0217	-0.0001-0.0218-0.0218	-0.0001-0.0219-0.0219	-0.0001-0.0220-0.0220	-0.0001-0.0221-0.0221	-0.0001-0.0222-0.0222	-0.0001-0.0223-0.0223	-0.0001-0.0224-0.0224	-0.0001-0.0225-0.0225			
400	-0.0000-0.0098-0.0099	-0.0003-0.0555-0.0558	-0.0000-0.0181-0.0182	-0.0001-0.0260-0.0261	-0.0001-0.0261-0.0262	-0.0001-0.0262-0.0263	-0.0001-0.0263-0.0264	-0.0001-0.0264-0.0265	-0.0001-0.0265-0.0266	-0.0001-0.0266-0.0267	-0.0001-0.0267-0.0268	-0.0001-0.0268-0.0269	-0.0001-0.0269-0.0270	-0.0001-0.0270-0.0271			
480	-0.0000-0.0117-0.0117	-0.0003-0.0646-0.0647	-0.0000-0.0210-0.0210	-0.0001-0.0301-0.0302	-0.0001-0.0302-0.0303	-0.0001-0.0303-0.0304	-0.0001-0.0304-0.0305	-0.0001-0.0305-0.0306	-0.0001-0.0306-0.0307	-0.0001-0.0307-0.0308	-0.0001-0.0308-0.0309	-0.0001-0.0309-0.0310	-0.0001-0.0310-0.0311	-0.0001-0.0311-0.0312			
560	-0.0000-0.0135-0.0135	-0.0003-0.0732-0.0735	-0.0000-0.0236-0.0237	-0.0001-0.0340-0.0341	-0.0001-0.0341-0.0342	-0.0001-0.0342-0.0343	-0.0001-0.0343-0.0344	-0.0001-0.0344-0.0345	-0.0001-0.0345-0.0346	-0.0001-0.0346-0.0347	-0.0001-0.0347-0.0348	-0.0001-0.0348-0.0349	-0.0001-0.0349-0.0350	-0.0001-0.0350-0.0351			
640	-0.0000-0.0152-0.0153	-0.0003-0.0813-0.0815	-0.0000-0.0261-0.0262	-0.0001-0.0377-0.0378	-0.0001-0.0378-0.0379	-0.0001-0.0379-0.0380	-0.0001-0.0380-0.0381	-0.0001-0.0381-0.0382	-0.0001-0.0382-0.0383	-0.0001-0.0383-0.0384	-0.0001-0.0384-0.0385	-0.0001-0.0385-0.0386	-0.0001-0.0386-0.0387	-0.0001-0.0387-0.0388			
PU240	0	0.0000	0.0000	0.0000	0.0000	0.0000	0.0000	0.0000	0.0000	0.0000	0.0000	0.0000	0.0000	0.0000	0.0000	0.0000	
	80	-0.0001-0.0017-0.0019	-0.0006-0.0115-0.0121	-0.0000-0.0016-0.0016	-0.0004-0.0078-0.0082	-0.0000-0.0015-0.0015	-0.0000-0.0016-0.0016	-0.0000-0.0017-0.0017	-0.0000-0.0018-0.0018	-0.0000-0.0019-0.0019	-0.0000-0.0020-0.0020	-0.0000-0.0021-0.0021	-0.0000-0.0022-0.0022	-0.0000-0.0023-0.0023	-0.0000-0.0024-0.0024	-0.0000-0.0025-0.0025	
160	-0.0002-0.0035-0.0037	-0.0011-0.0221-0.0222	-0.0000-0.0039-0.0039	-0.0008-0.0148-0.0148	-0.0000-0.0210-0.0210	-0.0000-0.0211-0.0211	-0.0000-0.0212-0.0212	-0.0000-0.0213-0.0213	-0.0000-0.0214-0.0214	-0.0000-0.0215-0.0215	-0.0000-0.0216-0.0216	-0.0000-0.0217-0.0217	-0.0000-0.0218-0.0218	-0.0000-0.0219-0.0219	-0.0000-0.0220-0.0220		
240	-0.0003-0.0052-0.0055	-0.0017-0.0320-0.0334	-0.0000-0.0067-0.0067	-0.0012-0.0210-0.0210	-0.0000-0.0216-0.0216	-0.0000-0.0217-0.0217	-0.0000-0.0218-0.0218	-0.0000-0.0219-0.0219	-0.0000-0.0220-0.0220	-0.0000-0.0221-0.0221	-0.0000-0.0222-0.0222	-0.0000-0.0223-0.0223	-0.0000-0.0224-0.0224	-0.0000-0.0225-0.0225	-0.0000-0.0226-0.0226		
320	-0.0004-0.0070-0.0074	-0.0021-0.0412-0.0412	-0.0000-0.0098-0.0098	-0.0000-0.0279-0.0279	-0.0000-0.0315-0.0315	-0.0000-0.0316-0.0316	-0.0000-0.0317-0.0317	-0.0000-0.0318-0.0318	-0.0000-0.0319-0.0319	-0.0000-0.0320-0.0320	-0.0000-0.0321-0.0321	-0.0000-0.0322-0.0322	-0.0000-0.0323-0.0323	-0.0000-0.0324-0.0324	-0.0000-0.0325-0.0325		
400	-0.0005-0.0087-0.0092	-0.0024-0.0498-0.0515	-0.0000-0.0131-0.0131	-0.0019-0.0319-0.0319	-0.0000-0.0352-0.0352	-0.0000-0.0353-0.0353	-0.0000-0.0354-0.0354	-0.0000-0.0355-0.0355	-0.0000-0.0356-0.0356	-0.0000-0.0357-0.0357	-0.0000-0.0358-0.0358	-0.0000-0.0359-0.0359	-0.0000-0.0360-0.0360	-0.0000-0.0361-0.0361	-0.0000-0.0362-0.0362		
480	-0.0006-0.0104-0.0109	-0.0030-0.0579-0.0581	-0.0000-0.0146-0.0146	-0.0022-0.0322-0.0322	-0.0000-0.0360-0.0360	-0.0000-0.0361-0.0361	-0.0000-0.0362-0.0362	-0.0000-0.0363-0.0363	-0.0000-0.0364-0.0364	-0.0000-0.0365-0.0365	-0.0000-0.0366-0.0366	-0.0000-0.0367-0.0367	-0.0000-0.0368-0.0368	-0.0000-0.0369-0.0369	-0.0000-0.0370-0.0370		
560	-0.0007-0.0121-0.0126	-0.0034-0.0655-0.0679	-0.0000-0.0156-0.0156	-0.0025-0.0324-0.0324	-0.0000-0.0360-0.0360	-0.0000-0.0361-0.0361	-0.0000-0.0362-0.0362	-0.0000-0.0363-0.0363	-0.0000-0.0364-0.0364	-0.0000-0.0365-0.0365	-0.0000-0.0366-0.0366	-0.0000-0.0367-0.0367	-0.0000-0.0368-0.0368	-0.0000-0.0369-0.0369	-0.0000-0.0370-0.0370		
640	-0.0008-0.0137-0.0142	-0.0038-0.0727-0.0727	-0.0000-0.0162-0.0162	-0.0027-0.0323-0.0323	-0.0000-0.0360-0.0360	-0.0000-0.0361-0.0361	-0.0000-0.0362-0.0362	-0.0000-0.0363-0.0363	-0.0000-0.0364-0.0364	-0.0000-0.0365-0.0365	-0.0000-0.0366-0.0366	-0.0000-0.0367-0.0367	-0.0000-0.0368-0.0368	-0.0000-0.0369-0.0369	-0.0000-0.0370-0.0370		
U 238	0	0.0000	0.0000	0.0000	0.0000	0.0000	0.0000	0.0000	0.0000	0.0000	0.0000	0.0000	0.0000	0.0000	0.0000	0.0000	
	80	-0.0001-0.0007-0.0006	-0.0004-0.0044-0.0048	-0.0000-0.0017-0.0017	-0.0006-0.0377-0.0378	-0.0000-0.0037-0.0037	-0.0000-0.0038-0.0038	-0.0000-0.0039-0.0039	-0.0000-0.0040-0.0040	-0.0000-0.0041-0.0041	-0.0000-0.0042-0.0042	-0.0000-0.0043-0.0043	-0.0000-0.0044-0.0044	-0.0000-0.0045-0.0045	-0.0000-0.0046-0.0046		
160	-0.0002-0.0020-0.0019	-0.0013-0.0288-0.0286	-0.0000-0.0044-0.0044	-0.0017-0.0376-0.0375	-0.0000-0.0044-0.0044	-0.0000-0.0045-0.0045	-0.0000-0.0046-0.0046	-0.0000-0.0047-0.0047	-0.0000-0.0048-0.0048	-0.0000-0.0049-0.0049	-0.0000-0.0050-0.0050	-0.0000-0.0051-0.0051	-0.0000-0.0052-0.0052	-0.0000-0.0053-0.0053	-0.0000-0.0054-0.0054		
240	-0.0003-0.0025-0.0025	-0.0019-0.0351-0.0351	-0.0000-0.0114-0.0114	-0.0020-0.0378-0.0378	-0.0000-0.0347-0.0347	-0.0000-0.0348-0.0348	-0.0000-0.0349-0.0349	-0.0000-0.0350-0.0350	-0.0000-0.0351-0.0351	-0.0000-0.0352-0.0352	-0.0000-0.0353-0.0353	-0.0000-0.0354-0.0354	-0.0000-0.0355-0.0355	-0.0000-0.0356-0.0356	-0.0000-0.0357-0.0357		
320	-0.0004-0.0035-0.0035	-0.0021-0.0351-0.0351	-0.0000-0.0116-0.0116	-0.0022-0.0377-0.0377	-0.0000-0.0352-0.0352	-0.0000-0.0353-0.0353	-0.0000-0.0354-0.0354	-0.0000-0.0355-0.0355	-0.0000-0.0356-0.0356	-0.0000-0.0357-0.0357	-0.0000-0.0358-0.0358	-0.0000-0.0359-0.0359	-0.0000-0.0360-0.0360	-0.0000-0.0361-0.0361	-0.0000-0.0362-0.0362		
400	-0.0006-0.0115-0.0119	-0.0014-0.0377-0.0377	-0.0000-0.0210-0.0210	-0.0015-0.0419-0.0419	-0.0000-0.0378-0.0378	-0.0000-0.0381-0.0381	-0.0000-0.0384-0.0384	-0.0000-0.0387-0.0387	-0.0000-0.0389-0.0389	-0.0000-0.0391-0.0391	-0.0000-0.0393-0.0393	-0.0000-0.0395-0.0395	-0.0000-0.0397-0.0397	-0.0000-0.0399-0.0399	-0.0000-0.0401-0.0401		
480	-0.0006-0.0136-0.0140	-0.0017-0.0400-0.0400	-0.0000-0.0217-0.0217	-0.0016-0.0420-0.0420	-0.0000-0.0380-0.0380	-0.0000-0.0383-0.0383	-0.0000-0.0386-0.0386	-0.0000-0.0389-0.0389	-0.0000-0.0391-0.0391	-0.0000-0.0393-0.0393	-0.0000-0.0395-0.0395	-0.0000-0.0397-0.0397	-0.0000-0.0399-0.0399	-0.0000-0.0401-0.0401	-0.0000-0.0403-0.0403		
560	-0.0007-0.0157-0.0162	-0.0018-0.0422-0.0422	-0.0000-0.0227-0.0227	-0.0017-0.0426-0.0426	-0.0000-0.0382-0.0382	-0.0000-0.0385-0.0385	-0.0000-0.0388-0.0388	-0.0000-0.0391-0.0391	-0.0000-0.0394-0.0394	-0.0000-0.0397-0.0397	-0.0000-0.0400-0.0400	-0.0000-0.0403-0.0403	-0.0000-0.0406-0.0406	-0.0000-0.0409-0.0409	-0.0000-0.0412-0.0412		
640	-0.0008-0.0162-0.0167	-0.0019-0.0431-0.0431	-0.0000-0.0232-0.0232	-0.0018-0.0432-0.0432	-0.0000-0.0383-0.0383	-0.0000-0.0386-0.0386	-0.0000-0.0389-0.0389	-0.0000-0.0392-0.0392	-0.0000-0.0395-0.0395	-0.0000-0.0398-0.0398	-0.0000-0.0401-0.0401	-0.0000-0.0404-0.0404	-0.0000-0.0407-0.0407	-0.0000-0.0410-0.0410	-0.0000-0.0413-0.0413		
NA	0	0.0000	0.0000	0.0000	0.0000	0.0000	0.0000	0.0000	0.0000	0.0000	0.0000	0.0000	0.0000	0.0000	0.0000	0.0000	
	80	-0.0001-0.0011-0.0011	-0.0011-0.0058-0.0057	-0.0000-0.0036-0.0036	-0.0001-0.0056-0.0055	-0.0000-0.0037-0.0037	-0.0000-0.0038-0.0038	-0.0000-0.0039-0.0039	-0.0000-0.0040-0.0040	-0.0000-0.0041-0.0041	-0.0000-0.0042-0.0042	-0.0000-0.0043-0.0043	-0.0000-0.0044-0.0044	-0.0000-0.0045-0.0045	-0.0000-0.0046-0.0046	-0.0000-0.0047-0.0047	
160	-0.0002-0.0023-0.0022	-0.00															

REGION NUMBER = 6

MATERIAL	BU	DAY	TRANS	CAPTURE	FISSION	ABSORB.	NUSIGF
			SHIELD SPECTR	TOTAL SHIELD SPECTR	TOTAL SHIELD SPECTR	TOTAL SHIELD SPECTR	TOTAL SHIELD SPECTR
PU239	0	0.0000 0.0000 0.0000	0.0000 0.0000 0.0000	0.0000 0.0000 0.0000	0.0000 0.0000 0.0000	0.0000 0.0000 0.0000	0.0000 0.0000 0.0000
	80	-0.0443 -0.0125 -0.0519	-0.0600 -0.0512 -0.1025	-0.0221 -0.0239 -0.0426	-0.0324 -0.0315 -0.0592	-0.0220 -0.0236 -0.0421	
	160	+0.0465 +0.0223 +0.0601	-0.0672 -0.0857 -0.1399	-0.0249 -0.0410 -0.0597	-0.0345 -0.0542 -0.0812	-0.0247 -0.0404 -0.0592	
	240	-0.0479 -0.0304 -0.0669	-0.0719 -0.1203 -0.1692	-0.0268 -0.0552 -0.0735	-0.0393 -0.0732 -0.1002	-0.0265 -0.0543 -0.0725	
	320	-0.0489 -0.0384 -0.1728	-0.0752 -0.1479 -0.1955	-0.0283 -0.0675 -0.0852	-0.0414 -0.0897 -0.1157	-0.0281 -0.0664 -0.1037	
	400	-0.0497 -0.0453 -0.0782	-0.0786 -0.1724 -0.2179	-0.0296 -0.0784 -0.0954	-0.0432 -0.1044 -0.1291	-0.0294 -0.0770 -0.0939	
	480	-0.0504 -0.0518 -0.0831	-0.0816 -0.1945 -0.2379	-0.0307 -0.0881 -0.1044	-0.0448 -0.1175 -0.1413	-0.0305 -0.0865 -0.1027	
	560	-0.0509 -0.0577 -0.0877	-0.0841 -0.2145 -0.2559	-0.0317 -0.0946 -0.1125	-0.0452 -0.1284 -0.1522	-0.0318 -0.0881 -0.1106	
	640	-0.0514 -0.0633 -0.0920	-0.0863 -0.2329 -0.2724	-0.0326 -0.1049 -0.1199	-0.0475 -0.1403 -0.1621	-0.0324 -0.1029 -0.1178	
PU240	0	0.0000 0.0000 0.0000	0.0000 0.0000 0.0000	0.0000 0.0000 0.0000	0.0000 0.0000 0.0000	0.0000 0.0000 0.0000	0.0000 0.0000 0.0000
	80	-0.0182 -0.0179 -0.0315	-0.0167 -0.0865 -0.0988	0.0000 0.0170 0.0170	-0.0146 -0.0736 -0.0844	0.0000 0.0174 0.0174	
	160	-0.0207 -0.0326 -0.0461	-0.0478 -0.1550 -0.1807	0.0000 0.0332 0.0332	-0.0148 -0.1317 -0.1842	0.0000 0.0339 0.0339	
	240	-0.0225 -0.0445 -0.0538	-0.0739 -0.2072 -0.2355	0.0000 0.0488 0.0488	-0.0164 -0.1784 -0.2012	0.0000 0.0498 0.0498	
	320	-0.0240 -0.0562 -0.0619	-0.0926 -0.2476 -0.2752	0.0000 0.0639 0.0639	-0.0181 -0.2090 -0.2332	0.0000 0.0552 0.0562	
	400	-0.0274 -0.0624 -0.0694	-0.1130 -0.2792 -0.3054	0.0000 0.0786 0.0786	-0.0206 -0.2340 -0.2578	0.0000 0.0803 0.0803	
	480	-0.0311 -0.0695 -0.1763	-0.1334 -0.3049 -0.3301	0.0000 0.0930 0.0930	-0.0189 -0.2555 -0.2777	0.0000 0.0950 0.0950	
	560	-0.0333 -0.0759 -0.0823	-0.1477 -0.3265 -0.3499	0.0000 0.1070 0.1070	-0.0194 -0.2728 -0.2932	0.0000 0.1093 0.1093	
	640	-0.0350 -0.0816 -0.1877	-0.1585 -0.3452 -0.3665	0.0000 0.1207 0.1207	-0.0198 -0.2875 -0.3061	0.0000 0.1223 0.1223	
PU241	0	0.0000 0.0000 0.0002	0.0000 0.0000 0.0000	0.0000 0.0000 0.0000	0.0000 0.0000 0.0000	0.0000 0.0000 0.0000	0.0000 0.0000 0.0000
	80	0.0000 -0.0168 -0.0168	0.0000 -0.0315 -0.0315	0.0000 -0.0213 -0.0213	0.0000 -0.0229 -0.0229	0.0000 -0.0211 -0.0211	
	160	0.0000 -0.0129 -0.0129	0.0000 -0.0365 -0.0365	0.0000 -0.0265 -0.0265	0.0000 -0.0313 -0.0313	0.0000 -0.0281 -0.0281	
	240	0.0000 -0.0280 -0.0280	0.0000 -0.0785 -0.0785	0.0000 -0.0356 -0.0356	0.0000 -0.0575 -0.0575	0.0000 -0.0550 -0.0550	
	320	0.0000 -0.0354 -0.0354	0.0000 -0.1082 -0.1082	0.0000 -0.0424 -0.0424	0.0000 -0.0719 -0.0719	0.0000 -0.0688 -0.0688	
	400	0.0000 -0.0422 -0.0422	0.0000 -0.1158 -0.1158	0.0000 -0.0494 -0.0494	0.0000 -0.0851 -0.0851	0.0000 -0.0788 -0.0788	
	480	0.0000 -0.0485 -0.0486	0.0000 -0.1321 -0.1321	0.0000 -0.0508 -0.0508	0.0000 -0.0973 -0.0973	0.0000 -0.0898 -0.0898	
	560	0.0000 -0.0546 -0.0546	0.0000 -0.1472 -0.1472	0.0000 -0.0513 -0.0513	0.0000 -0.1085 -0.1085	0.0000 -0.1002 -0.1002	
	640	0.0000 -0.0603 -0.0603	0.0000 -0.1613 -0.1613	0.0000 -0.0511 -0.0511	0.0000 -0.1190 -0.1190	0.0000 -0.1099 -0.1099	
PU242	0	0.0000 0.0000 0.0000	0.0000 0.0000 0.0000	0.0000 0.0000 0.0000	0.0000 0.0000 0.0000	0.0000 0.0000 0.0000	0.0000 0.0000 0.0000
	80	-0.0009 -0.0090 -0.0098	-0.0020 -0.0475 -0.0494	0.0000 0.0181 0.0181	-0.0017 -0.0368 -0.0368	0.0000 0.0185 0.0185	
	160	-0.0011 -0.0168 -0.0168	-0.0024 -0.0816 -0.0827	0.0000 0.0354 0.0354	-0.0026 -0.0633 -0.0633	0.0000 0.0360 0.0360	
	240	-0.0012 -0.0237 -0.0245	-0.0027 -0.1188 -0.1204	0.0000 0.0519 0.0519	-0.0027 -0.0910 -0.0923	0.0000 0.0529 0.0529	
	320	-0.0013 -0.0300 -0.0300	-0.0029 -0.1472 -0.1487	0.0000 0.0680 0.0680	-0.0028 -0.1121 -0.1133	0.0000 0.0693 0.0693	
	400	-0.0014 -0.0358 -0.0366	-0.0031 -0.1724 -0.1737	0.0000 0.0837 0.0837	-0.0026 -0.1306 -0.1317	0.0000 0.0853 0.0853	
	480	-0.0015 -0.0413 -0.0413	-0.0033 -0.1949 -0.1981	0.0000 0.0920 0.0920	-0.0028 -0.1470 -0.1480	0.0000 0.0909 0.0909	
	560	-0.0015 -0.0463 -0.0470	-0.0035 -0.2152 -0.2164	0.0000 0.1139 0.1139	-0.0029 -0.1615 -0.1625	0.0000 0.1161 0.1161	
	640	-0.0016 -0.0511 -0.0517	-0.0037 -0.2339 -0.2346	0.0000 0.1285 0.1285	-0.0031 -0.1747 -0.1756	0.0000 0.1310 0.1310	
U 238	0	0.0000 0.0000 0.0000	0.0000 0.0000 0.0000	0.0000 0.0000 0.0000	0.0000 0.0000 0.0000	0.0000 0.0000 0.0000	0.0000 0.0000 0.0000
	80	0.0001 -0.0029 -0.0028	0.0006 -0.0108 -0.0102	0.0000 0.0261 0.0261	0.0005 -0.0833 -0.0778	0.0000 0.0263 0.0263	
	160	0.0002 -0.0058 -0.0056	0.0011 -0.0206 -0.0195	0.0000 0.0509 0.0509	0.0011 -0.1570 -0.167	0.0000 0.0512 0.0512	
	240	0.0003 -0.0085 -0.0082	0.0017 -0.0296 -0.0282	0.0000 0.0748 0.0748	0.0016 -0.2225 -0.212	0.0000 0.0752 0.0752	
	320	0.0004 -0.0112 -0.0108	0.0022 -0.0381 -0.0363	0.0000 0.0978 0.0979	0.0021 -0.2890 -0.271	0.0000 0.0984 0.0984	
	400	0.0005 -0.0138 -0.0134	0.0028 -0.0462 -0.0460	0.0000 0.1204 0.1204	0.0026 -0.3439 -0.328	0.0000 0.1211 0.1211	
	480	0.0006 -0.0164 -0.0159	0.0033 -0.0539 -0.0513	0.0000 0.1425 0.1425	0.0031 -0.4045 -0.381	0.0000 0.1433 0.1433	
	560	0.0007 -0.0199 -0.0183	0.0039 -0.0612 -0.0583	0.0000 0.1640 0.1640	0.0036 -0.4539 -0.431	0.0000 0.1649 0.1649	
	640	0.0008 -0.0213 -0.0206	0.0044 -0.0682 -0.0549	0.0000 0.1850 0.1850	0.0041 -0.5010 -0.479	0.0000 0.1861 0.1861	
PU239F	0	0.0000 0.0000 0.0000	0.0000 0.0000 0.0000	0.0000 0.0000 0.0000	0.0000 0.0000 0.0000	0.0000 0.0000 0.0000	0.0000 0.0000 0.0000
	80	-0.0004 -0.0065 -0.0066	-0.0006 -0.0387 -0.0392	0.0000 0.0261 0.0261	-0.0006 -0.0387 -0.0392	0.0000 0.0000 0.0000	
	160	-0.0005 -0.0121 -0.0124	-0.0007 -0.0712 -0.0716	0.0000 0.0500 0.0500	-0.0007 -0.1712 -0.1714	0.0000 0.0000 0.0000	
	240	-0.0005 -0.0171 -0.0174	-0.0008 -0.0994 -0.0998	0.0000 0.0680 0.0680	-0.0008 -0.1998 -0.1998	0.0000 0.0000 0.0000	
	320	-0.0006 -0.0216 -0.0219	-0.0009 -0.1244 -0.1248	0.0000 0.0800 0.0800	-0.0009 -0.2440 -0.2448	0.0000 0.0000 0.0000	
	400	-0.0006 -0.0259 -0.0261	-0.0010 -0.1469 -0.1472	0.0000 0.1000 0.1000	-0.0009 -0.3469 -0.3472	0.0000 0.0000 0.0000	
	480	-0.0007 -0.0298 -0.0300	-0.0011 -0.1673 -0.1677	0.0000 0.1200 0.1200	-0.0011 -0.4173 -0.4177	0.0000 0.0000 0.0000	
	560	-0.0008 -0.0335 -0.0337	-0.0013 -0.1860 -0.1864	0.0000 0.1400 0.1400	-0.0013 -0.4860 -0.4864	0.0000 0.0000 0.0000	
	640	-0.0011 -0.0369 -0.0372	-0.0019 -0.2033 -0.2038	0.0000 0.1620 0.1620	-0.0019 -0.5233 -0.5238	0.0000 0.0000 0.0000	
NA	0	0.0000 0.0000 0.0000	0.0000 0.0000 0.0000	0.0000 0.0000 0.0000	0.0000 0.0000 0.0000	0.0000 0.0000 0.0000	0.0000 0.0000 0.0000
	80	0.0030 -0.0030 -0.0030	0.0000 -0.0142 -0.0142	0.0000 0.0000 0.0000	0.0000 -0.0142 -0.0142	0.0000 0.0000 0.0000	
	160	0.0030 -0.0059 -0.0059	0.0021 -0.0267 -0.0266	0.0000 0.0000 0.0000	0.0001 -0.0267 -0.0266	0.0000 0.0000 0.0000	
	240	0.0030 -0.0089 -0.0088	0.0031 -0.0381 -0.0380	0.0000 0.0000 0.0000	0.0001 -0.0381 -0.0380	0.0000 0.0000 0.0000	
	320	0.0030 -0.0117 -0.0117	0.0020 -0.0488 -0.0486	0.0000 0.0000 0.0000	0.0001 -0.0488 -0.0486	0.0000 0.0000 0.0000	
	400	0.0001 -0.0146 -0.0145	0.0002 -0.0588 -0.0588	0.0000 0.0000 0.0000	0.0002 -0.0588 -0.0588	0.0000 0.0000 0.0000	
	480	0.0001 -0.0194 -0.0194	0.0002 -0.0684 -0.0684	0.0000 0.0000 0.0000	0.0002 -0.0684 -0.0684	0.0000 0.0000 0.0000	
	560	0.0001 -0.0201 -0.0201	0.0003 -0.0773 -0.0773	0.0000 0.0000 0.0000	0.0003 -0.0773 -0.0773	0.0000 0.0000 0.0000	
	640	0.0001 -0.0224 -0.0224	0.0002 -0.0773 -0.0771	0.0000 0.0000 0.0000	0.0002 -0.0773 -0.0771	0.0000 0.0000 0.0000	
FE	0	0.0000 0.0000 0.0000	0.0000 0.0000 0.0000	0.0000 0.0000 0.0000	0.0000 0.0000 0.0000	0.0000 0.0000 0.0000	0.0000 0.0000 0.0000
	80	0.0000 -0.0062 -0.0062	0.0001 -0.0140 -0.0139	0.0000 0.0000 0.0000	0.0001 -0.0140 -0.0139	0.0000 0.0000 0.0000	
	160	0.0000 -0.0090 -0.0090	0.0001 -0.0258 -0.0257	0.0000 0.0000 0.0000	0.0001 -0.0258 -0.0257	0.0000 0.0000 0.0000	
	240	0.0000 -0.0120 -0.0120	0.0002 -0.0363 -0.0362	0.0000 0.0000 0.0000	0.0002 -0.0363 -0.0362	0.0000 0.0000 0.0000	
	320	0.0000 -0.0172 -0.0172	0.0002 -0.0459 -0.0457	0.0000 0.0000 0.0000	0.0002 -0.0459 -0.0457	0.0000 0.0000 0.0000	
	400	0.0000 -0.0200 -0.0200	0.0003 -0.0548 -0.0545	0.0000 0.0000 0.0000	0.0003 -0.0548 -0.0545	0.0000 0.0000 0.0000	
	480	0.0000 -0.0234 -0.0234	0.0003 -0.0630 -0.0627	0.0000 0.0000 0.0000	0.0003 -0.0630 -0.0627	0.0000 0.0000 0.0000	
	560	0.0000 -0.0257 -0.0257	0.0004 -0.0707 -0.0704	0.0000 0.0000 0.0000	0.0004 -0.0707 -0.0704	0.0000 0.0000 0.0000	
	640	0.0000 -0.0283 -0.0283	0.0005 -0.0780 -0.0778	0.0000 0.0000 0.0000	0.0005 -0.0780 -0.0		

REGION NUMBER = 7

NUCLIDE	BU	DAYS	DELTA SIGMA TRANS			DELTA SIGMA CAPTURE			DELTA SIGMA FISSION			DELTA SIGMA ABSORB.			DELTA NU-SIGF		
			SHIELD SPECTR	TOTAL	SHIELD SPECTR	TOTAL	SHIELD SPECTR	TOTAL	SHIELD SPECTR	TOTAL	SHIELD SPECTR	TOTAL	SHIELD SPECTR	TOTAL	SHIELD SPECTR	TOTAL	
PU239	0	0	0.0000	0.0000	0.0000	0.0000	0.0000	0.0000	0.0000	0.0000	0.0000	0.0000	0.0000	0.0000	0.0000	0.0000	
	80	-0.0745-0.0233-0.0878	-0.0791-0.0752-0.1413	-0.0367-0.0445-0.0741	-0.0503-0.0544-0.0958	-0.0366-0.0442-0.0738											
	160	-0.0777-0.0397-0.108	-0.0874-0.1248-0.1898	-0.0406-0.0729-0.1021	-0.0557-0.0896-0.1303	-0.0406-0.0723-0.1014											
	240	-0.0797-0.0534-0.1111	-0.0931-0.1652-0.2278	-0.0433-0.0958-0.1260	-0.0593-0.1182-0.1574	-0.0433-0.0950-0.1231											
	320	-0.0812-0.0655-0.1199	-0.0975-0.1999-0.2598	-0.0455-0.1154-0.1423	-0.0622-0.1426-0.1801	-0.0455-0.1143-0.1412											
	400	-0.0824-0.0763-0.1278	-0.1012-0.2305-0.2876	-0.0473-0.1325-0.1583	-0.0646-0.1640-0.1999	-0.0472-0.1312-0.1569											
	480	-0.0833-0.0862-0.1350	-0.1045-0.2579-0.3123	-0.0489-0.1177-0.1723	-0.0667-0.1832-0.2173	-0.0488-0.1462-0.1708											
	560	-0.0842-0.0953-0.1417	-0.1074-0.2827-0.3344	-0.0503-0.1614-0.1849	-0.0686-0.2004-0.2330	-0.0502-0.1597-0.1832											
	640	-0.0850-0.1037-0.1479	-0.1100-0.3053-0.3545	-0.0516-0.1738-0.1963	-0.0704-0.2161-0.2472	-0.0515-0.1720-0.1946											
PU240	0	0	0.0000	0.0000	0.0000	0.0000	0.0000	0.0000	0.0000	0.0000	0.0000	0.0000	0.0000	0.0000	0.0000	0.0000	
	80	-0.0428-0.0346-0.0676	-0.0223-0.1186-0.1358	-0.0000-0.0418-0.0418	-0.0212-0.1105-0.1268	-0.0000-0.0420-0.0420	0.0428	0.0428									
	160	-0.0479-0.0628-0.0913	-0.0316-0.2132-0.2318	-0.0002-0.0797-0.0797	-0.0230-0.1984-0.2160	-0.0000-0.0818-0.0818	0.0479	0.0479									
	240	-0.0515-0.0852-0.1092	-0.0684-0.2862-0.3172	-0.0000-0.1146-0.1146	-0.0649-0.2659-0.2954	-0.0000-0.1176-0.1176											
	320	-0.0545-0.1024-0.1255	-0.0999-0.3430-0.3785	-0.0000-0.1475-0.1475	-0.0948-0.3182-0.3519	-0.0000-0.1513-0.1513											
	400	-0.0570-0.1186-0.1354	-0.1244-0.3881-0.4231	-0.0000-0.1788-0.1788	-0.1181-0.3594-0.3927	-0.0000-0.1835-0.1835											
	480	-0.0593-0.1314-0.1456	-0.1465-0.4247-0.4573	-0.0000-0.2090-0.2090	-0.1372-0.3926-0.4236	-0.0000-0.2144-0.2144											
	560	-0.0611-0.1425-0.1564	-0.1616-0.4549-0.4845	-0.0000-0.2380-0.2380	-0.1534-0.4198-0.4479	-0.0000-0.2443-0.2443											
	640	-0.0654-0.1522-0.1630	-0.1801-0.4861-0.5072	-0.0000-0.2662-0.2662	-0.1710-0.4423-0.4481	-0.0000-0.2732-0.2732											
PU241	0	0.0000	0.0000	0.0000	0.0000	0.0000	0.0000	0.0000	0.0000	0.0000	0.0000	0.0000	0.0000	0.0000	0.0000	0.0000	
	80	0.0000-0.0186-0.0186	-0.0000-0.0432-0.0432	-0.0000-0.0342-0.0342	-0.0000-0.0344-0.0344	-0.0000-0.0346-0.0346	0.0000-0.0340-0.0340	0.0000-0.0340-0.0340									
	160	0.0000-0.0332-0.0332	-0.0000-0.0822-0.0822	-0.0000-0.0822-0.0822	-0.0000-0.0824-0.0824	-0.0000-0.0830-0.0830	0.0000-0.0598-0.0598	0.0000-0.0598-0.0598									
	240	0.0000-0.0459-0.0459	-0.0000-0.1118-0.1118	-0.0000-0.0824-0.0824	-0.0000-0.0824-0.0824	-0.0000-0.0873-0.0873	0.0000-0.1013-0.1013	0.0000-0.1013-0.1013									
	320	0.0000-0.0572-0.0572	-0.0000-0.1378-0.1378	-0.0000-0.1020-0.1020	-0.0000-0.1020-0.1020	-0.0000-0.1080-0.1080	0.0000-0.1345-0.1345	0.0000-0.1345-0.1345									
	400	0.0000-0.0675-0.0675	-0.0000-0.1611-0.1611	-0.0000-0.1196-0.1196	-0.0000-0.1196-0.1196	-0.0000-0.1265-0.1265	0.0000-0.1187-0.1187	0.0000-0.1187-0.1187									
	480	0.0000-0.0771-0.0771	-0.0000-0.1823-0.1823	-0.0000-0.1503-0.1503	-0.0000-0.1503-0.1503	-0.0000-0.1590-0.1590	0.0000-0.1492-0.1492	0.0000-0.1492-0.1492									
	560	0.0000-0.0859-0.0859	-0.0000-0.2017-0.2017	-0.0000-0.1503-0.1503	-0.0000-0.1503-0.1503	-0.0000-0.1640-0.1640	0.0000-0.1425-0.1425	0.0000-0.1425-0.1425									
	640	0.0000-0.0942-0.0942	-0.0000-0.2197-0.2197	-0.0000-0.1640-0.1640	-0.0000-0.1640-0.1640	-0.0000-0.1734-0.1734	0.0000-0.1425-0.1425	0.0000-0.1425-0.1425									
PU242	0	0.0000	0.0000	0.0000	0.0000	0.0000	0.0000	0.0000	0.0000	0.0000	0.0000	0.0000	0.0000	0.0000	0.0000	0.0000	
	80	-0.018-0.0150-0.0166	-0.0031-0.0624-0.0649	-0.0000-0.0453-0.0453	-0.0288-0.0560-0.0563	-0.0000-0.0464-0.0464	0.0464	0.0464									
	160	-0.0220-0.0278-0.0293	-0.003-0.1127-0.1152	-0.0002-0.0862-0.0862	-0.0233-0.0972-0.0975	-0.0000-0.0888-0.0888	0.0464	0.0464									
	240	-0.0222-0.0389-0.0404	-0.0039-0.1550-0.1574	-0.0000-0.1240-0.1240	-0.0345-0.1332-0.1355	-0.0000-0.1271-0.1271											
	320	-0.024-0.0488-0.0503	-0.0042-0.1915-0.1937	-0.0000-0.1240-0.1240	-0.0400-0.1456-0.1460	-0.0000-0.1345-0.1345											
	400	-0.025-0.0579-0.0592	-0.0044-0.2235-0.2255	-0.0000-0.1240-0.1240	-0.0464-0.1935-0.1935	-0.0000-0.1980-0.1980											
	480	-0.026-0.0662-0.0675	-0.0047-0.2520-0.2539	-0.0000-0.1240-0.1240	-0.0522-0.2242-0.2242	-0.0000-0.2163-0.2163											
	560	-0.027-0.0739-0.0752	-0.0049-0.2776-0.2794	-0.0000-0.1240-0.1240	-0.0596-0.2576-0.2576	-0.0000-0.2357-0.2357											
	640	-0.029-0.0813-0.0823	-0.0051-0.3025-0.3025	-0.0000-0.1240-0.1240	-0.0662-0.2882-0.2882	-0.0000-0.2547-0.2547											
U 238	0	0.0000	0.0000	0.0000	0.0000	0.0000	0.0000	0.0000	0.0000	0.0000	0.0000	0.0000	0.0000	0.0000	0.0000	0.0000	
	80	0.0031-0.0149-0.0348	-0.0004-0.0165-0.0361	-0.0000-0.0744-0.0744	-0.0104-0.0315-0.0315	-0.0000-0.0745-0.0745	0.0749	0.0749									
	160	0.0032-0.0193-0.0392	-0.0004-0.0193-0.0393	-0.0000-0.0745-0.0745	-0.0104-0.0315-0.0315	-0.0000-0.0746-0.0746	0.0749	0.0749									
	240	0.0032-0.0215-0.0404	-0.0004-0.0215-0.0405	-0.0000-0.0745-0.0745	-0.0104-0.0315-0.0315	-0.0000-0.0751-0.0751	0.0751	0.0751									
	320	0.0033-0.0214-0.0404	-0.0004-0.0214-0.0404	-0.0000-0.0745-0.0745	-0.0104-0.0315-0.0315	-0.0000-0.0752-0.0752	0.0751	0.0751									
	400	0.0034-0.0211-0.0401	-0.0004-0.0211-0.0401	-0.0000-0.0745-0.0745	-0.0104-0.0315-0.0315	-0.0000-0.0753-0.0753	0.0751	0.0751									
	480	0.0035-0.0209-0.0401	-0.0004-0.0209-0.0401	-0.0000-0.0745-0.0745	-0.0104-0.0315-0.0315	-0.0000-0.0754-0.0754	0.0751	0.0751									
	560	0.0036-0.0206-0.0401	-0.0004-0.0206-0.0401	-0.0000-0.0745-0.0745	-0.0104-0.0315-0.0315	-0.0000-0.0755-0.0755	0.0751	0.0751									
	640	0.0037-0.0203-0.0401	-0.0004-0.0203-0.0401	-0.0000-0.0745-0.0745	-0.0104-0.0315-0.0315	-0.0000-0.0756-0.0756	0.0751	0.0751									
NA	0	0.0000	0.0000	0.0000	0.0000	0.0000	0.0000	0.0000	0.0000	0.0000	0.0000	0.0000	0.0000	0.0000	0.0000	0.0000	
	80	0.0000-0.0047-0.0047	-0.0000-0.0222-0.0221	-0.0000-0.0360-0.0360	-0.0000-0.0222-0.0221	-0.0000-0.0371-0.0371	0.0000	0.0000									
	160	0.0000-0.0109-0.0109	-0.0000-0.0406-0.0405	-0.0000-0.0360-0.0360	-0.0000-0.0400-0.0400	-0.0000-0.0404-0.0404	0.0000	0.0000									
	240	0.0000-0.0132-0.0132	-0.0001-0.0568-0.0568	-0.0000-0.0360-0.0360	-0.0001-0.0568-0.0568	-0.0000-0.0571-0.0571	0.0000	0.0000									
	320	0.0000-0.0173-0.0172	-0.0001-0.0717-0.0717	-0.0000-0.0360-0.0360	-0.0001-0.0717-0.0717	-0.0000-0.0721-0.0721	0.0000	0.0000									
	400	0.0000-0.0211-0.0211	-0.0001-0.0853-0.0852	-0.0000-0.0360-0.0360	-0.0001-0.0853-0.0852	-0.0000-0.0854-0.0854	0.0000	0.0000									
	480	0.0000-0.0249-0.0249	-0.0001-0.0981-0.0980	-0.0000-0.0360-0.0360	-0.0001-0.0981-0.0980	-0.0000-0.0982-0.0982	0.0000	0.0000									
	560	0.0000-0.0286-0.0286	-0.0001-0.1101-0.1100	-0.0000-0.0360-0.0360	-0.0001-0.1101-0.1100	-0.0000-0.1102-0.1102	0.0										

REGION NUMBER : 8

NUCLIDE	BU	DAYS	DELTA SIGMA TRANS	DELTA SIGMA CAPTURE	DELTA SIGMA FISSION	DELTA SIGMA ABSORP.	DELTA NU-SIGF					
			SHIELD SPECTR	TOTAL								
PU239	0	0.0000-0.0000-0.0000	0.0000-0.0000-0.0000	0.0000-0.0000-0.0000	0.0000-0.0000-0.0000	0.0000-0.0000-0.0000	0.0000-0.0000-0.0000	0.0000-0.0000-0.0000	0.0000-0.0000-0.0000	0.0000-0.0000-0.0000	0.0000-0.0000-0.0000	0.0000-0.0000-0.0000
	80	-0.0938-0.0280-0.1101	-0.0782-0.0765-0.1430	-0.0413-0.0514-0.0953	-0.0454-0.0601-0.1754	-0.0454-0.0601-0.1754	-0.0454-0.0601-0.1754	-0.0454-0.0601-0.1754	-0.0454-0.0601-0.1754	-0.0454-0.0601-0.1754	-0.0454-0.0601-0.1754	-0.0454-0.0601-0.1754
	160	-0.0973-0.0767-0.1254	-0.0846-0.1276-0.1926	-0.0469-0.0869-0.1176	-0.0588-0.1097-0.1437	-0.0588-0.1097-0.1437	-0.0588-0.1097-0.1437	-0.0588-0.1097-0.1437	-0.0588-0.1097-0.1437	-0.0588-0.1097-0.1437	-0.0588-0.1097-0.1437	-0.0588-0.1097-0.1437
	240	-0.0995-0.0839-0.1376	-0.0895-0.1689-0.2316	-0.0473-0.1116-0.1431	-0.0620-0.1315-0.1739	-0.0620-0.1315-0.1739	-0.0620-0.1315-0.1739	-0.0620-0.1315-0.1739	-0.0620-0.1315-0.1739	-0.0620-0.1315-0.1739	-0.0620-0.1315-0.1739	-0.0620-0.1315-0.1739
	320	-0.1011-0.0781-0.1479	-0.0930-0.2044-0.2645	-0.0492-0.1346-0.1645	-0.0664-0.1587-0.1932	-0.0664-0.1587-0.1932	-0.0664-0.1587-0.1932	-0.0664-0.1587-0.1932	-0.0664-0.1587-0.1932	-0.0664-0.1587-0.1932	-0.0664-0.1587-0.1932	-0.0664-0.1587-0.1932
	400	-0.1024-0.0908-0.1572	-0.0959-0.2356-0.2931	-0.0507-0.1503-0.1831	-0.0665-0.1826-0.2114	-0.0665-0.1826-0.2114	-0.0665-0.1826-0.2114	-0.0665-0.1826-0.2114	-0.0665-0.1826-0.2114	-0.0665-0.1826-0.2114	-0.0665-0.1826-0.2114	-0.0665-0.1826-0.2114
	480	-0.1036-0.1024-0.1655	-0.0985-0.2563-0.3188	-0.0521-0.1721-0.1997	-0.0683-0.2040-0.2412	-0.0683-0.2040-0.2412	-0.0683-0.2040-0.2412	-0.0683-0.2040-0.2412	-0.0683-0.2040-0.2412	-0.0683-0.2040-0.2412	-0.0683-0.2040-0.2412	-0.0683-0.2040-0.2412
	560	-0.1045-0.1130-0.1732	-0.1008-0.2891-0.3419	-0.0533-0.1862-0.2147	-0.0699-0.2233-0.2590	-0.0699-0.2233-0.2590	-0.0699-0.2233-0.2590	-0.0699-0.2233-0.2590	-0.0699-0.2233-0.2590	-0.0699-0.2233-0.2590	-0.0699-0.2233-0.2590	-0.0699-0.2233-0.2590
	640	-0.1054-0.1228-0.1804	-0.1028-0.3124-0.3630	-0.0545-0.2029-0.2283	-0.0715-0.2410-0.2752	-0.0715-0.2410-0.2752	-0.0715-0.2410-0.2752	-0.0715-0.2410-0.2752	-0.0715-0.2410-0.2752	-0.0715-0.2410-0.2752	-0.0715-0.2410-0.2752	-0.0715-0.2410-0.2752
PU240	0	0.0000-0.0000-0.0000	0.0000-0.0000-0.0000	0.0000-0.0000-0.0000	0.0000-0.0000-0.0000	0.0000-0.0000-0.0000	0.0000-0.0000-0.0000	0.0000-0.0000-0.0000	0.0000-0.0000-0.0000	0.0000-0.0000-0.0000	0.0000-0.0000-0.0000	0.0000-0.0000-0.0000
	80	-0.0557-0.0427-0.0878	-0.0179-0.1374-0.2133	0.0000-0.0666-0.1130	0.0000-0.2020-0.2156	0.0000-0.2020-0.2156	0.0000-0.2020-0.2156	0.0000-0.2020-0.2156	0.0000-0.2020-0.2156	0.0000-0.2020-0.2156	0.0000-0.2020-0.2156	0.0000-0.2020-0.2156
	160	-0.0611-0.0721-0.1175	-0.0211-0.2100-0.2239	0.0000-0.1254-0.1254	0.0000-0.2026-0.2026	0.0000-0.2026-0.2026	0.0000-0.2026-0.2026	0.0000-0.2026-0.2026	0.0000-0.2026-0.2026	0.0000-0.2026-0.2026	0.0000-0.2026-0.2026	0.0000-0.2026-0.2026
	240	-0.0648-0.1049-0.1400	-0.0245-0.2835-0.2987	0.0000-0.1786-0.1786	0.0000-0.2275-0.2254	0.0000-0.2275-0.2254	0.0000-0.2275-0.2254	0.0000-0.2275-0.2254	0.0000-0.2275-0.2254	0.0000-0.2275-0.2254	0.0000-0.2275-0.2254	0.0000-0.2275-0.2254
	320	-0.0678-0.1279-0.1590	-0.0276-0.3428-0.3552	0.0000-0.2280-0.2280	0.0000-0.3299-0.3292	0.0000-0.3299-0.3292	0.0000-0.3299-0.3292	0.0000-0.3299-0.3292	0.0000-0.3299-0.3292	0.0000-0.3299-0.3292	0.0000-0.3299-0.3292	0.0000-0.3299-0.3292
	400	-0.0703-0.1475-0.1746	-0.0306-0.3916-0.4031	0.0000-0.2746-0.2746	0.0000-0.2958-0.2870	0.0000-0.2958-0.2870	0.0000-0.2958-0.2870	0.0000-0.2958-0.2870	0.0000-0.2958-0.2870	0.0000-0.2958-0.2870	0.0000-0.2958-0.2870	0.0000-0.2958-0.2870
	480	-0.0724-0.1563-0.1881	-0.0336-0.4325-0.4432	0.0000-0.3192-0.3192	0.0000-0.3228-0.4166	0.0000-0.3228-0.4166	0.0000-0.3228-0.4166	0.0000-0.3228-0.4166	0.0000-0.3228-0.4166	0.0000-0.3228-0.4166	0.0000-0.3228-0.4166	0.0000-0.3228-0.4166
	560	-0.0744-0.1789-0.1999	-0.0366-0.4672-0.4771	0.0000-0.3619-0.3619	0.0000-0.3537-0.4474	0.0000-0.3537-0.4474	0.0000-0.3537-0.4474	0.0000-0.3537-0.4474	0.0000-0.3537-0.4474	0.0000-0.3537-0.4474	0.0000-0.3537-0.4474	0.0000-0.3537-0.4474
	640	-0.0762-0.1918-0.2104	-0.0394-0.4968-0.5040	0.0000-0.4032-0.4032	0.0000-0.3588-0.4754	0.0000-0.3588-0.4754	0.0000-0.3588-0.4754	0.0000-0.3588-0.4754	0.0000-0.3588-0.4754	0.0000-0.3588-0.4754	0.0000-0.3588-0.4754	0.0000-0.3588-0.4754
PU241	0	0.0000-0.0000-0.0000	0.0000-0.0000-0.0000	0.0000-0.0000-0.0000	0.0000-0.0000-0.0000	0.0000-0.0000-0.0000	0.0000-0.0000-0.0000	0.0000-0.0000-0.0000	0.0000-0.0000-0.0000	0.0000-0.0000-0.0000	0.0000-0.0000-0.0000	0.0000-0.0000-0.0000
	80	0.0000-0.0220-0.0220	0.0000-0.0503-0.0503	0.0000-0.0380-0.0380	0.0000-0.0402-0.0402	0.0000-0.0402-0.0402	0.0000-0.0402-0.0402	0.0000-0.0402-0.0402	0.0000-0.0402-0.0402	0.0000-0.0402-0.0402	0.0000-0.0402-0.0402	0.0000-0.0402-0.0402
	160	0.0000-0.0392-0.0392	0.0000-0.0868-0.0868	0.0000-0.0671-0.0671	0.0000-0.0737-0.0737	0.0000-0.0737-0.0737	0.0000-0.0737-0.0737	0.0000-0.0737-0.0737	0.0000-0.0737-0.0737	0.0000-0.0737-0.0737	0.0000-0.0737-0.0737	0.0000-0.0737-0.0737
	240	0.0000-0.0539-0.0539	0.0000-0.1190-0.1190	0.0000-0.0917-0.0917	0.0000-0.1065-0.1065	0.0000-0.1065-0.1065	0.0000-0.1065-0.1065	0.0000-0.1065-0.1065	0.0000-0.1065-0.1065	0.0000-0.1065-0.1065	0.0000-0.1065-0.1065	0.0000-0.1065-0.1065
	320	0.0000-0.0670-0.0670	0.0000-0.1466-0.1466	0.0000-0.1155-0.1155	0.0000-0.1129-0.1129	0.0000-0.1129-0.1129	0.0000-0.1129-0.1129	0.0000-0.1129-0.1129	0.0000-0.1129-0.1129	0.0000-0.1129-0.1129	0.0000-0.1129-0.1129	0.0000-0.1129-0.1129
	400	0.0000-0.0790-0.0790	0.0000-0.1712-0.1712	0.0000-0.1330-0.1330	0.0000-0.1397-0.1397	0.0000-0.1397-0.1397	0.0000-0.1397-0.1397	0.0000-0.1397-0.1397	0.0000-0.1397-0.1397	0.0000-0.1397-0.1397	0.0000-0.1397-0.1397	0.0000-0.1397-0.1397
	480	0.0000-0.0900-0.0900	0.0000-0.1937-0.1937	0.0000-0.1508-0.1508	0.0000-0.1584-0.1584	0.0000-0.1584-0.1584	0.0000-0.1584-0.1584	0.0000-0.1584-0.1584	0.0000-0.1584-0.1584	0.0000-0.1584-0.1584	0.0000-0.1584-0.1584	0.0000-0.1584-0.1584
	560	0.0000-0.1002-0.1002	0.0000-0.2143-0.2143	0.0000-0.1673-0.1673	0.0000-0.1755-0.1755	0.0000-0.1755-0.1755	0.0000-0.1755-0.1755	0.0000-0.1755-0.1755	0.0000-0.1755-0.1755	0.0000-0.1755-0.1755	0.0000-0.1755-0.1755	0.0000-0.1755-0.1755
	640	0.0000-0.1097-0.1097	0.0000-0.2334-0.2334	0.0000-0.1825-0.1825	0.0000-0.1915-0.1915	0.0000-0.1915-0.1915	0.0000-0.1915-0.1915	0.0000-0.1915-0.1915	0.0000-0.1915-0.1915	0.0000-0.1915-0.1915	0.0000-0.1915-0.1915	0.0000-0.1915-0.1915
PU242	0	0.0000-0.0000-0.0000	0.0000-0.0000-0.0000	0.0000-0.0000-0.0000	0.0000-0.0000-0.0000	0.0000-0.0000-0.0000	0.0000-0.0000-0.0000	0.0000-0.0000-0.0000	0.0000-0.0000-0.0000	0.0000-0.0000-0.0000	0.0000-0.0000-0.0000	0.0000-0.0000-0.0000
	80	-0.0029-0.0177-0.0195	-0.0030-0.0531-0.0557	0.0000-0.0728-0.0728	0.0000-0.0575-0.0600	0.0000-0.0748-0.0748	0.0000-0.0748-0.0748	0.0000-0.0748-0.0748	0.0000-0.0748-0.0748	0.0000-0.0748-0.0748	0.0000-0.0748-0.0748	0.0000-0.0748-0.0748
	160	-0.0023-0.0327-0.0345	-0.0034-0.1146-0.1169	0.0000-0.1370-0.1370	0.0000-0.1304-0.1341	0.0000-0.1304-0.1341	0.0000-0.1304-0.1341	0.0000-0.1304-0.1341	0.0000-0.1304-0.1341	0.0000-0.1304-0.1341	0.0000-0.1304-0.1341	0.0000-0.1304-0.1341
	240	-0.0025-0.0457-0.0475	-0.0037-0.1577-0.1601	0.0000-0.1951-0.1951	0.0000-0.1951-0.1951	0.0000-0.1951-0.1951	0.0000-0.1951-0.1951	0.0000-0.1951-0.1951	0.0000-0.1951-0.1951	0.0000-0.1951-0.1951	0.0000-0.1951-0.1951	0.0000-0.1951-0.1951
	320	-0.0024-0.0574-0.0591	-0.0039-0.1953-0.1976	0.0000-0.2491-0.2491	0.0000-0.2388-0.2388	0.0000-0.2388-0.2388	0.0000-0.2388-0.2388	0.0000-0.2388-0.2388	0.0000-0.2388-0.2388	0.0000-0.2388-0.2388	0.0000-0.2388-0.2388	0.0000-0.2388-0.2388
	400	-0.0027-0.0678-0.0696	-0.0041-0.2285-0.2306	0.0000-0.3000-0.3000	0.0000-0.2930-0.2949	0.0000-0.2930-0.2949	0.0000-0.2930-0.2949	0.0000-0.2930-0.2949	0.0000-0.2930-0.2949	0.0000-0.2930-0.2949	0.0000-0.2930-0.2949	0.0000-0.2930-0.2949
	480	-0.0028-0.0777-0.0792	-0.0043-0.2583-0.2602	0.0000-0.3488-0.3488	0.0000-0.3488-0.3488	0.0000-0.3488-0.3488	0.0000-0.3488-0.3488	0.0000-0.3488-0.3488	0.0000-0.3488-0.3488	0.0000-0.3488-0.3488	0.0000-0.3488-0.3488	0.0000-0.3488-0.3488
	560	-0.0029-0.0867-0.0882	-0.0044-0.2851-0.2870	0.0000-0.3955-0.3955	0.0000-0.3955-0.3955	0.0000-0.3955-0.3955	0.0000-0.3955-0.3955	0.0000-0.3955-0.3955	0.0000-0.3955-0.3955	0.0000-0.3955-0.3955	0.0000-0.3955-0.3955	0.0000-0.3955-0.3955
	640	-0.0030-0.0940-0.0956	-0.0041-0.3113-0.3131	0.0000-0.7344-0.7344	0.0000-0.7344-0.7344	0.0000-0.7344-0.7344	0.0000-0.7344-0.7344	0.0000-0.7344-0.7344	0.0000-0.7344-0.7344	0.0000-0.7344-0.7344	0.0000-0.7344-0.7344	0.0000-0.7344-0.7344
NA	0	0.0000-0.0000-0.0000	0.0000-0.0000-0.0000	0.0000-0.0000-0.0000	0.0000-0.0000-0.0000	0.0000-0.0000-0.0000	0.0000-0.0000-0.0000	0.0000-0.0000-0.0000	0.0000-0.0000-0.0000	0.0000-0.0000-0.0000	0.0000-0.0000-0.0000	0.0000-0.0000-0.0000
	80	0.0000-0.0058-0.0058	0.0000-0.0257-0.0257	0.0000-0.0257-0.0257	0.0000-0.0269-0.0269	0.0000-0.0269-0.0269	0.0000-0.0269-0.0269	0.0000-0.0269-0.0269	0.0000-0.0269-0.0269	0.0000-0.0269-0.0269	0.0000-0.0269-0.0269	0.0000-0.0269-0.0269
	160	0.0000-0.0110-0.0110	0.0000-0.0483-0.0483	0.0000-0.0483-0.0483	0.0000-0.0500-0.0500	0.0000-0.0500-0.0500	0.0000-0.0500-0.0500	0.0000-0.0500-0.0500	0.0000-0.0500-0.0500	0.0000-0.0500-0.0500	0.0000-0.0500-0.0500	0.0000-0.0500-0.0500
	240	0.0001-0.0155-0.0159	0.0000-0.0502-0.0502	0.0000-0.0502-0.0502	0.0000-0.0676-0.0676	0.0000-0.0676-0.0676	0.0000-0.0676-0.0676	0.0000-0.0676-0.0676	0.0000-0.0676-0.0676	0.0000-0.0676-0.0676	0.0000-0.0676-0.0676	0.0000-0.0676-0.0676
	320	0.0000-0.0248-0.0204	0.0000-0.0819-0.0819	0.0000-0.0819-0.0819	0.0000-0.0845-0.0845	0.0000-0.0845-0.0845	0.0000-0.0845-0.0					

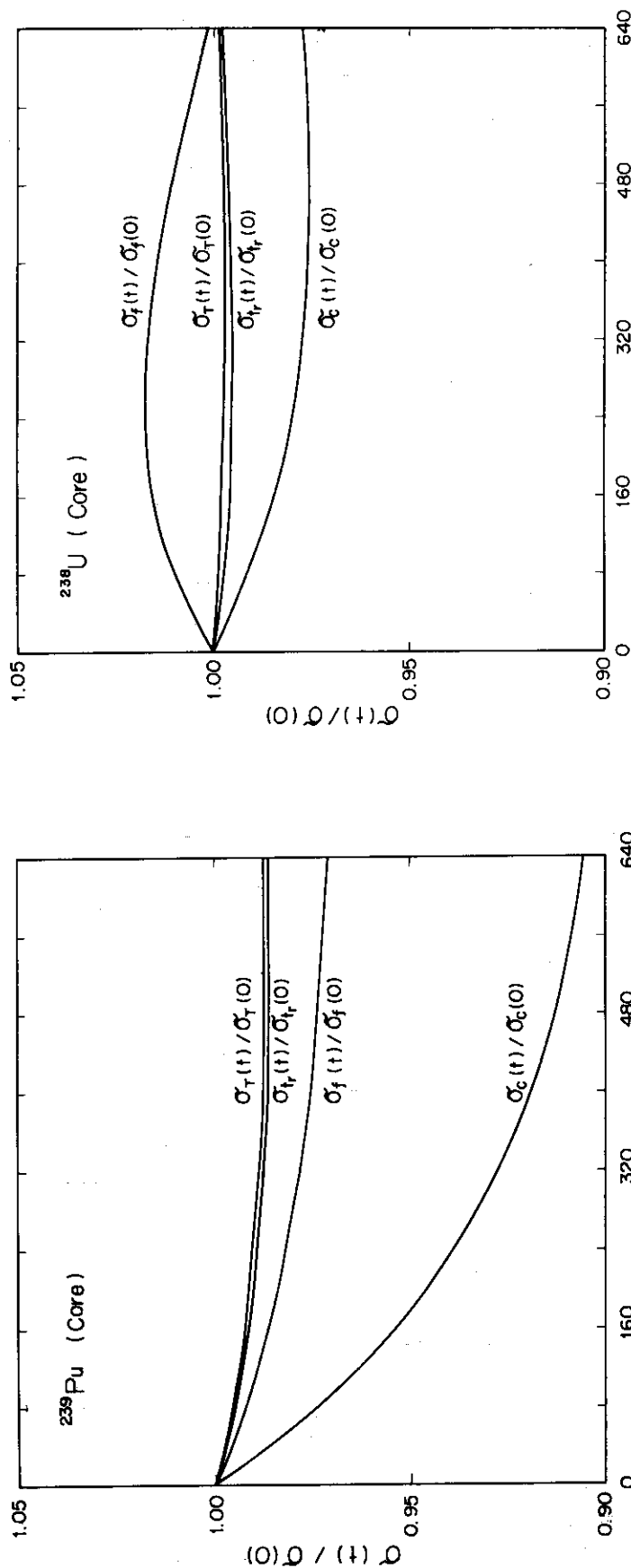


Fig. 2 炉心第1領域 ( $r=0\sim 24\text{cm}$ ) の  $^{239}\text{Pu}$  の 1群断面  
面積の時間変化

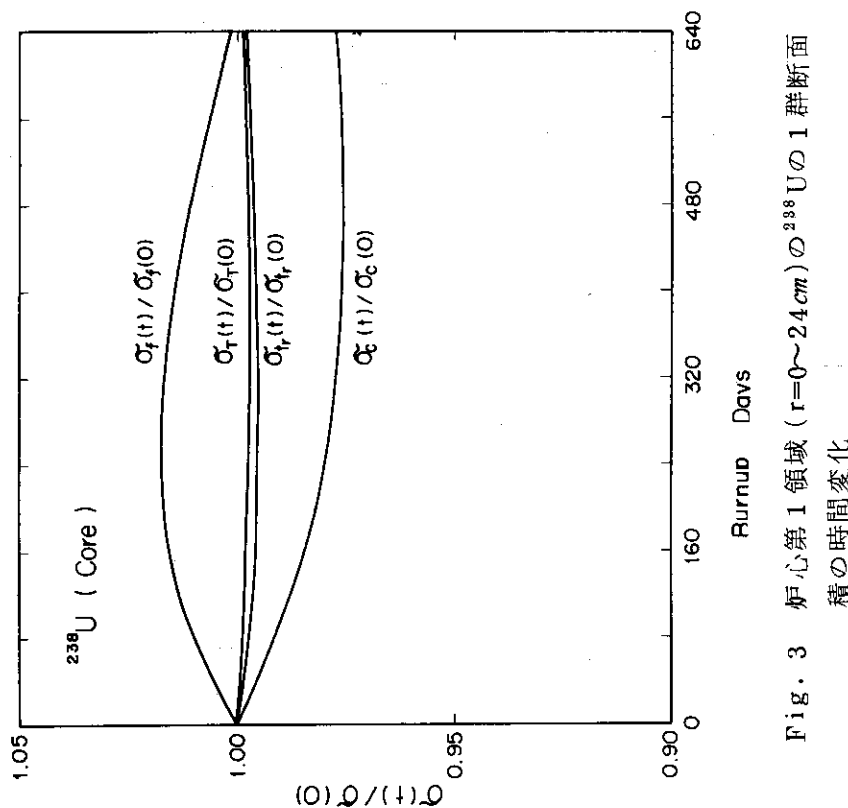


Fig. 3 炉心第1領域 ( $r=0\sim 24\text{cm}$ ) の  $^{238}\text{U}$  の 1群断面  
面積の時間変化

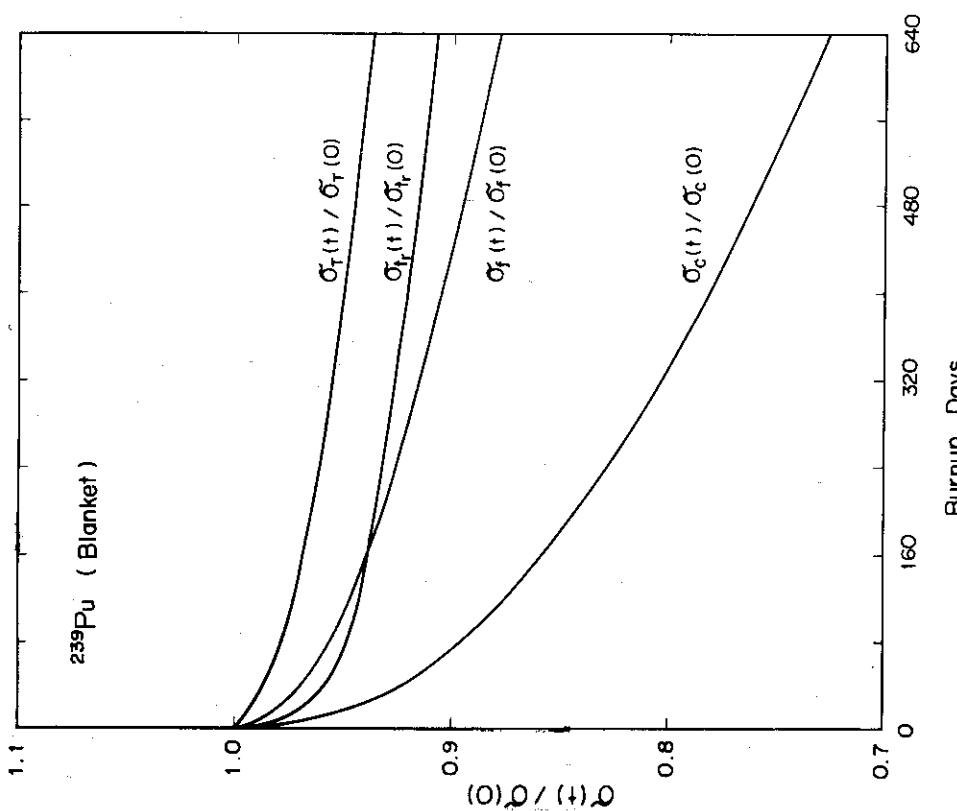


Fig. 4 ブランケット第1領域 ( $r=96\sim 104\text{cm}$ )  $\mathcal{O}^{239}\text{Pu}$   $\mathcal{O}^{238}\text{U}$   
1群断面積の時間変化

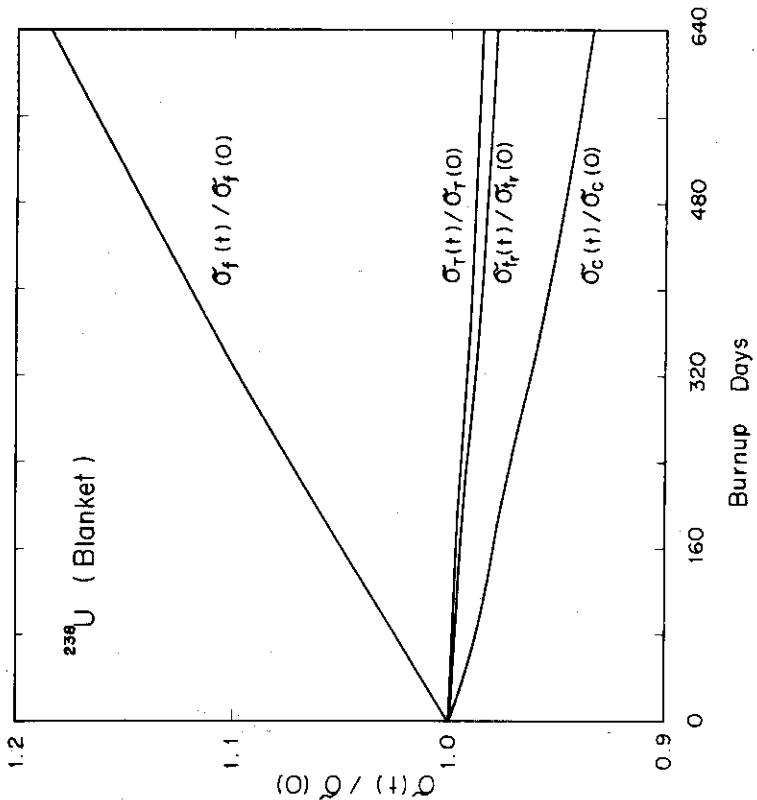


Fig. 5 ブランケット第1領域 ( $r=96\sim 104\text{cm}$ )  $\mathcal{O}^{239}\text{U}$   
 $\mathcal{O}^{238}\text{U}$   
1群断面積の時間変化

#### 4. 処女状態の1群炉定数を用いた燃焼特性

前章で得られた1群炉定数の変化を考慮する前に、処女状態の1群炉定数を燃焼期間中用いた時に、どのような燃焼特性に影響を与えるかを、多群計算結果と比較しながら検討する。

##### 4.1 実効増倍率( $k_{eff}$ )

Fig.6に $K_{eff}$ の変化を示した。T=0で得られた1群炉定数を用いることで、(i) T=0において $K_{eff}$ を約2%高めにとっている。このことは拡散係数を(21), (22)で求めたこと及び、領域分割が不適当であったことを示している。このことについては後に検討する。(ii)燃焼解析において $K_{eff}$ は $K_{eff}(T)-K_{eff}(0)$ で重要となるが、この量が多群計算の結果と大巾に異なる。等のことがわかる。したがって、この方法によって実効増倍率を計算することは不適当である。

##### 4.2 原子数密度と燃焼度

原子数密度の変化を多群計算と比較して、C-1, C-5, B-1についてTable 4に示した。この結果、炉心領域の主要燃焼核種( $^{238}U$ ,  $^{239}Pu$ ,  $^{240}Pu$ , F.P.)について全燃焼期間において1%以内で多群計算の結果と一致している。ただし、F.P.を除く $^{238}U$ ,  $^{239}Pu$ ,  $^{240}Pu$ は処女状態においてすでに存在するものであり、F.P.は(5)式からわかるように、核分裂核の核分裂群炉定数と関係し、この1群定数は燃焼に対して鈍感であることに注意すべきである。一方、プランケット領域においては、 $^{239}Pu$ で約4%1群計算の結果が低くなり、逆に $^{240}Pu$ は約10%高くなる。また、F.P.は約10%低くなる。このプランケットにおける原子数密度の傾向は単に $\langle\sigma_x\rangle$ の傾向で説明できず、1群計算の実効増倍率が多群計算の結果より大きいことから、1群計算のプランケット中の中性子束が小さくなる傾向にあることも考慮する必要があることを示している。

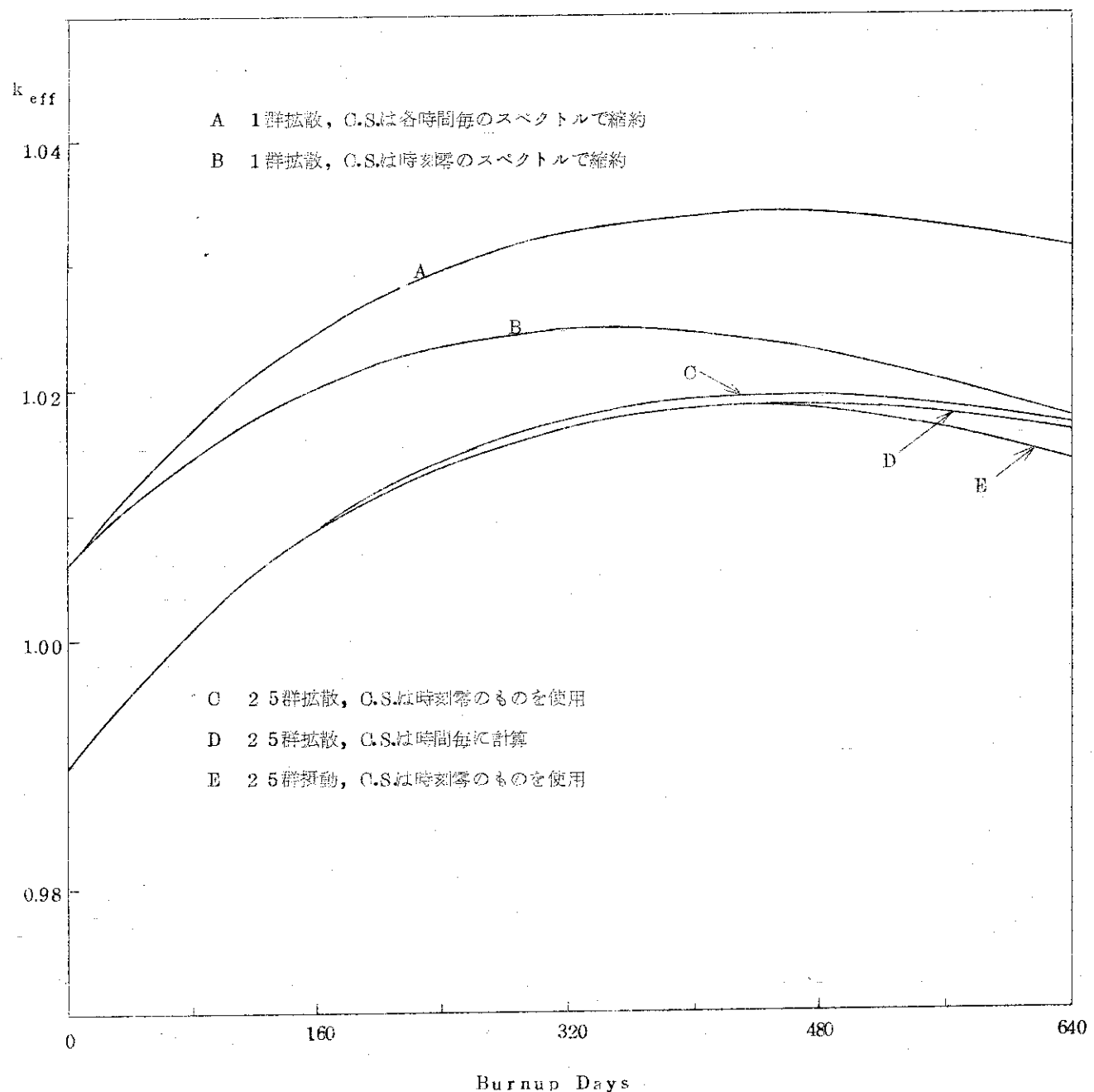
Fig.6 各種の計算法による  $k_{\text{eff}}$  の時間変化の比較

Table 4 原子数密度変化に対する多群と1群計算の比較

Region; C-1

Burnup Days	$^{238}\text{U} (\times 10^{-21})$		$^{239}\text{Pu} (\times 10^{-20})$		$^{240}\text{Pu} (\times 10^{-20})$		F. P. ( $\times 10^{-20}$ )	
	M-G	1-G	M-G	1-G	M-G	1-G	M-G	1-G
80	8.6213	8.6229	9.5664	9.5653	2.2665	2.2654	1.8715	1.8587
160	8.3949	8.3969	9.6910	9.6866	2.4273	2.4316	3.7521	3.7316
240	8.1794	8.1809	9.7501	9.7395	2.5713	2.5846	5.6205	5.5970
320	7.9741	7.9749	9.7596	9.7399	2.6994	2.7236	7.4622	7.4394
400	7.7785	7.7785	9.7316	9.7004	2.8130	2.8484	9.2669	9.2475
480	7.5923	8.5915	9.6757	9.6309	2.9132	2.9593	11.0269	11.0128
560	7.4147	7.4132	9.5991	9.5393	3.0013	3.0570	12.7382	12.7307
640	7.2454	7.2434	9.5073	9.4317	3.0784	3.1424	14.3986	14.3976

Region; C-5

Burnup Days	$^{238}\text{U} (\times 10^{-21})$		$^{239}\text{Pu} (\times 10^{-20})$		$^{240}\text{Pu} (\times 10^{-20})$		F. P. ( $\times 10^{-20}$ )	
	M-G	1-G	M-G	1-G	M-G	1-G	M-G	1-G
80	8.7908	8.7905	9.4306	9.4309	2.1462	2.1465	0.5129	0.5149
160	8.7248	8.7243	9.4963	9.4956	2.2016	2.2029	1.0181	1.0223
240	8.6604	8.6596	9.5541	9.5517	2.2548	2.2577	1.5192	1.5254
320	8.5973	8.5962	9.6050	9.6002	2.3060	2.3112	2.0187	2.0268
400	8.5350	8.5336	9.6495	9.6420	2.3556	2.3636	2.5185	2.5284
480	8.4734	8.4717	9.6881	9.6775	2.4037	2.4151	3.0201	3.0316
560	8.4124	8.4103	9.7213	9.7074	2.4505	2.4658	3.5243	3.5376
640	8.3517	8.3491	9.7492	9.7320	2.4960	2.5157	4.0319	4.0470

Region; B-1

Burnup Days	$^{238}\text{U} (\times 10^{-21})$		$^{239}\text{Pu} (\times 10^{-20})$		$^{240}\text{Pu} (\times 10^{-20})$		F. P. ( $\times 10^{-20}$ )	
	M-G	1-G	M-G	1-G	M-G	1-G	M-G	1-G
80	9.9283	9.9303	0.3993	0.3817	0.0022	0.0020	0.0354	0.0336
160	9.8857	9.8895	0.7739	0.7413	0.0077	0.0076	0.0811	0.0763
240	9.8438	9.8493	1.1286	1.0827	0.0162	0.0165	0.1364	0.1276
320	9.8024	9.8094	1.4668	1.4091	0.0272	0.0285	0.2008	0.1874
400	9.7613	9.7697	1.7911	1.7224	0.0406	0.0434	0.2740	0.2554
480	9.7203	9.7300	2.1033	2.0244	0.0562	0.0612	0.3559	0.3317
560	9.6792	9.6902	2.4047	2.3161	0.0738	0.0817	0.4465	0.4164
640	9.6381	9.6502	2.6962	2.5985	0.0933	0.1048	0.5458	0.5095

M-G ; 多群計算

1-G ; 1群計算

次に、この原子数密度の多群と1群計算の相異が高速炉の増殖性にどのように影響するかを各領域の $^{239}\text{Pu}$ に関する増殖利益の形で Fig. 7 に図示した。時刻  $t$  における $^{239}\text{Pu}$ の重量  $M^{49}(t)$  とすると増殖利益  $BG(t)$  は、

$$BG(t) = M^{49}(t) - M^{49}(0)$$

で定義する。この結果、増殖利益という観点からはプランケットの役割は大きく、内部増殖比1以下の場合(これが普通であるが)、プランケットにおける計算法を考える必要があることを示している。

FPが(5)式にしたがう時間変化を示すとすれば、1核分裂により、1個のFPが生じ、このFPは蓄積されることになる。したがって、各領域平均の燃焼度  $BU_p(t)$  は簡単に初期の燃焼核種( $^{238}\text{U}$ ,  $^{239}\text{Pu}$ ,  $^{240}\text{Pu}$ ,  $^{241}\text{Pu}$ ,  $^{242}\text{Pu}$ )と時刻  $t$  のFPとであらわすことができ、

$$BU_p(t) = \frac{N_p^b(t)}{\sum_{m=0}^4 N_p^m(0)} \times 100 \quad (\text{a/o}) \quad (29)$$

となる。したがって、1群と多群計算による燃焼度の相異は、両計算のFP原子数密度の相異となる。この点からみると、炉心における燃焼度は1群と多群計算で1%以下で一致するといえる。プランケットにおいては、燃焼時間が増加するにしたがって、両計算法の燃焼度の相異は10%程度に達するが、炉心の燃料交換は燃焼度によって決定されるが、プランケットにおいては炉内滞在時間で決定されるのが普通であることを考慮すると、FP蓄積量(燃焼度)の相異はあまり問題にならない。

#### 4.3 出力分布と中性子束分布

今までに、燃焼炉心における主要核特性の実効増倍率と燃焼度および増殖性が処女状態における1群炉定数を用いてどの程度の精度で計算可能かを議論してきた。

ここでは、残る主要核特性の出力分布と中性子束分布をみることにする。

出力分布の多群計算との比較図を Fig. 8 に示した。また、各領域の平均出力密度を Table 5 に示した。

この結果、炉心における出力分布の多群と1群計算の相異は1%以下である。一方、プランケットにおいてはかなり大きな相異があるが、多群と1群計算の相対比はある燃焼時間以上では平衡になる傾向がみられる。

次に中性子束分布を炉心中心で規格化して Table 6 に示した。炉心内の中性子束分布は、多群と1群計算では大一致しているといえるが、1群計算の結果はやゝ中性子流れ(拡散項)を小さめに見積る傾向がある。この傾向は処女状態においても燃焼状態においても同程度であることから、吸収、核分裂1群定数の時間変動よりもむしろ、輸送1群定数に(22)式を用いたところに主な原因があると推定できる。

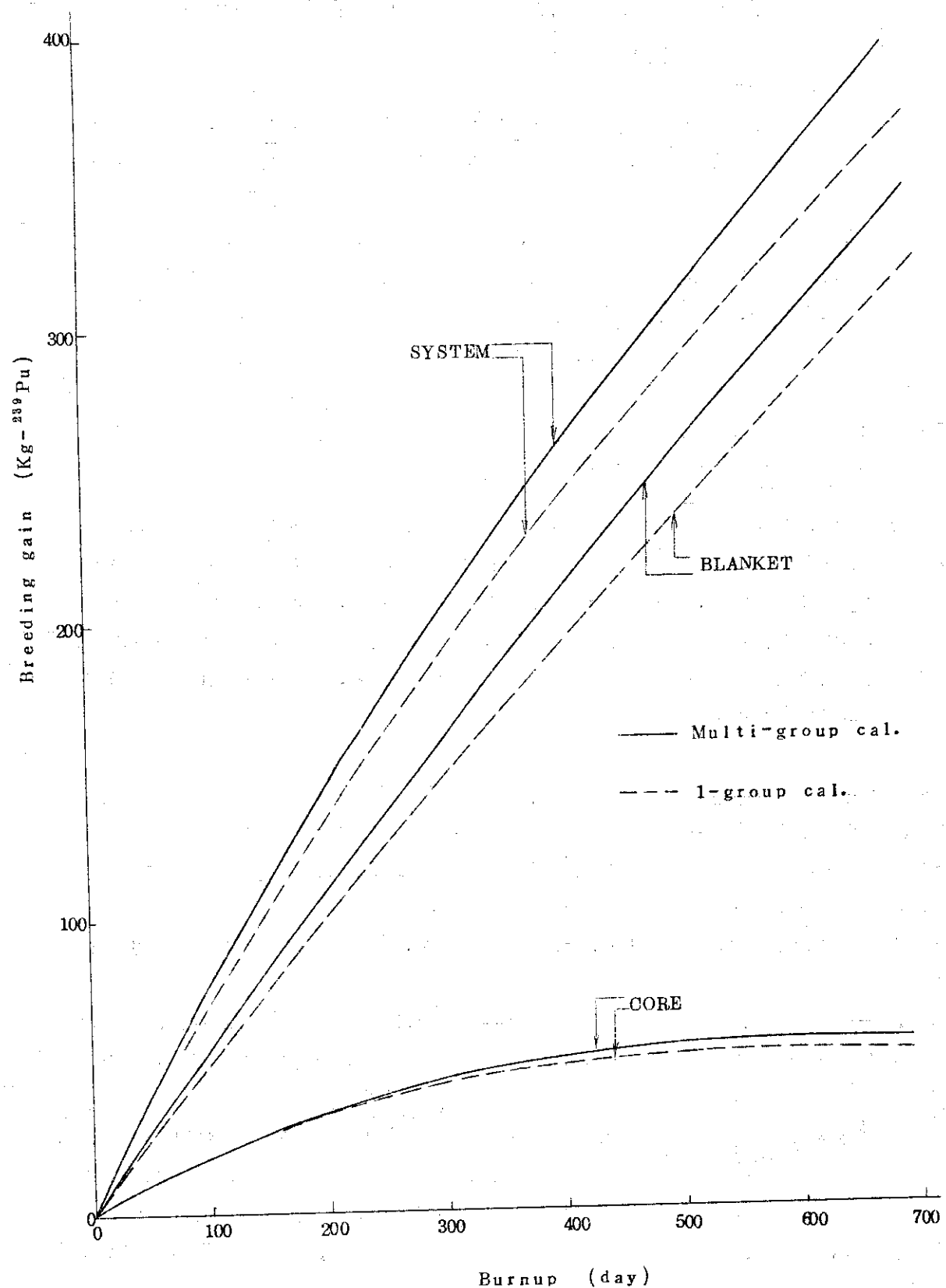


Fig. 7 1群と多群計算の増殖利益比較

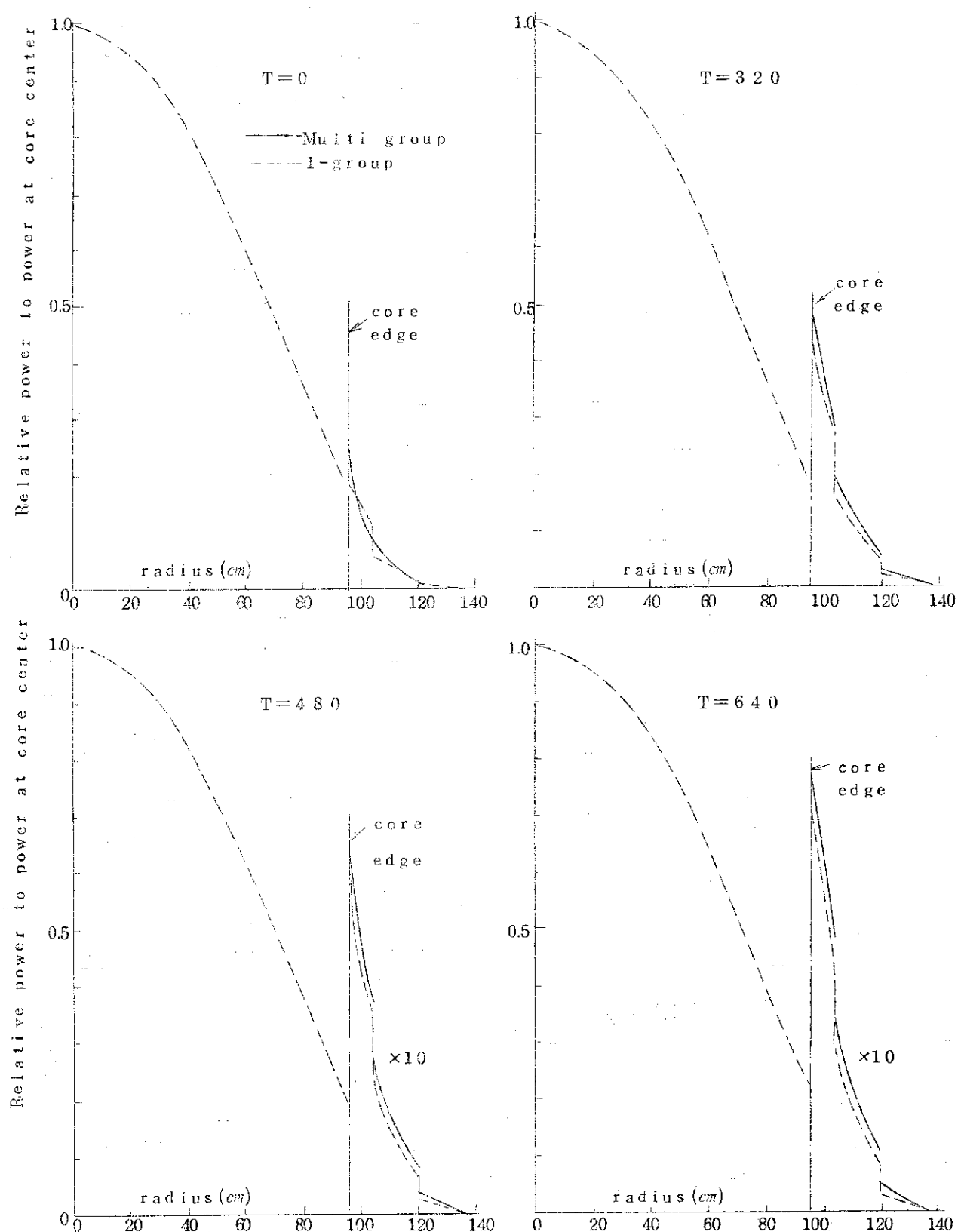


Fig. 8 Comparison of relative power distributions between Multigroup and 1 group calculations

Table 5 Comparison of average power densities in each region by one and multi-group treatments.

Region		T=0	T=320	T=480	T=640
C-1	M-G	0.8614	0.8434	0.8024	0.7556
	1-G	0.8554	0.8449	0.8055	0.7588
	1-G/M-G	0.9930	1.0018	1.0039	1.0042
C-2	M-G	0.7640	0.7477	0.7191	0.6861
	1-G	0.7602	0.7503	0.7235	0.6910
	1-G/M-G	0.9950	1.0035	1.0062	1.0071
C-3	M-G	0.6115	0.5969	0.5831	0.5673
	1-G	0.6105	0.6005	0.5882	0.5733
	1-G/M-G	0.9984	1.0060	1.0087	1.0106
C-4	M-G	0.4260	0.4142	0.4115	0.4091
	1-G	0.4278	0.4178	0.4158	0.4141
	1-G/M-G	1.0042	1.0087	1.0104	1.0122
C-5	M-G	0.2381	0.2324	0.2347	0.2382
	1-G	0.2390	0.2332	0.2354	0.2390
	1-G/M-G	1.0038	1.0034	1.0030	1.0034
B-1	M-G	0.01341	0.03169	0.03992	0.04806
	1-G	0.01281	0.02934	0.03717	0.04512
	1-G/M-G	0.9553	0.9258	0.9311	0.9388
B-2	M-G	0.003365	0.009684	0.01267	0.01574
	1-G	0.003010	0.007840	0.01034	0.01301
	1-G/M-G	0.8945	0.8096	0.8161	0.8266
B-2	M-G	0.0004051	0.001008	0.001312	0.001638
	1-G	0.0003458	0.0006583	0.0008358	0.001035
	1-G/M-G	0.8536	0.6531	0.6370	0.6319

(unit : MWt/ℓ)

Table 6 Comparison of neutron flux distributions calculated by one and multi-group diffusion theory.

Radius		T = 0	T = 320	T = 480	T = 640
2.4 cm	M-G	0.9259	0.9261	0.9308	0.9364
	1-G	0.9269	0.9282	0.9333	0.9396
	1-G/M-G	1.0011	1.0022	1.0027	1.0034
4.2 cm	M-G	0.7834	0.7841	0.7955	0.8094
	1-G	0.7862	0.7890	0.8015	0.8170
	1-G/M-G	1.0036	1.0062	1.0075	1.0094
6.0 cm	M-G	0.5890	0.5909	0.6067	0.6266
	1-G	0.5939	0.5977	0.6148	0.6365
	1-G/M-G	1.0083	1.0115	1.0134	1.0158
7.8 cm	M-G	0.3720	0.3765	0.3920	0.4117
	1-G	0.3778	0.3823	0.3984	0.4192
	1-G/M-G	1.0156	1.0154	1.0163	1.0182
9.6 cm	M-G	0.1712	0.1791	0.1902	0.2039
	1-G	0.1696	0.1760	0.1865	0.1998
	1-G/M-G	0.9907	0.9827	0.9805	0.9799
10.4 cm	M-G	0.1058	0.1137	0.1222	0.1325
	1-G	0.09918	0.1050	0.1123	0.1215
	1-G/M-G	0.9374	0.9235	0.9190	0.9170
12.0 cm	M-G	0.03197	0.03679	0.04028	0.04452
	1-G	0.02849	0.03081	0.03329	0.03639
	1-G/M-G	0.8911	0.8375	0.8265	0.8174

以上の結果、炉心内の出力分布および中性子束分布の燃焼に伴なう変動は、1群拡散近似に基く燃焼解析によって充分な精度で推定できる。しかし、プランケット部分のこれらの分布は1群拡散近似ではかなり問題があると考えられる。

処女状態で作成された1群炉定数を用いて種々の炉物理量の燃焼解析を行なった結果、

- (1) 実効増倍率 ( $k_{eff}$ )の変化の推定には無理がある。
- (2) 原子数密度の計算では、増殖利益を考える時にプランケット部の取扱いに問題がある。
- (3) 出力および中性子束分布の計算においても、プランケット部の取扱いに若干の問題がある。

等のことがわかった。

次の章では、処女状態の1群炉定数を用いるときの領域分割、拡散係数の作成上の問題等を検討する。

## 5. 処女状態 1群炉定数の定義と燃焼特性

1群拡散理論に基く燃焼解析では、処女状態の1群炉定数の輸送炉定数の作成法に1つの問題点があることが前章の解釈の結果わかった。輸送1群炉定数 $\langle\sigma_{tr}\rangle$ は、拡散方程式と境界条件の2つを満足する必要性から、エネルギー的、空間的平均法に注意を要する定数である。

こゝでは、(23), (24)式にしたがう $\langle\sigma_{tr}\rangle$ について検討し、加えて、C-5領域を3領域に細分したときについての検討を行なう。また、処女状態での1群炉定数を用いて反応度変化を計算することに問題があることから、反応度変化計算に1次擾動論に基く1群炉定数を適用した場合についても検討を行なった。

### 5.1 処女状態の炉特性

(23), (24)式の $\langle\sigma_{tr}\rangle$ を用い、C-5を3領域化したものと含め多群計算の $k_{eff}$ 、出力分布及び中性子束分布との比較をし、それぞれTable 7, 8, 9に示した。

$k_{eff}$ は(23)あるいは(24)式の1群輸送群定数を使用することで、多群計算の結果とほど一致することがわかる。

一方、炉心中心で規格化した中性子束および出力分布は輸送1群炉定数 $\langle\sigma_{tr}\rangle$ の選び方によって、炉心では(22)式、プランケットでは(23)あるいは(24)式が多群計算の結果と一致することがわかった。(22), (23), (24)式で得られた $\langle\sigma_{tr}\rangle$ が拡散係数Dにどの程度の影響を与えているかをTable 10にC-1, C-5, B-1について表示した。

しかしながら、特に炉心境界近傍のプランケットにおける出力分布はどの $\langle\sigma_{tr}\rangle$ を用いようとかなり多群計算の場合と異なる。この理由として、プランケットの核分裂核が $^{238}U$ であり、しかもこの領域の中性子スペクトルが空間的に変動し、したがって領域平均の $\langle\nu\Sigma_f\rangle$ が使用できないことがあると考えられる。したがって、プランケットの領域分割を考える必要がある。しかし、燃焼が進むにつれ、主な核分裂核が $^{239}Pu$ となり比較的中性子スペクトル変動に純感な $\nu\sigma_f$ をもつことから多群計算の結果と一致する方向にあることは前章で見た。

Table 7  $k_{eff}$  at virgin state for various  $\langle\sigma_{tr}\rangle$

Prob	領域分割	$\langle\sigma_{tr}\rangle$	$k_{eff}$
1		(22)	1.00572
2	C-5 1領域	(23)	0.98720
3		(24)	0.99300
4		(22)	1.00583
5	C-5 3領域化	(23)	0.98768
6		(24)	0.99350
0	多群拡散計算結果		0.98945

Table 8 Flux distributions of various one group calculations relative to that of multigroup calculation at virgin state

Prob. Radii(cm)	1	2	3	4	5	6
2.4	1.0009	1.0026	1.0022	1.0019	1.0035	1.0032
4.2	1.0031	1.0086	1.0074	1.0065	1.0117	1.0106
6.0	1.0072	1.0200	1.0173	1.0150	1.0273	1.0248
7.8	1.0131	1.0407	1.0348	1.0294	1.0559	1.0506
9.6	0.9847	1.0501	1.0359	1.0065	1.0713	1.0577
10.4	0.9282	1.0183	0.9969	0.9560	1.0461	1.0253
12.0	0.8755	1.0086	0.9720	0.9154	1.0505	1.0135

Table 9 Power distributions of various one group calculations relative to that of multi-group calculation at virgin state

Prob. Radii(cm)	1	2	3	4	5	6
2.4	1.0009	1.0026	1.0022	1.0011	1.0028	1.0024
4.2	1.0031	1.0087	1.0075	1.0039	1.0094	1.0083
6.0	1.0068	1.0204	1.0176	1.0088	1.0221	1.0194
7.8	1.0109	1.0445	1.0386	1.0098	1.0427	1.0370
9.6	0.9658	1.0301	1.0161	0.9811	1.0463	1.0321
10.4	0.7863	0.8385	0.8272	0.7857	0.8377	0.8264
12.0	0.9419	1.0333	1.0116	0.9411	1.0322	1.0106

Table 10 Relation between  $\langle D \rangle$  and  $\langle \sigma_{tr} \rangle$

$\langle \sigma_{tr} \rangle$	C-1	C-5	B-1
(22)	1.3296	1.3085	1.2411
(23)	1.5281	1.5063	1.4168
(24)	1.4677	1.4456	1.3561

## 5.2 燃焼状態の炉特性

$\langle \sigma_{tr} \rangle$  の計算法によって、処女状態の  $k_{eff}$  , 中性子束および出力分布がかなり影響していることがわかった。この処女状態の炉特性の相異がどの程度燃焼特性に影響を与えているかを  $k_{eff}$  , 原子数密度, 出力分布について検討してみる。 $k_{eff}$  の変化を Table 11 , 出力分布, 原子数密度は  $T = 640$  日における値をそれぞれ Table 12 , 13 に表示した。 $k_{eff}$  は  $\langle \sigma_{tr} \rangle$  として (23) あるいは (24) 式を用いることでかなり改良されているが, 多群計算との相異は大きい。

時刻 640 日における出力分布はプランケットを除いてはどの  $\langle \sigma_{tr} \rangle$  でも大きな変化はないが, プランケットでは処女状態と同様に (23), (24) 式の  $\langle \sigma_{tr} \rangle$  を用いる方が (22) 式と比較してやゝ良い結果を与える。また, 主要な核種の原子数密度は, 炉心およびプランケットと共に (23), (24) 式にしたがう  $\langle \sigma_{tr} \rangle$  を用いた時が良い結果を与える。特にプランケットの  $^{239}\text{Pu}$  の多群計算の結果との一致が非常によくなっている。したがって, 前章で指摘した燃料経済に及ぼすプランケットの不確定度は  $\langle \sigma_{tr} \rangle$  の選び方でほど解決しているように見受けられる。

Table 11  $k_{eff}$  variations due to burnup for various  $\langle \sigma_{tr} \rangle$

$$((k(t)-k(o))/k(o))$$

Prob. $\langle \sigma_{tr} \rangle$	(1)	(2)	(3)	Multi-group
	Burnup	Eq (22)	Eq (23)	Eq (24)
80 days	0.00886	0.00919	0.00908	0.01132
160	0.01452	0.01522	0.01499	0.01919
240	0.01768	0.01883	0.01846	0.02444
320	0.01893	0.02055	0.02006	0.02763
400	0.01864	0.02078	0.02013	0.02918
480	0.01718	0.01988	0.01909	0.02946
560	0.01480	0.01817	0.01720	0.02876
640	0.01165	0.01592	0.01471	0.02726

Table 12 Power distributions at  $T=640$  day for various  $\langle \sigma_{tr} \rangle$

Prob. $\langle \sigma_{tr} \rangle$ Radii (cm)	(1) Eq(22)	(2) Eq(23)	(3) Eq(24)	Multi-group cal.
2.4	0.9431	0.9423	0.9426	0.9401
4.2	0.8257	0.8245	0.8252	0.8188
6.0	0.6462	0.6469	0.6474	0.6373
7.8	0.4264	0.4319	0.4314	0.4189
C	0.2031	0.2133	0.2116	0.2103
B	0.07439	0.08065	0.07947	0.07735
1.04	0.03734	0.04216	0.04109	0.04098
1.20	0.00603	0.00733	0.00698	0.00791

Table 13 Atomic number densities at  $T=640$  day for various  $\langle \sigma_{tr} \rangle$

Region	Prob. $\langle \sigma_{tr} \rangle$ Nuclide	(1) Eq(22)	(2) Eq(23)	(3) Eq(24)	Multi-group cal.
C - 1	U - 238	7.2434	7.2741	7.2679	7.2454
	Pu - 239	9.4317	9.4531	9.4490	9.5073
	Pu - 240	3.1424	3.1271	3.1302	3.0784
	F. P.	14.398	14.091	14.152	14.399
C - 5	U - 238	8.3491	8.3407	8.3423	8.3517
	Pu - 239	9.7320	9.7347	9.7342	9.7492
	Pu - 240	2.5157	2.5227	2.5214	2.4960
	F. P.	4.0470	4.1167	4.1035	4.0319
B - 1	U - 238	9.6502	9.6331	9.6369	9.6381
	Pu - 239	2.5985	2.7162	2.6906	2.6962
	Pu - 240	0.1048	0.1155	0.1131	0.0933
	F. P.	0.5095	0.5521	0.5426	0.5458

$^{239}\text{Pu} : \times 10^{-21} \text{n/cm}^3$       others :  $\times 10^{-20} \text{n/cm}^3$

### 5.3 反応度変化への一次摂動論の適用

処女状態で定義した1群炉定数(反応率保存にしたがう)を用いて高速炉燃焼特性を解析するとき、原子数密度、中性子束および出力分布は適当な輸送1群炉定数 $\langle\sigma_{tr}\rangle$ を用いることによって多群計算の場合とかなりの一一致をみることが前節でわかった。しかし、 $k_{eff}$ の燃焼に伴なう変化のみは、拡散方程式の固有値として求めるかぎり1群計算と多群計算の結果の一致が非常にわるい。

ここでは、反応度変化を1次摂動論にもとづく各領域の各核種の物質価値を定める定数で表し、その結果の妥当性を検討してみる。この定数は barn 単位で表わせないが一種の1群炉定数と考えることができる。

処女状態を無摂動系と考えると、微視多群炉定数の燃焼に伴なう自己遮蔽効果の変化が小さいことを考慮すれば、燃焼時点  $t$  の反応度変化は、

$$\frac{\Delta K(t)}{K(o)} = \frac{1}{F} \cdot \sum_{p=1}^P \int_{V_p} d\underline{x} \cdot \sum_{m=0}^5 \delta N_p^m(t) \cdot \left[ \sum_{i=1}^n \nu \phi_i^*(\underline{x}) [3 D_i^{p^2} \cdot \sigma_{tr,i}^{m,p}] \right.$$

$$\times \nu \phi_i(\underline{x}) - \phi_i^*(\underline{x}) \sigma_{a,i}^{m,p} \phi_i(\underline{x}) + \phi_i(\underline{x}) \sum_{j=i+1}^n \sigma_{i \rightarrow j}^{m,p} (\phi_j^* - \phi_i^*)$$

$$+ \left. \frac{1}{K(o)} \phi_i^* \chi_i \sum_{j=1}^n \nu \sigma_{f,j}^{m,p} \phi_j(\underline{x}) \right]$$

$$F = \frac{1}{K(o)} \sum_{p=1}^P \int_{V_p} d\underline{x} \left[ \sum_{m=0}^5 N_p^m(o) \cdot \sum_{i=1}^n \phi_i(\underline{x}) \chi_i \sum_{j=1}^n \nu \sigma_{f,j}^{m,p} \phi_j(\underline{x}) \right]$$

となる。

したがって、上式から

$$\frac{\Delta K(t)}{K(o)} = \sum_{p=1}^P \sum_{m=0}^5 W_p^m \cdot (N_p^m(t) - N_p^m(o)) \quad (30)$$

となり、 $W_p^m$  が  $p$ -領域の  $m$ -核種の物質価値を示す1群炉定数となり処女状態で定義される量である。

$$W_p^m = \frac{1}{F} \int_{V_p} d\underline{x} \cdot \sum_{i=1}^n [ \nu \phi_i^*(\underline{x}) [3 D_i^{p^2} \cdot \sigma_{tr,i}^{m,p}] \nu \phi_i(\underline{x}) - \phi_i^*(\underline{x}) \sigma_{a,i}^{m,p} \phi_i(\underline{x}) ]$$

$$+ \phi_i(\underline{x}) \sum_{j=i+1}^n \sigma_{i \rightarrow j}^{m,p} (\phi_j^*(\underline{x}) - \phi_i^*(\underline{x})) + \frac{1}{K(o)} \phi_i^*(\underline{x}) \chi_i \sum_{j=1}^n \nu \sigma_{f,j}^{m,p} \phi_j(\underline{x}) ]$$

となる。

各領域の各核種の  $W_p^m$  を Table 14 に示し、多群および種々の  $\langle \sigma_{tr} \rangle$  を用いた 1 群計算の結果求められた原子数密度を用いて (30) 式にしたがう  $\Delta K(t)/K(0)$  を Fig. 9 に示した。この結果、この 1 群炉定数を用いることで、反応度変化の計算がかなり改善されていることがわかる。 $\langle \sigma_{tr} \rangle$  の影響はかなり小さいが、(23) 式にしたがう  $\langle \sigma_{tr} \rangle$  を用いた時がもっとも多群計算の結果とよく一致している。

Table 14  $W_p^m$ 

$p \backslash m$	$^{238}\text{U}$	$^{239}\text{Pu}$	$^{240}\text{Pu}$	$^{241}\text{Pu}$	$^{242}\text{Pu}$	F. P.
C-1	-1.7608	33.6145	0.9403	53.2872	1.0835	-4.4669
C-2	-5.9581	115.6030	3.3266	183.2040	3.8192	-15.2139
C-3	-8.7114	175.5590	5.3582	278.0900	6.1072	-22.6048
C-4	-7.1198	157.6830	5.2977	250.0440	5.9838	-19.3161
C-5	-2.6345	82.7601	2.6164	134.4860	2.9825	-8.7520
B-1	-0.1289	16.3496	-0.6802	28.3483	~0	-1.1291
B-2	-0.0216	13.6216	-0.7205	22.3321	~0	-0.4655
B-3	~0	1.4582	~0	2.5141	~0	~0

 $( \times 10^{24} )$

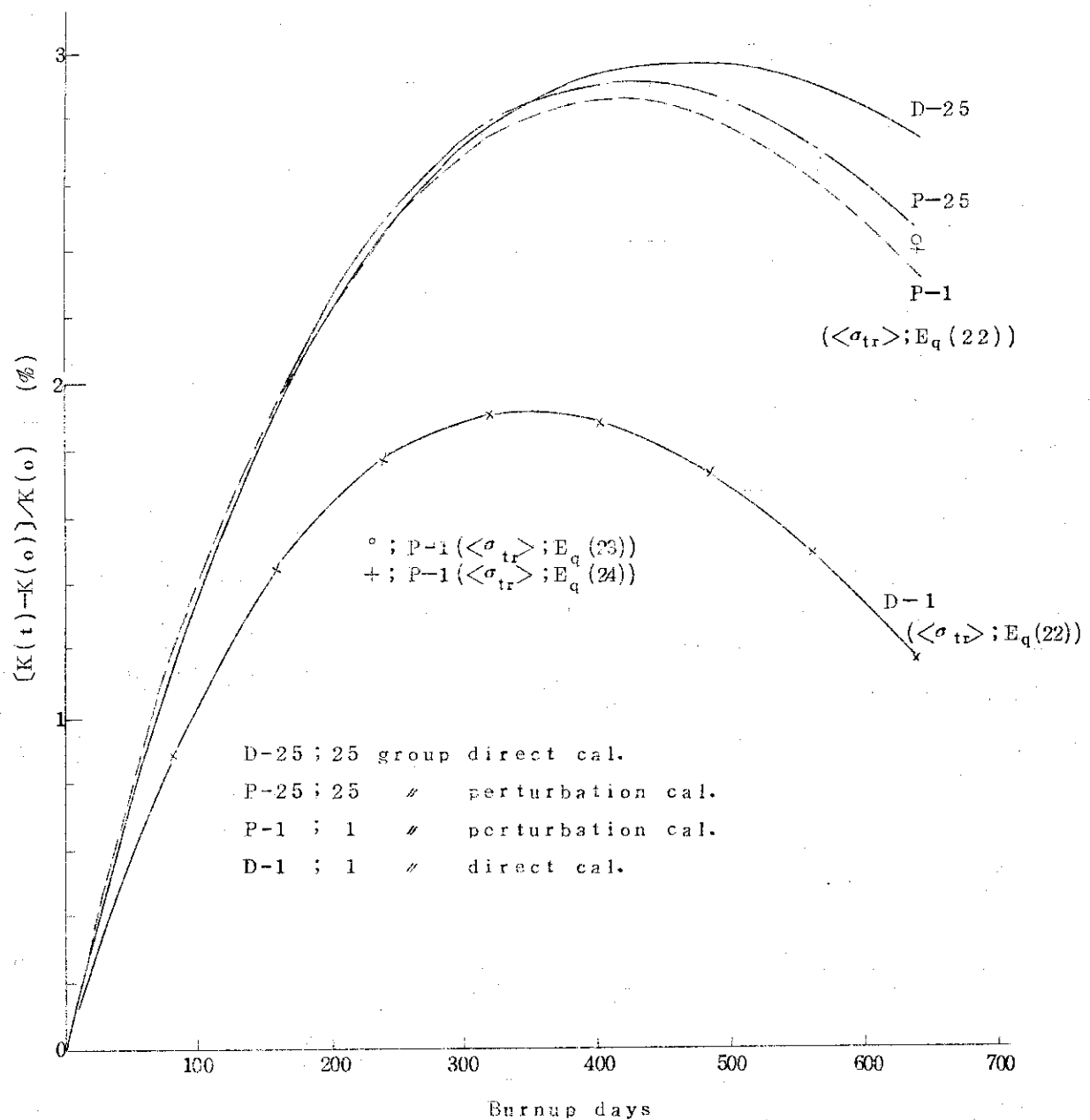


Fig. 9 Comparison of reactivity changes calculated by perturbation method and diffusion method.

## 6. 1群炉定数の時間依存性の近似的考慮

第3章で1群炉定数の燃焼に伴なう変化を解釈し、その変化がかなり大きなものであることがわかった。第4、5章では、処女状態で定義した1群炉定数が時間的に変化しないと仮定した時の燃焼特性に与える影響を解析し、適当な $\langle\sigma_{tr}\rangle$ の平均方法を見つけ、反応度に関しては摂動論的1群炉定数 $W_p^m$ を用いることで、燃焼特性をほぼ満足に推定することができることを示した。

ここでは、1群炉定数の時間依存性を考慮する2つの近似方法について、それぞれの方法の妥当性を検討する。これらの方法の主な近似点は、

- (i) 燃焼領域の幾何学的バッククリングの時間的変化は無視する。
  - (ii) 自己遮蔽効果の時間的変化は無視する。
- の2点であり、(i)は $\langle\sigma_{tr}\rangle$ の変化が小さいことからバッククリングの変化が各領域の中性子スペクトル変化に与える影響が小さく、(ii)は第3章の議論から無視できることによる。

### 6.1 近似法一

今までの検討で、燃焼に伴なう多群炉定数の変化（自己遮蔽効果の変化）は燃焼特性に大きな影響を与えないこと、1群炉定数の $\langle\sigma_{tr}\rangle$ に(23)式を使用すれば出力分布、原子数密度の計算値が多群計算の結果と良い一致をみるとこと等がわかった。また、拡散係数Dは燃焼期間中大きな変化をもたらすとは考えられないで、各領域のバッククリング $B_{i,k}^s(t) = \int_{V_k} \nabla^2 \phi_i(x,t) dx / \int_{V_k} \phi_i(x,t) dx$ も燃焼期間を通して変化が小さく、したがって各領域の1群定数をつくるための重み関数である中性子スペクトルに与えるバッククリングの効果は小さいと推定される。

$B_{i,k}^s(t) = B_{i,k}^s(0)$ と近似すると、時刻 $t_j$ の1群炉定数は重み関数の規格化に依存しないので、

$$(D_i^p(t_j)B_{i,p}^s + \Sigma_i^p(t_j))\phi_i^p(t_j) - \sum_{\ell=1}^{i-1} \Sigma_{\ell \rightarrow i}^p(t_j)\phi_{\ell}^p(t_j) = \chi_i \quad (32)$$

$$(p = 1, 2, \dots)$$

$$(i = 1, 2, \dots, n)$$

で得られる領域平均中性子スペクトルを重み関数として求めることができる。Table 15, 16にて $B_{i,p}^s$ を初期値で固定したことの重み関数に与える影響をEXACTと比較してC-1, C-5, B-1について示した。

Table 17に主要な核種の $\langle\sigma_c\rangle$ ,  $\langle\sigma_f\rangle$ を各燃焼時点において、通常の多群燃焼コードの計算結果との比の形で示した。

この結果、炉心では全核種の時間依存1群炉定数は多群計算で求められたものと比較してほぼ1%内外でよく一致している。またブランケットにおいても、主要な核種 $^{239}\text{Pu}$ の $\langle\sigma_f\rangle$ および $^{238}\text{U}$ の $\langle\sigma_c\rangle$ は1%以内で一致し、その他の核種の $\langle\sigma_x\rangle$ も初期状態からの変化

Table 15 Effect of Buckling approximation on the region-wise weighting function  $\varphi_i^p(t_j)$  for one-group reactor constants at T=320 days burnup state

$i \backslash p$	C - 1		C - 5		B - 1	
	APRO-1	EXACT	APRO-1	EXACT	APRO-1	EXACT
1	0.00163	0.00162	0.00153	0.00151	0.00102	0.00101
2	0.00976	0.00967	0.00912	0.00901	0.00597	0.00591
3	0.02402	0.02383	0.02243	0.02218	0.01464	0.01453
4	0.05162	0.05102	0.04809	0.04743	0.03378	0.03326
5	0.06889	0.06866	0.06476	0.06438	0.04810	0.04798
6	0.13041	0.13752	0.12366	0.13051	0.10413	0.11035
7	0.16843	0.16514	0.16143	0.15852	0.15000	0.14609
8	0.16431	0.16168	0.16058	0.15841	0.16095	0.15717
9	0.13607	0.13681	0.13672	0.13787	0.14546	0.14575
10	0.09367	0.10056	0.09720	0.10493	0.10901	0.11817
11	0.07114	0.06724	0.07700	0.07297	0.09097	0.08697
12	0.03875	0.03626	0.04357	0.04075	0.05392	0.05116
13	0.00806	0.01122	0.00916	0.01284	0.01160	0.01680
14	0.02015	0.01743	0.02478	0.02150	0.03420	0.03079
15	0.00895	0.00774	0.01230	0.01063	0.01941	0.01772
16	0.00306	0.00265	0.00517	0.00441	0.01014	0.00934
17	0.00085	0.00078	0.00172	0.00157	0.00405	0.00423
18	0.00019	0.00015	0.00054	0.00042	0.00178	0.00179
19	0.00004	0.00003	0.00017	0.00014	0.00062	0.00071
20	0	0	0.00004	0.00002	0.00019	0.00019
21	0	0	0	0	0.00004	0.00004
22	0	0	0	0	0.00002	0.00002
23	0	0	0	0	0	0.00001
24	0	0	0	0	0	0
25	0	0	0	0	0	0

EXACT : Eq. (10)

APRO-1 : Eq. (32)

Table 16 Effects of Backing approximation on the region-wise weighting functions  $\varphi_i^p(t_j)$  for one-group reactor constants at T=560 days

p i \ \diagdown	C - 1		O - 5		B - 1	
	APRO-1	EXACT	APRO-1	EXACT	APRO-1	EXACT
1	0.00162	0.00159	0.00153	0.00152	0.00105	0.00107
2	0.00970	0.00954	0.00916	0.00912	0.00618	0.00630
3	0.02388	0.02354	0.02253	0.02247	0.01515	0.01551
4	0.05150	0.05062	0.04833	0.04805	0.03487	0.03512
5	0.06856	0.06796	0.06498	0.06505	0.04931	0.05019
6	0.13014	0.13671	0.12405	0.13150	0.10604	0.11329
7	0.16906	0.16570	0.16209	0.15959	0.15211	0.14825
8	0.16558	0.16323	0.16125	0.15912	0.16234	0.15793
9	0.13706	0.13824	0.13706	0.13794	0.14573	0.14516
10	0.09418	0.10146	0.09720	0.10443	0.10838	0.11659
11	0.07111	0.06750	0.07667	0.07215	0.08963	0.08504
12	0.03841	0.03607	0.04316	0.04003	0.05269	0.04964
13	0.00798	0.01109	0.00906	0.01256	0.01131	0.01622
14	0.01942	0.01671	0.02420	0.02069	0.03280	0.02930
15	0.00831	0.00709	0.01178	0.00999	0.01813	0.01644
16	0.00263	0.00223	0.00476	0.00396	0.00901	0.00831
17	0.00069	0.00061	0.00154	0.00135	0.00342	0.00359
18	0.00013	0.00010	0.00045	0.00033	0.00130	0.00136
19	0.00003	0.00002	0.00014	0.00010	0.00042	0.00051
20	0	0	0.00003	0.00002	0.00011	0.00012
21	0	0	0	0	0.00002	0.00002
22	0	0	0	0	0.00001	0.00001
23	0	0	0	0	0	0
24	0	0	0	0	0	0
25	0	0	0	0	0	0

Table 17 Comparison of time dependent one-group constants  
by approximate and exact method

$\langle \sigma_x \rangle_{\text{approx}} / \langle \sigma_x \rangle_{\text{EXACT}}$

Region	Nuclide Reaction	$^{238}\text{U}$		$^{239}\text{Pu}$		$^{240}\text{Pu}$		$^{241}\text{Pu}$	F. P.
		Burn-up	Capture	Fission	Capture	Fission	Capture	Fission	Capture
C-1	160 days	0.998	0.997	1.000	0.999	1.002	0.998	1.000	1.000
	320	0.993	0.999	0.997	0.998	1.000	1.000	0.999	0.997
	480	0.989	1.004	0.993	0.997	0.998	1.004	0.996	0.993
	640	0.984	1.011	0.988	0.996	0.994	1.008	0.994	0.989
C-5	160	1.000	1.001	1.003	1.001	1.003	1.000	1.001	1.004
	320	1.000	0.998	1.005	1.001	1.006	0.998	1.003	1.006
	480	1.002	0.993	1.009	1.001	1.009	0.995	1.005	1.010
	640	1.003	0.987	1.012	1.002	1.013	0.990	1.007	1.013
B-1	160	0.993	1.002	1.027	1.003	0.924	1.001	0.984	0.972
	320	0.993	0.984	1.018	0.996	0.887	0.993	0.980	0.963
	480	0.994	0.968	1.012	0.992	0.876	0.994	0.979	0.958
	640	0.995	0.953	1.009	0.990	0.872	0.995	0.979	0.957

(Table 3) を考慮すると時間依存性が充分な精度で考慮されていることが結論される。

次に、この $\langle\sigma_x\rangle$  を用いた時の系の実効増倍率、原子数密度および出力分布の燃焼に伴なう変化を多群計算結果と比較して Fig. 10, 11, 12 に図示した。

実効増倍率の変化はこの近似法で多群計算と比較して 0.1 % 以内で一致することがわかる。また原子数密度の変化 ( $N^m(t) - N^m(0)$ ) は、炉心の  $^{238}\text{U}$ ,  $^{240}\text{Pu}$ ,  $^{241}\text{Pu}$ , F.P. およびプランケットの  $^{238}\text{U}$ ,  $^{239}\text{Pu}$ , F.P. 共に 3 % 以内で多群計算の結果と一致している。炉心の  $^{239}\text{Pu}$  の  $\Delta N(t)$  が多群計算の結果とかなり一致がわるいことは、1つは、内部増殖比が 1 をわずかに上まわり、 $\Delta N(t)$  が小さいことと、 $\Delta N(t)$  に極大値 (Table 4) が現われることで、 $\Delta N(t)$  の変化が他核種と比較して微妙であることによるものである。出力分布については、この近似法が有効であることが Fig. 12 と Fig. 8 の比較から明らかである。

この近似法は、各領域の中性子スペクトルは、各領域の結合係数と考えられるエネルギー依存のバックリング  $B_{i,k}^2$  の変化によって影響されることは小さく、各領域の組成比変化によつて影響をうけるという仮定のもとに、処女状態の  $B_{i,k}^2$  を固定し、燃焼時点での各領域の裸体系に対する中性子スペクトルを求める、それを重み関数として 1 群炉定数を作成し 1 群拡散計算に基く燃焼解析を行なう近似である。この近似法を使用すれば、従来の多群拡散計算に基く燃焼解析と比較して計算時間は早く、しかも、主なる燃焼特性である実効増倍率、原子数密度、したがって増殖性、燃焼度および出力分布の燃焼に伴なう変化を充分な精度で推定することが可能である。

## 6.2 近似法-2

近似法-1 の検討から、各領域のエネルギー依存バックリングの時間依存性を無視しても、各燃焼時点での得られる 1 群炉定数は多群計算から得られるものとよく一致することが Table.17 から明らかとなつた。近似法-1 では各燃焼時点での各領域の裸体系に対する多群計算が施されることに不満がのこる。

この近似法-2 では、近似法-1 の裸体系の多群計算の部分にさらに近似を加え、所定の時間依存 1 群炉定数を処女状態の 1 群炉定数と組成比との関連性で表示することを試む。

各領域の中性子スペクトル  $\phi_i^p(t)$  ( $p=1, \dots, P$ ;  $i=1, \dots, n$ ) はその領域の組成と処女状態のバックリングで決定されると仮定すると、

$$\phi_i^p(t) \equiv \phi_i^p(N_1^1(t), \dots, N_p^M(t); B_{1,p}^2, \dots, B_{n,p}^2) \quad (33)$$

とかくことができる。 $\phi_i^p(t)$  は時間に関して、したがって  $N_p^m$  ( $m=1, \dots, M$ ) の変化に対してゆるやかに変化すると仮定すると、1 群炉定数  $\langle\sigma_x^m\rangle^p(t)$  は (11) あるいは (22) ~ (24) 式のように  $\phi_i^p$  の関数であり、したがって  $N_p^m$  ( $m=1, \dots, M$ ) の関数である。

また、前章の議論より、1 群炉定数の時間依存性は非常に大きくはないという事実より、 $\langle\sigma_x^m\rangle^p(t)$  を

$$\langle\sigma_x^m\rangle^p(t) \cong \langle\sigma_x^m\rangle_c^p + \sum_{m'=1}^M \left[ \frac{\partial \langle\sigma_x^m\rangle^p}{\partial N_p^{m'}} \right]_{t=0} \cdot \delta N_p^{m'}$$

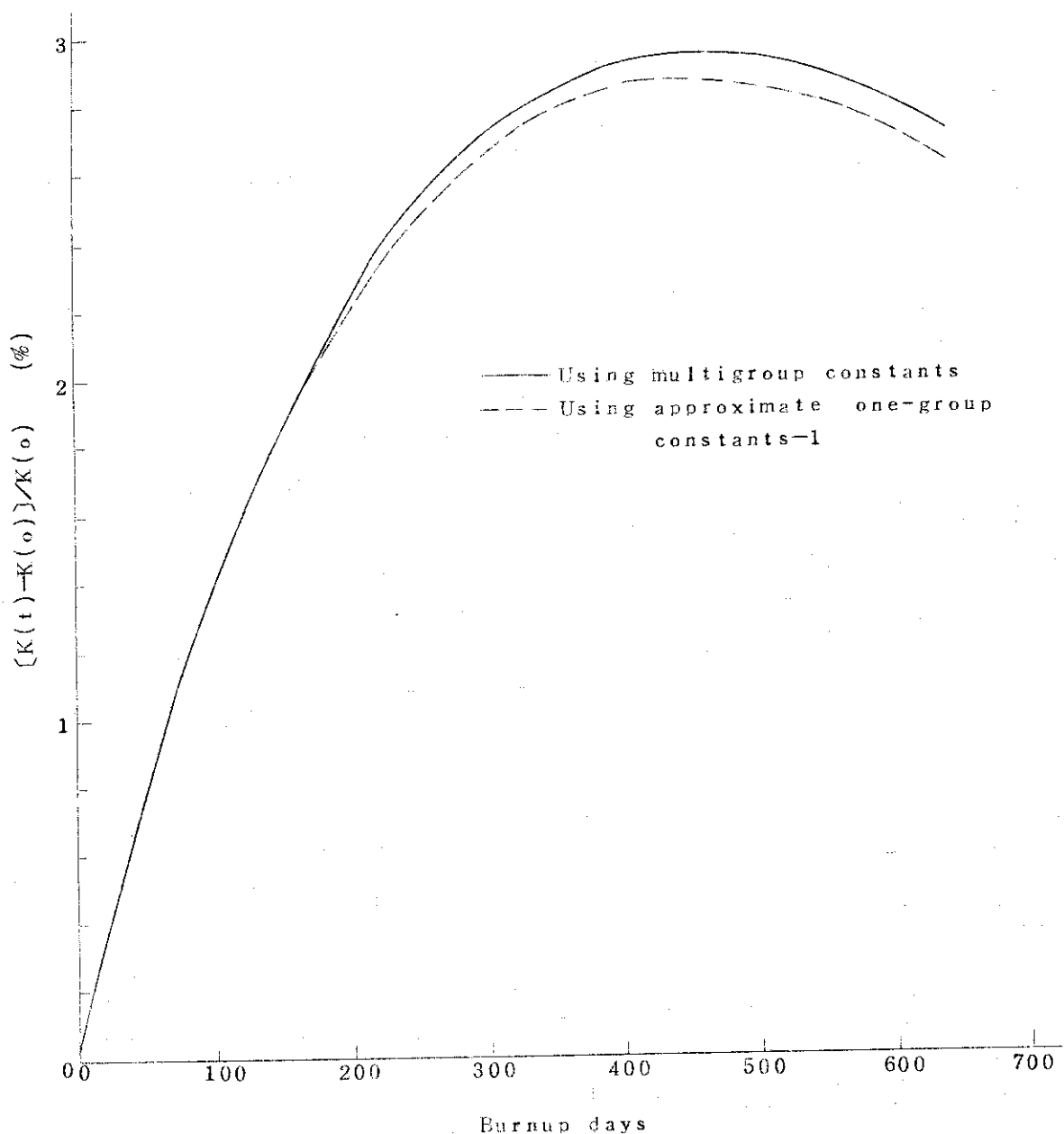


Fig.10 Comparison of reactivity changes with burnup  
by exact and approximate method

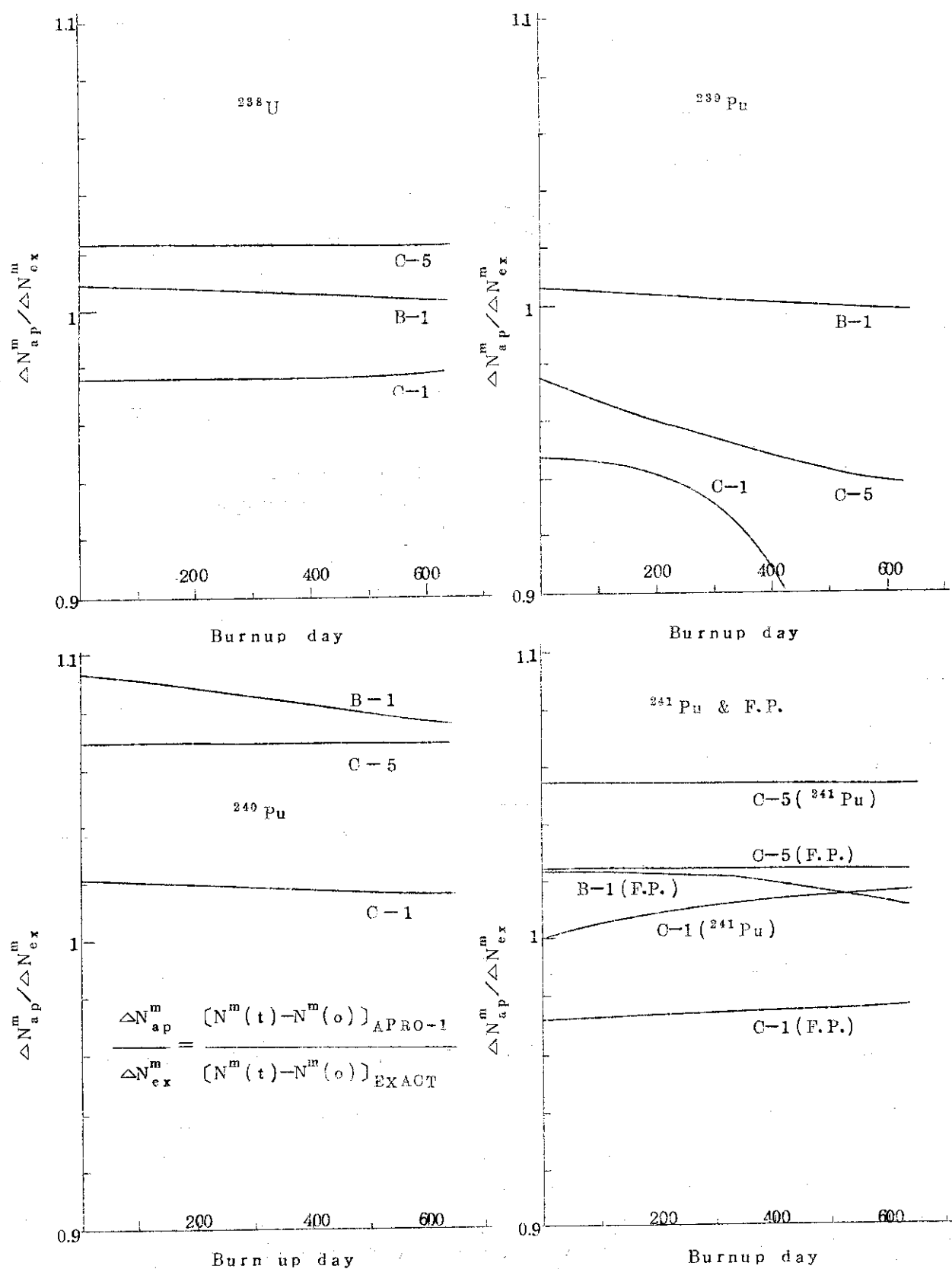


Fig.11 Comparison of number density change obtained by approximate method with that by exact method

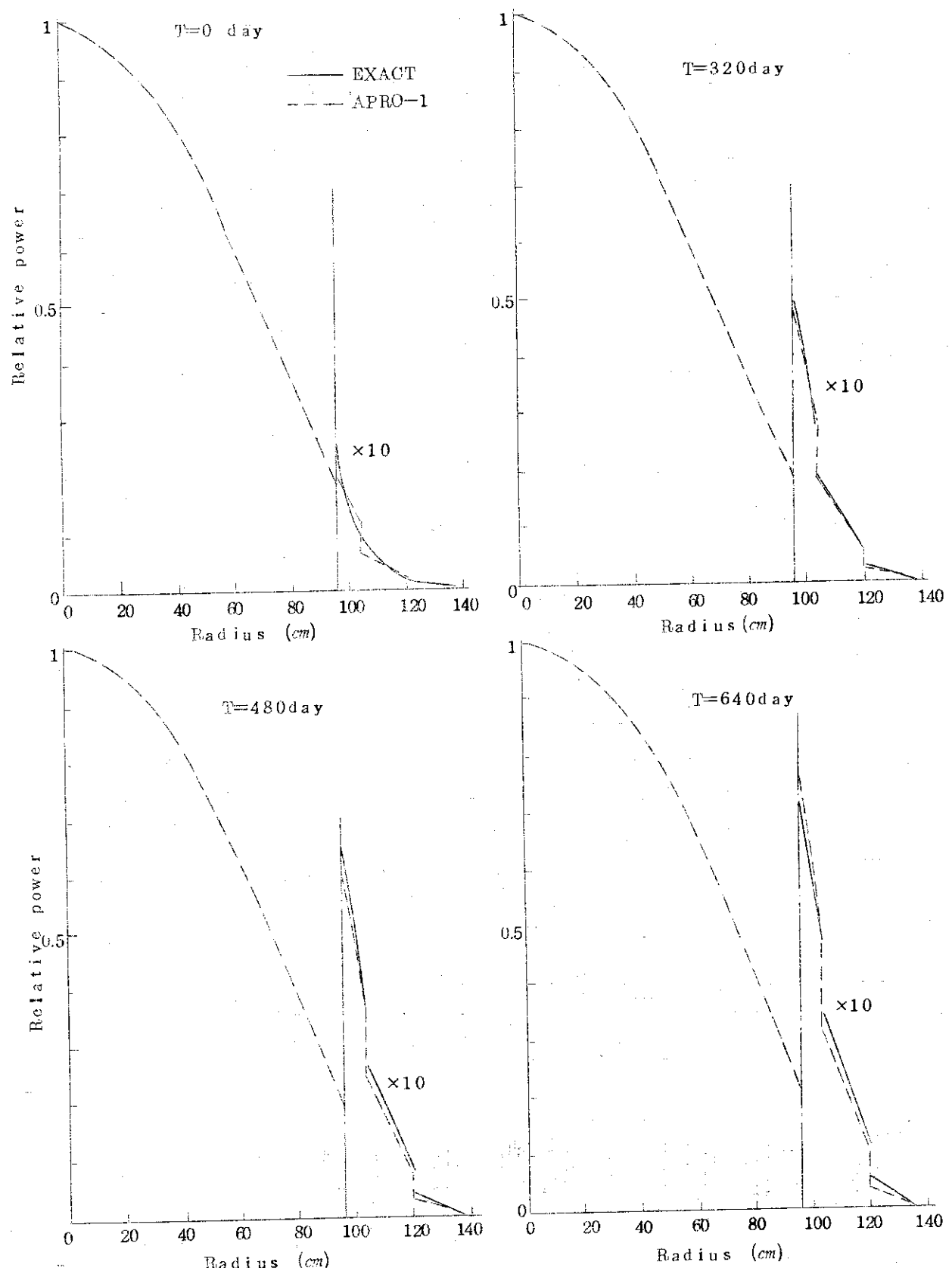


Fig.12 Comparison of relative power distributions  
by exact and approximate method

$$= \langle \sigma_x^m \rangle_o^p + \sum_{i=1}^n \sum_{m'=1}^M \left[ \frac{\partial \langle \sigma_x^m \rangle^p}{\partial \phi_i^p} \right]_{t=0} \cdot \left[ \frac{\partial \phi_i^p}{\partial N_p^{m'}} \right]_{t=0} \cdot \delta N_p^{m'} \quad (34)$$

の形で近似する。

ここで、

$$\left[ \frac{\partial \langle \sigma_x^m \rangle^p}{\partial \phi_i^p} \right]_{t=0} = \frac{1}{\sum_{i=1}^n \phi_i^p(o)} (\sigma_{x,i}^{m,p} - \langle \sigma_x^m \rangle_o^p) \quad (35)$$

であり、 $\left[ \partial \phi / \partial N^m \right]_{t=0}$  は、1群炉定数が重み関数の規格化に無関係であることから (32) 式を微分することで

$$\begin{aligned} \left[ \frac{\partial \phi_i^p}{\partial N_p^m} \right]_{t=0} &= \frac{(3 [D_i^p(o)]^2 \cdot B_{i,p}^2 \sigma_{tr,i}^{m,p} - \sigma_{t,i}^{m,p} - \sigma_{t,i}^{m,p}) \phi_i^p(o) + \sum_{j=1}^{i-1} \sigma_{j>i}^{m,p} \phi_j^p(o)}{D_i^p(o) B_{i,p}^2 + \Sigma_i^p(o)} \\ &+ \frac{\sum_{j=1}^{i-1} \Sigma_{j>i}^p(o) \left[ \frac{\partial \phi_j^p}{\partial N_p^m} \right]_{t=0}}{D_i^p(o) B_{i,p}^2 + \Sigma_i^p(o)} \end{aligned} \quad (36)$$

を解くことによって得られる。この式は  $m, p$  に関して  $i = 1$  から漸化的に解くことができる。(35), (36) を (34) に代入することによって

$$\langle \sigma_x^m \rangle^p(t) = \langle \sigma_x^m \rangle_o^p + \frac{1}{\sum_{i=1}^n \phi_i^p(o)} \cdot \sum_{m'=1}^M \delta N_p^{m'}(t) \cdot \sum_{i=1}^n \left[ \frac{\partial \phi_i^p}{\partial N_p^{m'}} \right]_{t=0} (\sigma_{x,i}^{m,p} - \langle \sigma_x^m \rangle_o^p) \quad (37)$$

とかける。この式で  $\left[ \frac{\partial \phi}{\partial N_p^{m'}} \right]_{t=0}$ ,  $\sigma_{x,i}^{m,p}$ ,  $\langle \sigma_x^m \rangle_o^p$  は共に処女状態で求められるので、

$$F_m^{x,m,p} = \left[ \sum_{i=1}^n \phi_i^p(o) \right]^{-1} \cdot \sum_{i=1}^n \left[ \frac{\partial \phi_i^p}{\partial N_p^{m'}} \right]_{t=0} (\sigma_{x,i}^{m,p} - \langle \sigma_x^m \rangle_o^p) \quad (38)$$

とおくと

$$\langle \sigma_x^m \rangle^p(t) = \langle \sigma_x^m \rangle_o^p + \sum_{m'=1}^M F_m^{x,m,p} \cdot (N_p^{m'}(t) - N_p^{m'}(o)) \quad (39)$$

となる。 $x$  として transport をとる場合 (23) 式の場合は  $\langle \sigma_{tr}^m \rangle^{-1}$  とし、 $\sigma_{x,i}^{m,p}$  を  $(\sigma_{x,i}^{m,p})^{-1}$  とおくことで計算し、(24) 式の場合には  $\Sigma_{t,i}^p$  は燃焼期間中一定であるとして取扱うことができる。

1群炉定数の変化を簡単な2群計算によってチェックする。2群炉定数を Table 18, 体系の原子数密度を Table 19 に示した。系の1群炉定数を Table 20 に示した。

Table 18 2-group constants

group	Nuclide	$\sigma_e$	$\sigma_f$	$\nu\sigma_f$	$\sigma_{tr}$	$\sigma_{i \rightarrow j}$
$\chi_1 = 1$	$^{239}\text{Pu}$	0.144	1.725	5.131	7.544	0.091
	$^{238}\text{U}$	0.147	0.411	1.265	7.415	0.116
	Na	0	0	0	3.325	0.122
	Fe	0.005	0	0	2.674	0.048
$\chi_2 = 0$	$^{239}\text{Pu}$	1.065	2.554	7.337	14.24	0
	$^{238}\text{U}$	0.560	0	0	12.97	0
	Na	0.003	0	0	5.843	0
	Fe	0.010	0	0	5.133	0

Table 19 Number densities

Nuclide	Unperturbed	Perturbed
$^{239}\text{Pu}$	0.00182	0.00237
$^{238}\text{U}$	0.01640	0.01585
Na	0.00943	0.00943
Fe	0.01691	0.01691
Buckling	0.00991	0.00991
K <sub>eff</sub>	1.000	1.058

Table 20 One group constants with direct and approximate calculations

Reaction	Method	$^{239}\text{Pu}$	$^{238}\text{U}$	Na	Fe
$\langle\sigma_e\rangle$	Unperturbed	0.273	0.205	0.000422	0.00570
	A	0.266	0.202	0.000398	0.00566
	B	0.266	0.202	0.000398	0.00566
$\langle\sigma_f\rangle$	Unperturbed	1.842	0.353	0	0
	A	1.835	0.357	0	0
	B	1.835	0.356	0	0
$\langle\nu\sigma_f\rangle$	Unperturbed	5.441	1.087	0	0
	A	5.423	1.097	0	0
	B	5.423	1.097	0	0
$\langle\sigma_{tr}\rangle$	Unperturbed	8.485	8.196	3.679	3.020
	A	8.431	8.151	3.659	3.000
	B	8.430	8.151	3.658	3.000

A : direct calculation for perturbed system

B : Using Eq. (39) for perturbed system

この結果、2群程度では(39)式の近似は非常によい結果を与えることがわかつた。この方法が実際の燃焼解析の1群炉定数を作成するために利用できるかどうかはこれから検討する必要がある。

## 7. 結論

この論文は高速炉の燃焼解析を1群拡散理論を用いて行なう可能性を検討することを目的とした。まず、多群拡散理論に基く燃焼解析から、1群炉定数の変化の傾向を調べ、次に処女状態の1群炉定数を固定して1群拡散理論を用いた燃焼解析を行ない1群炉定数の時間依存性がどの程度高速炉の燃焼特性に影響を及ぼすかを調べた。この結果、処女状態で適當な1群輸送炉定数 $\langle\sigma_{tr}\rangle$ を定義することによって原子数密度、増殖利益、燃焼度および出力分布の燃焼に伴なう変化は、処女状態で固定した1群炉定数を用いることで充分な精度で推定できることがわかった。しかし、系の実効増倍率の変化はこの方法では無理であり、処女状態で定義する各核種の物質反応度値を摂動論的1群炉定数として用いることで実効増倍率の変化( $\delta k/k$ )を0.3%程度の精度で推定することが可能である。

次に、処女状態に於ける情報と原子数密度の変化にもとづいて1群炉定数の時間依存性を近似する方法を試み、各領域のエネルギー依存バックリンクの時間依存性が1群炉定数の時間依存性に与える効果が小さく、処女状態で求められた $B_{i,p}^2$ を用いた各領域裸化による1群炉定数の推定法が有効であることがわかった。

本論文の主眼点は、中性子の振舞いを1群拡散理論で取扱う燃焼解析法の検討であるため、1群炉定数の時間的変動が問題となる。しかもこの1群炉定数の変化がかなり大きくその近似法にかなりの無理がでてくる。しかし、その変化が燃焼特性に与える効果はあまり大きくない。したがって、燃焼特性解析における中性子の振舞いの取扱い方法をもっと簡単化することが可能であるように考えられる。

## 参考文献

1. 鈴木友雄; 高速炉用一次元多群燃焼コードTORCH JAERI-memo 2312  
June 1966
2. I.I.Bondarenko et al.; Group constants for nuclear reactor calculations, Constants Bureau, New York, 1964

## 7. 結論

この論文は高速炉の燃焼解析を1群拡散理論を用いて行なう可能性を検討することを目的とした。まず、多群拡散理論に基く燃焼解析から、1群炉定数の変化の傾向を調べ、次に処女状態の1群炉定数を固定して1群拡散理論を用いた燃焼解析を行ない1群炉定数の時間依存性がどの程度高速炉の燃焼特性に影響を及ぼすかを調べた。この結果、処女状態で適當な1群輸送炉定数 $\langle\sigma_{tr}\rangle$ を定義することによって原子数密度、増殖利益、燃焼度および出力分布の燃焼に伴なう変化は、処女状態で固定した1群炉定数を用いることで充分な精度で推定できることがわかった。しかし、系の実効増倍率の変化はこの方法では無理であり、処女状態で定義する各核種の物質反応度値を摂動論的1群炉定数として用いることで実効増倍率の変化( $\delta k/k$ )を0.3%程度の精度で推定することが可能である。

次に、処女状態に於ける情報と原子数密度の変化にもとづいて1群炉定数の時間依存性を近似する方法を試み、各領域のエネルギー依存バックリンクの時間依存性が1群炉定数の時間依存性に与える効果が小さく、処女状態で求められた $B_{i,p}^2$ を用いた各領域裸化による1群炉定数の推定法が有効であることがわかった。

本論文の主眼点は、中性子の振舞いを1群拡散理論で取扱う燃焼解析法の検討であるため、1群炉定数の時間的変動が問題となる。しかもこの1群炉定数の変化がかなり大きくその近似法にかなりの無理がでてくる。しかし、その変化が燃焼特性に与える効果はあまり大きくない。したがって、燃焼特性解析における中性子の振舞いの取扱い方法をもっと簡単化することが可能であるように考えられる。

## 参考文献

1. 鈴木友雄; 高速炉用一次元多群燃焼コードTORCH JAERI-memo 2312  
June 1966
2. I.I.Bondarenko et al.; Group constants for nuclear reactor calculations, Constants Bureau, New York, 1964